

COMMITTENTE:



PROGETTAZIONE:



DIRETTRICE FERROVIARIA MESSINA - CATANIA - PALERMO

NUOVO COLLEGAMENTO PALERMO - CATANIA

U.O. OPERE CIVILI E GESTIONE DELLE VARIANTI

PROGETTO DEFINITIVO

TRATTA LERCARA DIR. - CALTANISSETTA XIRBI (LOTTO 3)

VIADOTTI IN INTERFERENZA

IV01 - CAVALCAFERROVIA SU NV07

Relazione di calcolo dell'impalcato c.a.p.

SCALA:

-

COMMESSA LOTTO FASE ENTE TIPO DOC. OPERA/DISCIPLINA Progr. REV.

RS3T 30 D 09 CL IV0100 002 B

Rev.	Descrizione	Redatto	Data	Verificato	Data	Approvato	Data	Autorizzato Data
A	Emissione Esecutiva	ATI Sintagma Rocksoil - Edin	Gen-2020	A.Ferr 	Gen-2020	A.Barreca 	Gen-2020	ITALFERR S.p.A. U.O. Opere Civili e Gestione delle varianti Dott. Ing. Paolo Vittozzi Ordine degli Ingegneri della Provincia di Roma N° A 20783
B	Emissione Esecutiva	ATI Sintagma Rocksoil - Edin	Mag-2020	A.Ferr 	Mag-2020	A.Barreca 	Mag-2020	

File: RS3T.3.0.D.09.CL.IV.01.0.0.002.B

n. Elab.: 09_586

INDICE

1	PREMESSA	8
2	NORMATIVA DI RIFERIMENTO.....	9
3	MATERIALI.....	10
3.1	CALCESTRUZZO SOLETTA.....	10
3.2	CALCESTRUZZO PER TRAVI E TRASVERSI PREFABBRICATI – TEMPO T_{∞} (FASE FINALE IN ESERCIZIO).....	10
3.3	ACCIAIO PER C.A. (ARMATURA ORDINARIA).....	11
3.4	ACCIAIO PER ARMATURE DI PRECOMPRESSIONE.....	11
4	CARATTERIZZAZIONE SISMICA DEL SITO	13
4.1	VITA NOMINALE E CLASSE D’USO.....	13
4.2	PARAMETRI DI PERICOLOSITÀ SISMICA.....	13
5	DESCRIZIONE DELL’OPERA	16
5.1	ESECUZIONE DEL MANUFATTO	17
6	ANALISI DEI CARICHI.....	18
6.1	PESO PROPRIO (G1).....	18
6.2	PERMANENTI PORTATI (G2).....	18
6.2.1	<i>Pavimentazione – G2,1</i>	18
6.2.2	<i>Parapetto e barriere di sicurezza – G2,2</i>	19
6.2.3	<i>Veletta in c.a. – G2,3</i>	19
6.2.4	<i>Impianti – G2,4</i>	19
6.2.5	<i>Marciapiedi gettati in seconda fase – G2,5</i>	19
6.3	PRESOLLECITAZIONI DI PROGETTO (P).....	20
6.4	RITIRO (E1).....	20
6.4.1	<i>Viscosità (ϵ_4)</i>	22
6.5	AZIONI VARIABILI (Q)	23
6.5.1	<i>Carico mobile stradale (Q1,1 – Q1,2)</i>	23

6.5.2	Entità dei carichi mobili – Schema di carico 1	23
6.5.3	Disposizione trasversale dei carichi mobili	24
6.5.4	Disposizione longitudinale dei carichi mobili.....	25
6.5.5	Carichi sui marciapiedi (Q1)	25
6.5.6	Forza centrifuga (Q3)	25
6.5.7	Frenatura (Q4).....	25
6.5.8	Urto del veicolo in svio sulla barriera sicurvia (Q6).....	26
6.5.9	Azioni parassite dei vincoli (Q7).....	26
6.6	AZIONI CLIMATICHE	26
6.6.1	Variazione termica uniforme (ϵ_3)	26
6.6.2	Variazione termica differenziale (ϵ_3).....	26
6.6.3	Vento (Q5).....	26
7	VERIFICA DEL TRAVERSO DI CAMPATA	27
8	VERIFICA DEL TRAVERSO DI TESTATA	32
9	SOLETTA	36
9.1	CAMPO INTERMEDIO.....	36
9.2	SBALZO	39
10	GIUNTO DI DILATAZIONE.....	44
11	CALCOLO DELLE SOLLECITAZIONI	46
11.1	UNITA' DI MISURA E CONVENZIONI DI SEGNO	46
11.2	METODO ED IPOTESI DI CALCOLO	46
12	DATI IMPALCATO	47
12.1	DATI GEOMETRICI	47
12.2	TRAVERSI IN CAMPATA.....	48
12.3	TRAVERSI IN TESTATA	48
12.4	TRAVE PREFABBRICATA H140 - L200	48

12.4.1	Sezione in campata.....	48
12.4.2	Sezione in testata.....	49
12.5	GEOMETRIA GETTO IN OPERA	49
12.5.1	Sezione in campata.....	50
12.5.2	Sezione in testata.....	50
12.6	PARAMETRI DEI MATERIALI.....	50
13	RIPARTIZIONE TRASVERSALE DEI CARICHI.....	51
13.1	PARAMETRI DI MASSONNET	51
13.2	COEFFICIENTI.....	51
14	ANALISI DEI CARICHI.....	52
14.1	VALORI CARATTERISTICI DELLE AZIONI PERMANENTI.....	52
14.1.1	Fase 1.....	52
14.1.2	Fase 2.....	52
14.1.2.1	Pavimentazione.....	52
14.1.2.2	Peso dei cordoli.....	52
14.1.2.3	Carichi lineari di 2a fase sull'impalcato (extra2).....	52
14.2	VALORI CARATTERISTICI DELLE AZIONI VARIABILI	52
15	COEFFICIENTI DI COMBINAZIONE	54
15.1	STATI LIMITE ULTIMI.....	54
15.2	STATI LIMITE DI ESERCIZIO.....	54
16	APPLICAZIONE DEL METODO DI MASSONNET	55
16.1	PESO CORDOLI	55
16.2	LINEARI PER TRAVE.....	55
16.3	CARICHI MOBILI PER MASSIMO EFFETTO SULLA TRAVE 1.....	55
16.4	CARICHI MOBILI PER CALCOLO M MAX SU TRAVERSO.....	56
16.5	CARICHI MOBILI PER CALCOLO M MIN SU TRAVERSO	57
17	SOLLECITAZIONI SULLA TRAVE 1	58
17.1	VALORI CARATTERISTICI SOLLECITAZIONI	58

17.1.1	Al taglio trefoli ed in opera	58
17.1.2	Seconda fase - carichi permanenti	59
17.1.3	Seconda fase - carichi da traffico.....	61
17.1.4	In fase di sollevamento	65
17.2	VALORI DI COMBINAZIONE	65
17.2.1	Combinazioni SLU	65
17.2.1.1	Al taglio dei trefoli.....	65
17.2.1.2	In fase di sollevamento	66
17.2.1.3	Al getto soletta	66
17.2.1.4	Seconda fase P/T.....	67
17.2.2	Combinazioni SLE.....	68
17.2.2.1	Al taglio dei trefoli.....	68
17.2.2.2	In fase di sollevamento	69
17.2.2.3	Al getto soletta	69
17.2.2.4	Seconda fase - S.L.E. Rara 2 ^a fase	71
17.2.2.5	Seconda fase - S.L.E. Frequente 2 ^a fase	72
17.2.2.6	Seconda fase - S.L.E. Quasi permanente 2 ^a fase	73
18	SOLLECITAZIONI SUL TRAVERSO IN CAMPATA	74
18.1	VALORI CARATTERISTICI M.....	74
18.1.1	Carichi permanenti	74
18.1.2	Carichi da traffico.....	74
18.2	COMBINAZIONI SLU.....	75
18.2.1	Persistenti/Transitorie.....	75
18.3	COMBINAZIONI SLE	75
18.3.1	Combinazioni Rare.....	75
18.3.2	Combinazioni Frequenti.....	76
18.3.3	Combinazioni Quasi Permanenti	76
19	SOLLECITAZIONI SULLA SOLETTA	76
19.1	VALORI CARATTERISTICI.....	76
19.2	COMBINAZIONI SLU.....	77
19.2.1	Persistenti/Transitorie.....	77
19.3	COMBINAZIONI SLE.....	77

19.3.1	Combinazioni Rare.....	77
19.3.2	Combinazioni Frequenti.....	78
19.3.3	Combinazioni Quasi Permanenti	78
20	REAZIONI MASSIME AGLI APPOGGI	79
20.1	FORZE ORIZZONTALI	79
20.2	VALORI CARATTERISTICI REAZIONI VERTICALI.....	79
20.2.1	Carichi di 1a fase	79
20.2.2	Carichi permanenti di 2a fase	79
20.2.3	Carichi da traffico.....	79
20.3	COMBINAZIONI.....	79
20.3.1	Combinazioni SLU P/T.....	79
20.3.2	SLE Rare	80
20.3.3	SLE Frequenti	80
20.3.4	SLE Quasi permanenti.....	80
20.3.4.1	Carichi da traffico (disposizione per N max su sottostrutture).....	81
20.4	COMBINAZIONI.....	81
20.4.1	Combinazioni SLU P/T.....	81
20.4.2	SLE Rare	81
20.4.3	SLE Frequenti	82
20.4.4	SLE Quasi permanenti.....	82
21	VERIFICA TRAVE IN C.A.P.	83
21.1.1	Modello di calcolo.....	83
21.1.2	Codice di calcolo.....	83
21.2	DATI DI CALCOLO	83
21.2.1	Dati geometrici.....	83
21.2.1.1	Schemi statici	83
21.2.2	Armature trave prefabbricata	84
21.2.2.1	Armature di precompressione pretesate	84

21.2.3	Armatura lenta	85
21.3	DATI DEI MATERIALI.....	85
21.3.1	Calcestruzzo travi prefabbricate	85
21.3.2	Calcestruzzo getto in opera.....	85
21.3.3	Acciaio per armatura lenta	85
21.3.4	Acciaio per armatura da precompressione	86
21.4	SOLLECITAZIONI ESTERNE.....	86
21.4.1	Combinazioni di 2a fase.....	86
22	RISULTATI DELLE VERIFICHE.....	86
22.1	VERIFICHE IN FASE TRANSITORIA	86
22.1.1	Verifica in fase di sollevamento	86
22.1.1.1	Verifiche a rottura per flessione.....	86
22.2	DEFORMAZIONI DELL'IMPALCATO	86
22.2.1	Prima fase	86
22.2.2	Seconda fase.....	86
22.3	VERIFICA SEZIONE X=0.00 - SEZIONE ALL'APPOGGIO.....	87
22.3.1	Prima fase: sola trave	87
22.3.1.1	Verifica tensionale	88
22.3.1.2	Verifica a rottura per flessione	88
22.3.1.3	Verifica a rottura per taglio.....	88
22.3.2	Seconda fase: trave + getto in opera	88
22.3.2.1	Verifiche in esercizio	88
22.4	VERIFICA SEZIONE X=1140.00 - SEZIONE DI MEZZERIA	91
22.4.1	Prima fase: sola trave	91
22.4.1.1	Verifica tensionale	92
22.4.1.2	Verifica a rottura per flessione	93
22.4.1.3	Verifica a rottura per taglio.....	93
22.4.2	Seconda fase: trave + getto in opera	93
22.4.2.1	Verifiche in esercizio	93
22.4.3	Diagrammi	96
22.4.3.1	SLU.....	96
22.4.3.2	SLE.....	98

	DIRETTRICE FERROVIARIA MESSINA – CATANIA – PALERMO NUOVO COLLEGAMENTO PALERMO – CATANIA TRATTA LERCARA DIRAMAZIONE – CALTANISSETTA (LOTTO 3A) Viadotto IV01					
	RELAZIONE DI CALCOLO IMPALCATO CAP	COMMESSA RS3T	LOTTO 30	CODIFICA D09CL	DOCUMENTO IV0100002	REV. B

1 PREMESSA

Il presente documento si inserisce nell'ambito della redazione degli elaborati tecnici di progetto definitivo del corpo stradale ferroviario, delle opere d'arte e delle opere interferite relative al progetto definitivo della direttrice ferroviaria Messina-Catania-Palermo nell'ambito del nuovo collegamento Palermo - Catania

In particolare ha per oggetto le verifiche secondo il metodo semiprobabilistico agli Stati Limite (S.L.) delle sovrastrutture dell'impalcato da ponte di prima categoria denominato **IV01** sulla viabilità **NV07**.

Le analisi strutturali e le verifiche di sicurezza sono state effettuate in accordo con le disposizioni vigenti in Italia e con riferimento alla nuova classificazione sismica del territorio nazionale, secondo il DM 2018.


L'opera in oggetto è progettata per una vita nominale VN pari a 75 anni. Gli si attribuisce inoltre una classe d'uso III ai sensi del D.M.17/01/2018, da cui scaturisce un coefficiente d'uso CU = 1.5.

	DIRETTRICE FERROVIARIA MESSINA – CATANIA – PALERMO NUOVO COLLEGAMENTO PALERMO – CATANIA TRATTA LERCARA DIRAMAZIONE – CALTANISSETTA (LOTTO 3A) Viadotto IV01					
	RELAZIONE DI CALCOLO IMPALCATO CAP	COMMESSA RS3T	LOTTO 30	CODIFICA D09CL	DOCUMENTO IV0100002	REV. B

2 NORMATIVA DI RIFERIMENTO

Le analisi strutturali e le verifiche di sicurezza sono state effettuate in accordo con le prescrizioni contenute nelle seguenti normative ed è conforme alle normative vigenti nonché alle istruzioni dell'Ente FF.SS:

- *Ministero delle Infrastrutture, DM 17 gennaio 2018, Aggiornamento delle «Norme tecniche per le costruzioni».*
- *Ministero delle Infrastrutture, Circolare n°7 21 gennaio 2019, Istruzioni per l'Applicazione delle «Norme tecniche per le costruzioni».*
- *Istruzione RFI DTC SI PS MA IFS 001 A - Manuale di Progettazione delle Opere Civili - Parte II - Sezione 2 - Ponti e Strutture*
- *Istruzione RFI DTC SI CS MA IFS 001 A - Manuale di Progettazione delle Opere Civili - Parte II - Sezione 3 - Corpo Stradale*
- *Regolamento (UE) N.1299/2014 della Commissione del 18 Novembre 2014 relativo alle specifiche tecniche di interoperabilità per il sottosistema “infrastruttura” del sistema ferroviario dell'Unione europea*

	DIRETTRICE FERROVIARIA MESSINA – CATANIA – PALERMO NUOVO COLLEGAMENTO PALERMO – CATANIA TRATTA LERCARA DIRAMAZIONE – CALTANISSETTA (LOTTO 3A) Viadotto IV01					
	RELAZIONE DI CALCOLO IMPALCATO CAP	COMMESSA RS3T	LOTTO 30	CODIFICA D09CL	DOCUMENTO IV0100002	REV. B

3 MATERIALI

Si riportano di seguito i materiali previsti per la realizzazione delle strutture, suddivisi per elemento costruttivo.

3.1 Calcestruzzo soletta

Classe	C32/40		
$R_{ck} =$	40	MPa	resistenza caratteristica cubica
$f_{ck} =$	32	MPa	resistenza caratteristica cilindrica
$f_{cm} =$	40	MPa	valor medio resistenza cilindrica
$\alpha_{cc} =$	0,85		coeff. rid. Per carichi di lunga durata
$\gamma_M =$	1,5	-	coefficiente parziale di sicurezza SLU
$f_{cd} =$	18,13	MPa	resistenza di progetto
$f_{ctm} =$	3,02	MPa	resistenza media a trazione semplice
$f_{ctm} =$	3,63	MPa	resistenza media a trazione per flessione
$f_{ctk} =$	2,12	MPa	valore caratteristico resistenza a trazione
$E_{cm} =$	33346	MPa	Modulo elastico di progetto
$\nu =$	0,2		Coefficiente di Poisson
$G_c =$	13894	MPa	Modulo elastico Tangenziale di progetto
$c =$	40	mm	Copriferro minimo
XC4- XS1			Classe di esposizione

3.2 Calcestruzzo per travi e trasversi prefabbricati – tempo t_{∞} (fase finale in esercizio)

Classe	C45/55		
$R_{ck} =$	55	MPa	resistenza caratteristica cubica
$f_{ck} =$	45	MPa	resistenza caratteristica cilindrica
$f_{cm} =$	53	MPa	valor medio resistenza cilindrica
$\alpha_{cc} =$	0,85		coeff. rid. per carichi di lunga durata
$\gamma_M =$	1,5	-	coefficiente parziale di sicurezza SLU
$f_{cd} =$	25,50	MPa	resistenza di progetto
$f_{ctm} =$	3,79	MPa	resistenza media a trazione semplice
$f_{ctm} =$	4,55	MPa	resistenza media a trazione per flessione
$f_{ctk} =$	2,65	MPa	valore caratteristico resistenza a trazione
$E_{cm} =$	36283	MPa	Modulo elastico di progetto
$\nu =$	0,2		Coefficiente di Poisson

$G_c =$	15118	MPa	Modulo elastico Tangenziale di progetto
$c =$	35	mm	Copriferro minimo armatura ordinaria
XC3-XS1			Classe di esposizione
$\sigma_c < 0.60 \times f_{ck} =$	27	MPa	Tensione massima di compressione in esercizio per combinazioni RARE
$\sigma_c < 0.45 \times f_{ck} =$	20,25	MPa	Tensione massima di compressione in esercizio per combinazioni QUASI PERMANENTI
$\sigma_t < 0.35 \times f_{ctk} =$	0.9275	MPa	Tensione massima di trazione per combinazioni RARE (RFI DTC SI PS MA IFS 001 A – par. 2.6.2.2.2)
$\sigma_t < 0.045 \times f_{ck} =$	2.025	MPa	Tensione principale di trazione nella fibra baricentrica per combinazioni RARE (RFI DTC SI PS MA IFS 001 A – par. 2.6.2.2.2)


3.3 Acciaio per c.a. (armatura ordinaria)

B450C

$f_{yk} \geq$	450	MPa	tensione caratteristica di snervamento
$f_{tk} \geq$	540	MPa	tensione caratteristica di rottura
$(f_t/f_y)_k \geq$	1,15		
$(f_t/f_y)_k <$	1,35		
$\gamma_s =$	1,15	-	coefficiente parziale di sicurezza SLU
$f_{yd} =$	391,3	MPa	tensione caratteristica di snervamento
$E_s =$	200000	MPa	Modulo elastico di progetto
$\varepsilon_{yd} =$	0,196%		deformazione di progetto a snervamento
$\varepsilon_{uk} = (A_{gt})_k$	7,50%		deformazione caratteristica ultima

3.4 Acciaio per armature di precompressione

$f_{ptk} \geq$	1860	MPa	tensione caratteristica di rottura
$f_{p(1)k} \geq$	1670	MPa	tensione caratteristica allo 1% di deformazione
$\gamma_s =$	1,15	-	coefficiente parziale di sicurezza SLU
$E_s =$	195000	MPa	Modulo elastico di progetto
$\sigma_s < 0.90 \times f_{p(1)k} =$	1503	MPa	Tensione massima trefolo in fase iniziale
$\sigma_s < 0.80 \times f_{ptk} =$	1488	MPa	Tensione massima trefolo in fase iniziale

	DIRETTRICE FERROVIARIA MESSINA – CATANIA – PALERMO NUOVO COLLEGAMENTO PALERMO – CATANIA TRATTA LERCARA DIRAMAZIONE – CALTANISSETTA (LOTTO 3A) Viadotto IV01					
	RELAZIONE DI CALCOLO IMPALCATO CAP	COMMESSA RS3T	LOTTO 30	CODIFICA D09CL	DOCUMENTO IV0100002	REV. B

$\sigma_s < 0.80 \times f_{ptk} =$ 1488 MPa Tensione massima trefolo in fase finale con cadute di tensione

Per il calcestruzzo si adotta il diagramma parabola rettangolo definito da un arco di parabola con la seguente equazione:

$$\sigma_c = f_{cd} \cdot \left[2 \cdot \left(\frac{\varepsilon_c}{\varepsilon_0} \right) - \left(\frac{\varepsilon_c}{\varepsilon_0} \right)^2 \right]; \quad \text{per: } \varepsilon_c \leq \varepsilon_{c2}$$

$$\sigma_c = 0.85 \cdot f_{cd}; \quad \text{per: } \varepsilon_{c2} \leq \varepsilon_c \leq \varepsilon_{cu2}$$

in cui ε_{c2} e ε_{cu2} assumono i seguenti valori:

deformazione in corrispondenza del valore massimo della tensione $\varepsilon_{c2} = 2.0\text{‰}$


deformazione unitaria a rottura $\varepsilon_{cu2} = 3.5\text{‰}$

Per l'acciaio B450C Si adotta il diagramma elastico perfettamente plastico considerando, in favore di sicurezza, un limite della deformazione unitaria ultima " ε_{ud} " pari a: deformazione unitaria ultima $\varepsilon_{ud} = 0.9 \times \varepsilon_{uk} = 6.75\text{‰}$.

Per l'acciaio armonico si adotta il diagramma elasto-plastico incrudente considerando, in favore di sicurezza, un limite della deformazione unitaria ultima " ε_{ud} " pari a:

deformazione unitaria ultima $\varepsilon_{ud} = 1.0\text{‰}$.

La tensione limite del primo tratto è assunta pari a $(0.9 \times f_{ptk}) / \gamma_s = f_{p(1)k} / \gamma_s$ mentre la tensione limite di rottura è assunta pari a f_{ptk} / γ_s .

	DIRETTRICE FERROVIARIA MESSINA – CATANIA – PALERMO NUOVO COLLEGAMENTO PALERMO – CATANIA TRATTA LERCARA DIRAMAZIONE – CALTANISSETTA (LOTTO 3A) Viadotto IV01					
	RELAZIONE DI CALCOLO IMPALCATO CAP	COMMESSA RS3T	LOTTO 30	CODIFICA D09CL	DOCUMENTO IV0100002	REV. B

4 CARATTERIZZAZIONE SISMICA DEL SITO

Nel seguente paragrafo è riportata la valutazione dei parametri di pericolosità sismica utili alla determinazione delle azioni sismiche di progetto dell'opera cui si riferisce il presente documento, in accordo a quanto specificato a riguardo dal D.M. 17 gennaio 2018 e relativa circolare applicativa.

4.1 Vita nominale e classe d'uso

Per la valutazione dei parametri di pericolosità sismica è necessario definire, oltre alla localizzazione geografica del sito, la Vita nominale dell'opera strutturale (VN), intesa come il numero di anni nel quale la struttura, purché soggetta alla manutenzione ordinaria, deve potere essere usata per lo scopo al quale è destinata, e la Classe d'Uso a cui è associato un coefficiente d'uso (CU)

Per l'opera in oggetto si considera una vita nominale: $VN = 75$ anni. Riguardo invece la Classe d'Uso, all'opera in oggetto corrisponde una Classe III a cui è associato un coefficiente d'uso pari a (NTC – Tabella 2.4.II): $C_u = 1.5$.

I parametri di pericolosità sismica vengono quindi valutate in relazione ad un periodo di riferimento V_R che si ricava per ciascun tipo di costruzione, moltiplicando la vita nominale V_n per il coefficiente d'uso C_u , ovvero:

$$V_R = V_N \cdot C_U$$

Pertanto, per l'opera in oggetto, il periodo di riferimento è pari a $V_R = 75 \times 1.5 = 112.5$ anni

4.2 Parametri di pericolosità sismica

La valutazione dei parametri di pericolosità sismica, che ai sensi del D.M. 17-01-2018, costituiscono il dato base per la determinazione delle azioni sismiche di progetto su una costruzione (forme spettrali e/o forze inerziali) dipendono, come già in parte anticipato in precedenza, dalla localizzazione geografica del sito, dalle caratteristiche della costruzione (Periodo di riferimento per valutazione azione sismica / V_R) oltre che dallo Stato Limite di riferimento/Periodo di ritorno dell'azione sismica.

- Categoria sottosuolo **C**

In accordo a quanto riportato in Allegato A delle Norme Tecniche per le costruzioni DM 17.01.18, si ottiene per il sito in esame:

FASE 1. INDIVIDUAZIONE DELLA PERICOLOSITÀ DEL SITO

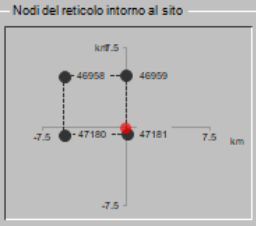
Ricerca per coordinate
 LONGITUDINE: 13.86822 LATITUDINE: 37.69076

Ricerca per comune
 REGIONE: Sicilia PROVINCIA: Catania COMUNE: Ramacca

Elaborazioni grafiche
 Grafici spettri di risposta
 Variabilità dei parametri

Elaborazioni
 Tabella parametri

Nodi del reticolo intorno al sito



Reticolo di riferimento

Controllo sul reticolo:
 Sito esterno al reticolo
 Interpolazione su 3 nodi
 Interpolazione corretta

Interpolazione: media ponderata

La "Ricerca per comune" utilizza le coordinate ISTAT del comune per identificare il sito. Si sottolinea che all'interno del territorio comunale le azioni sismiche possono essere significativamente diverse da quelle così individuate e si consiglia, quindi, la "Ricerca per coordinate".

INTRO **FASE 1** FASE 2 FASE 3

I parametri utilizzati per la definizione dell'azione sismica sono riportati di seguito.

FASE 2. SCELTA DELLA STRATEGIA DI PROGETTAZIONE

Vita nominale della costruzione (in anni) - V_N : 75 Info

Coefficiente d'usura della costruzione - c_u : 1.5 Info

Valori di progetto

Periodo di riferimento per la costruzione (in anni) - V_R : 112.5 Info

Periodi di ritorno per la definizione dell'azione sismica (in anni) - T_R : Info

Stati limite di esercizio - SLE	Valore
SLO - $P_{VR} - 81\%$	6.8
SLD - $P_{VR} - 63\%$	113
Stati limite ultimi - SLU	
SLV - $P_{VR} - 10\%$	1068
SLC - $P_{VR} - 5\%$	2193

Elaborazioni
 Grafici parametri azione
 Grafici spettri di risposta
 Tabella parametri azione

Strategia di progettazione

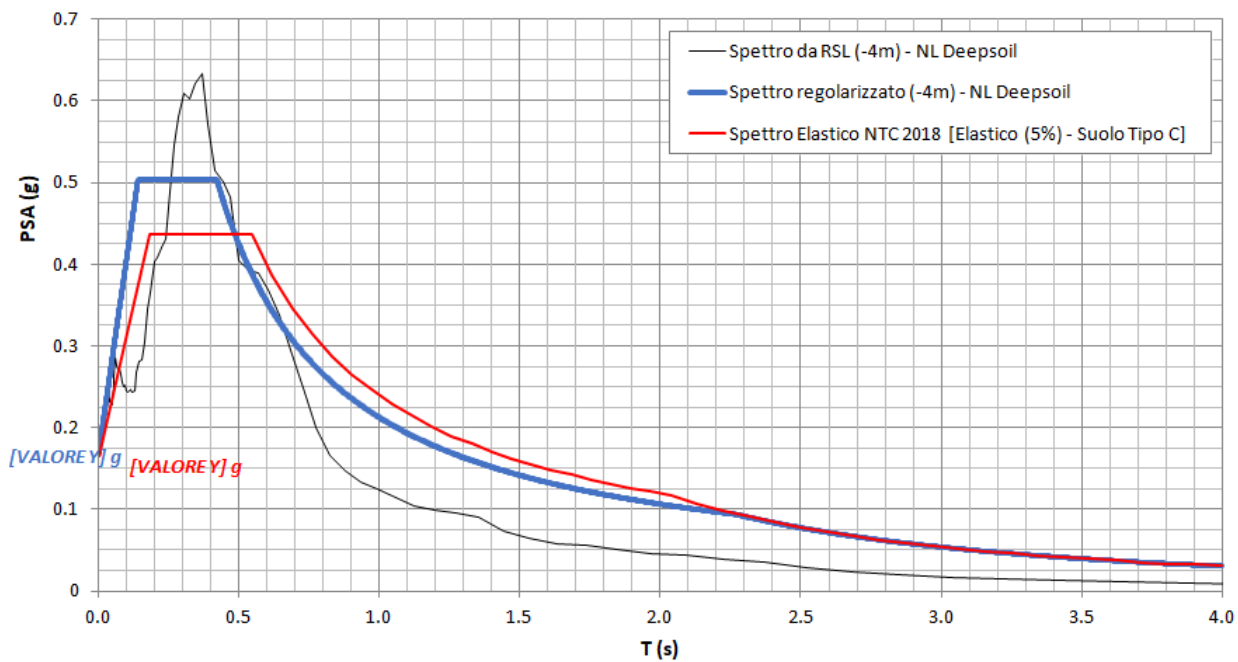


LEGENDA GRAFICO
 ---□--- Strategia per costruzioni ordinarie
 ---●--- Strategia scelta

INTRO FASE 1 **FASE 2** FASE 3

Per il viadotto in esame è stato effettuato uno specifico studio di Risposta Sismica Locale del quale si riportano i risultati:

IV-01 - prova: MASW 3aV09



5 DESCRIZIONE DELL'OPERA

Gli impalcati oggetto della presente relazione, sono realizzati con un sistema di travi prefabbricate in cemento armato precompresso. Lo schema statico è quello di una trave semplicemente appoggiata alle estremità di luce netta pari a circa 22.40 m (da appoggio a appoggio). L'impalcato calcolato è caratterizzato da una larghezza complessiva pari a 12.70 m (di cui 9.00 m relativi alla carreggiata stradale).

La struttura dell'impalcato si compone con cassoncini prefabbricati in c.a.p., aventi un interasse di 2,00 m e lunghezza pari a 23.40 m. Le travi principali sono solidarizzate da 4 traversi (2 sull'asse-appoggi e 2 in campata) prefabbricati insieme alle travi.

Le travi hanno un'altezza costante pari a 1.40 m, una larghezza superiore di 2.00 m ed inferiore di 1.00 m. Lo spessore minimo della parte inferiore della trave è di 0.23 m mentre quello delle anime è di 0.14 m. La soletta di completamento in cemento armato ha uno spessore variabile tra 0.26÷0.38 m.

La precompressione è data da 40 trefoli con sezione da 0,6" (1,39cm²), alcuni opportunamente inguainati, tesati alla tensione iniziale di 1375 MPa.

I trasversi saranno armati in opera con barre tipo Diwidag.

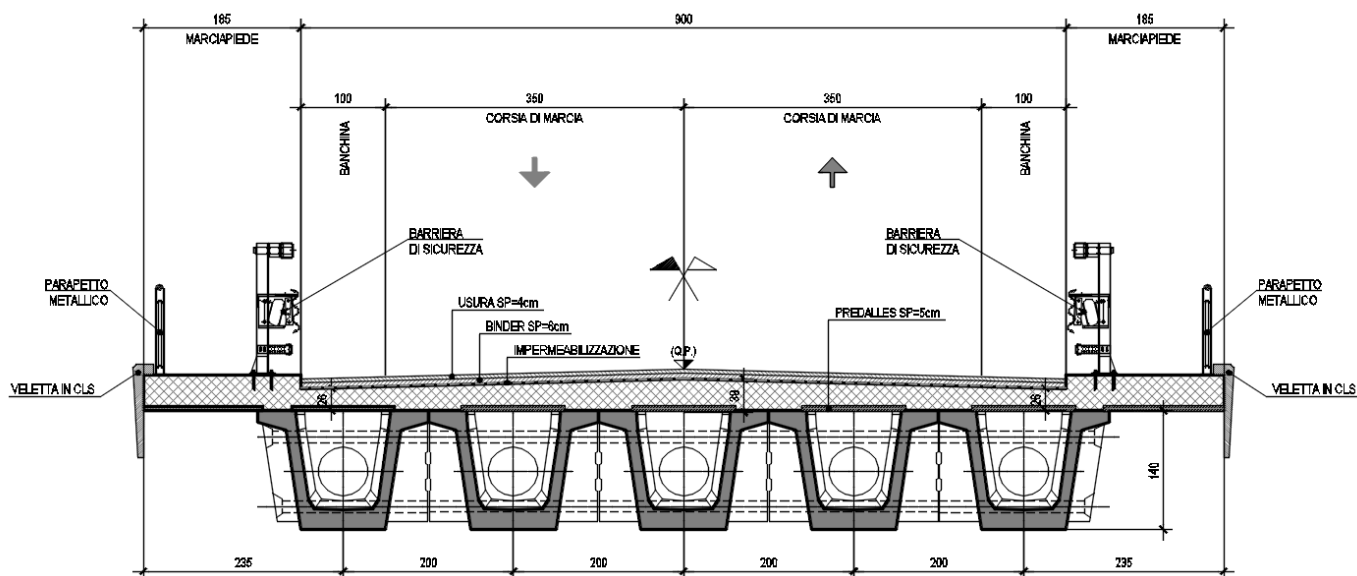


Figura 1 – Sezione tipica trasversale dell'impalcato

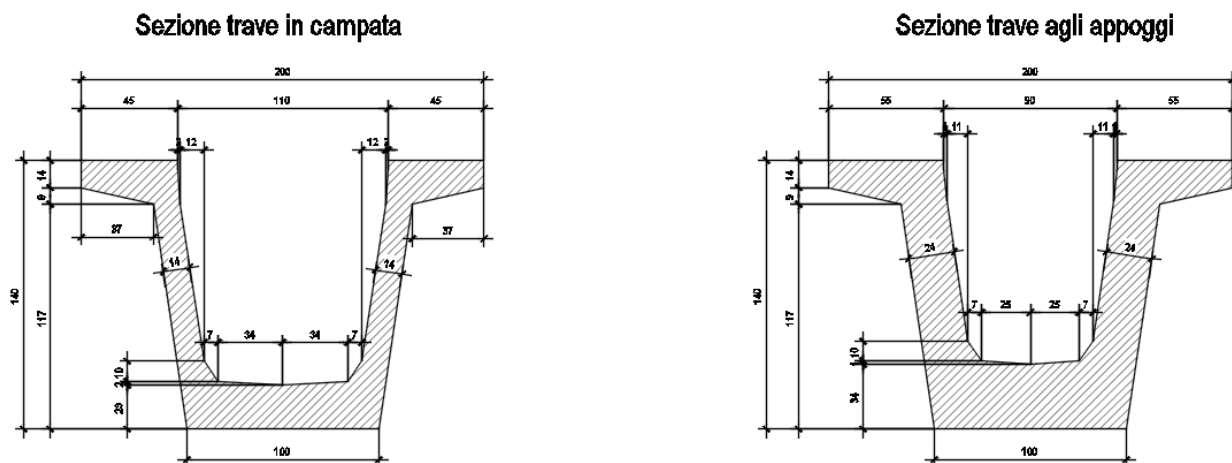


Figura 2 – Sezione della trave in c.a.p.

Lo schema di vincolo dell' impalcato prevede cinque apparecchi di appoggio per ognuna delle estremità, con schema globale di tipo fisso — unidirezionale; lo schema si ripete analogo per ogni campata.

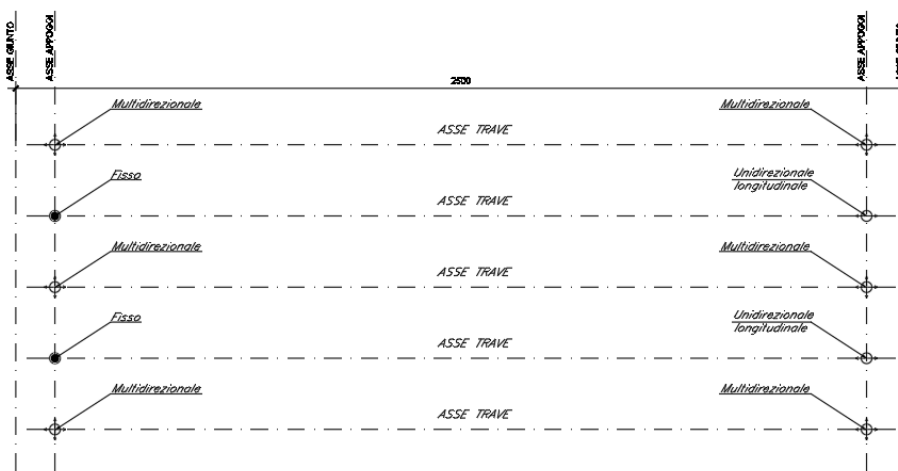


Figura 3 – Schema degli apparecchi di appoggio

5.1 Esecuzione del manufatto

Le travi e i traversi vengono realizzati in stabilimento mediante il getto del calcestruzzo in casseforme metalliche, vibrato ad alta frequenza per la compattazione e trattato con ciclo termico. La precompressione delle travi è realizzata mediante la pretensione di trefoli, a tiro multiplo, sulle piste di confezionamento prevedendo la posa in opera di guaine per la quota parte dei trefoli che verranno in seguito tagliati: si provvederà inoltre a sfilare da apposite cassette i tratti di armatura non aderente, con successiva iniezione dei condotti e sigillatura delle cassette.

I traversi vengono armati in opera con barre tipo diwidag.

La soletta in cemento armato è prevista gettata in opera utilizzando delle predalle in c.a. aventi spessore di 5 cm. Una volta disposte le predalle si provvede alla posa dell'armatura trasversale integrativa e dell'armatura longitudinale di ripartizione e quindi si esegue il getto a spessore definitivo.

6 ANALISI DEI CARICHI

6.1 Peso proprio (G1)

Il carico delle strutture in c.a. e c.a.p. viene valutato considerando un peso di volume pari a 25 kN/mc.

Il peso delle travi, della soletta e dei trasversi è applicato come carico distribuito sugli elementi “beam” del modello agli elementi finiti dell’impalcato.

Peso trave (a metro lineare-sezione corrente) $P_{tra} = 25 \times A_{media-trave} = 25 \times 0.7 = 17.5 \text{ kN/m}$

Peso trave (a metro lineare-sezione testata) $P_{tra} = 25 \times A_{media-trave} = 25 \times 1.0 = 25.0 \text{ kN/m}$

Peso soletta (a metro quadro sp. medio = 0.305m) $P_{sol} = 25 \times S_{soletta} = 25 \times 0.305 = 7.625 \text{ kN/m}^2$

Peso trasversi intermedi (a metro lineare) $P_{tra} = 25 \times A_{trasverso-campata} = 25 \times 1.30 \times 0.40 = 13.0 \text{ kN/m}$

Peso trasversi testata (a metro lineare) $P_{tra} = 25 \times A_{trasverso-testata} = 25 \times 1.30 \times 1.10 = 32.5 \text{ kN/m}$

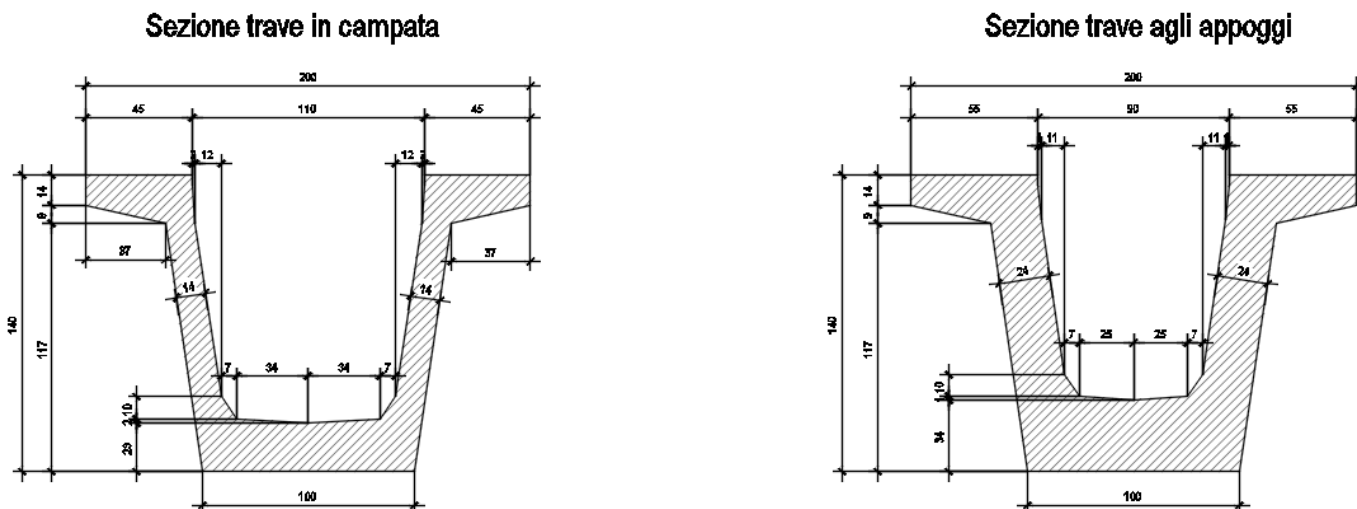


Figura 4 – Sezioni trave in c.a.p.

6.2 Permanenti portati (G2)

Sono stati considerati i seguenti contributi da applicare alle travi di competenza

6.2.1 Pavimentazione – G2,1

Si considera il peso specifico della pavimentazione pari a 20 kN/m³ e uno spessore di 9 cm. Il peso al metro quadrato è pari a 20x0.09 = 1.8 kN/m². Nel modello di calcolo 3.0 kN/m².

6.2.2 Parapetto e barriere di sicurezza – G2,2

Si considera il peso del parapetto pari a 1.0 kN/m.

Si considera il peso della barriera di sicurezza pari a 1.4 kN/m.

6.2.3 Veletta in c.a. – G2,3

Si considera il peso della veletta in c.a pari a $25 \times 0.1894 = 4.74$ kN/m.

6.2.4 Impianti – G2,4

Si considera il carico degli impianti pari a 1.00 kN/m.

6.2.5 Marciapiedi gettati in seconda fase – G2,5

I marciapiedi vengono realizzati con getto di seconda fase sulla soletta. Lo spessore del getto di seconda fase è indicato nella figura seguente.

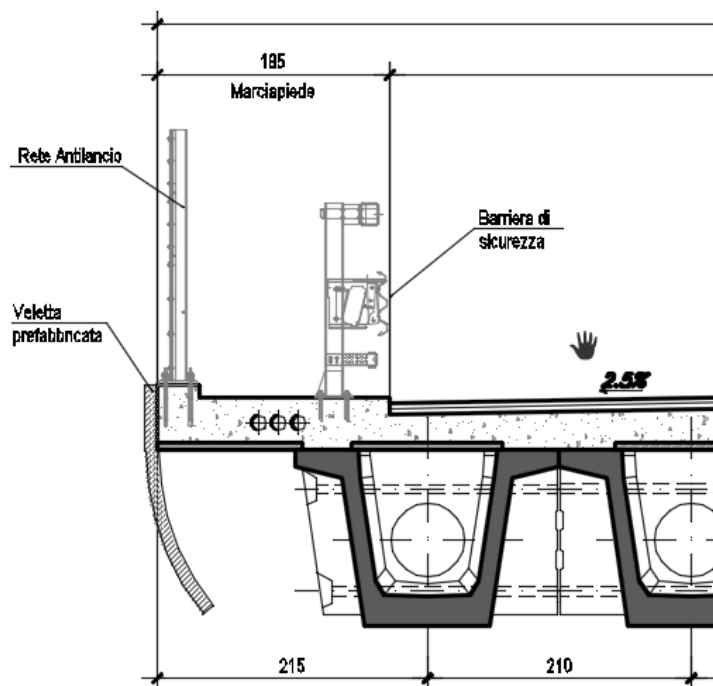



Figura 5 – Marciapiede gettato in seconda fase

Le forze da applicare sono:

$$F_{\text{getto}} = (0.15 \times 1.85 + 0.35 \times 0.1) \times 25 \approx 8.00 \text{ kN/m}$$

	DIRETTRICE FERROVIARIA MESSINA – CATANIA – PALERMO NUOVO COLLEGAMENTO PALERMO – CATANIA TRATTA LERCARA DIRAMAZIONE – CALTANISSETTA (LOTTO 3A) Viadotto IV01					
	RELAZIONE DI CALCOLO IMPALCATO CAP	COMMESSA RS3T	LOTTO 30	CODIFICA D09CL	DOCUMENTO IV0100002	REV. B

6.3 Presollecitazioni di progetto (P)

La precompressione è data da 40 trefoli con sezione da 0,6" (1,39cmq) , alcuni opportunamente inguainati, tesati alla tensione iniziale di 1375 MPa.

trefoli : 6/10" area = 139,000 [mm²]

acciaio : prec.fpk=1860

tensione di tesatura = 137500 [N/cm²]

$A_p = 55,600$ $N_p = 7645000,00$ [N]

6.4 Ritiro (ϵ_1)

Il calcolo delle deformazioni da ritiro nei cassoncini e nella soletta è stato eseguito secondo quanto specificato nel Decreto Ministeriale 17 gennaio 2018.

I valori di seguito calcolati sono assegnati rispettivamente alla trave e alla soletta ai fini del calcolo sia delle perdite legate al ritiro che agli effetti del ritiro differenziale trave-soletta

Cassoncino(sezione corrente)

Ritiro Cassoncino

Cl_s a t=0

$$\begin{aligned}R_{ck} &= 55 \text{ N/mm}^2 \\f_{ck} &= 45.65 \text{ N/mm}^2 \\f_{cm} &= 53.65 \text{ N/mm}^2 \\\alpha &= 1.0E-05 \\E_{cm} &= 36416 \text{ N/mm}^2\end{aligned}$$

Tempo e ambiente

$$\begin{aligned}t_s &= 10 \text{ gg} \\t &= 50000 \text{ gg} \\h_0=2A_c/u &= 325.0839937 \text{ mm} \\A_c &= 717948 \text{ mm}^2 \\u &= 4417 \text{ mm} \\RH &= 65 \text{ \%}\end{aligned}$$

Ritiro da essiccamento

$$\begin{aligned}\varepsilon_{c0} &= -0.000370 \text{ gg} \\K_h &= 0.725000 \text{ gg} \\\varepsilon_{cd_inf} &= -0.000268 \text{ mm} \\B_{ds} &= 0.995332 \text{ mm}^2 \\\varepsilon_{cd} &= -0.00026700 \text{ mm}\end{aligned}$$

Ritiro autogeno

$$\varepsilon_{ca} = -0.00008913 \text{ gg}$$

Ritiro totale

$$\varepsilon_{cd} + \varepsilon_{ca} = -0.000356 \text{ gg}$$

Soletta

Ritiro Soletta

Cl_s a t=0

$$R_{ck} = 40 \text{ N/mm}^2$$

$$f_{ck} = 33.2 \text{ N/mm}^2$$

$$f_{cm} = 41.2 \text{ N/mm}^2$$

$$\alpha = 1.0E-05$$

$$E_{cm} = 33643 \text{ N/mm}^2$$

Tempo e ambiente

$$t_s = 10 \text{ gg}$$

$$t = 50000 \text{ gg}$$

$$h_0 = 2A_c/u = 433.3333333 \text{ mm}$$

$$A_c = 3900000 \text{ mm}^2$$

$$u = 18000 \text{ mm}$$

$$RH = 65 \%$$

Ritiro da essiccamento

$$\varepsilon_{c0} = -0.000340 \text{ gg}$$

$$K_h = 0.780000 \text{ gg}$$

$$\varepsilon_{cd_inf} = -0.000265 \text{ mm}$$

$$B_{ds} = 0.992834 \text{ mm}^2$$

$$\varepsilon_{cd} = -0.00026330 \text{ mm}$$

Ritiro autogeno

$$\varepsilon_{ca} = -0.00005800 \text{ gg}$$

Ritiro totale

$$\varepsilon_{cd} + \varepsilon_{ca} = -0.000321 \text{ gg}$$


6.4.1 Viscosità (ε_4)

Il calcolo del coefficiente di viscosità nei cassoncini e nella soletta è stato eseguito secondo quanto specificato nel Decreto Ministeriale 17 gennaio 2018.

Con riferimento a parametri e valori calcolati nel paragrafo relativo al ritiro si ha:

$$\phi(t_s, t_0) = 2,4 \text{ Cassoncino}$$

$$\phi(t_s, t_0) = 2,6 \text{ Soletta}$$

 ITALFERR GRUPPO FERROVIE DELLO STATO ITALIANE	DIRETTRICE FERROVIARIA MESSINA – CATANIA – PALERMO NUOVO COLLEGAMENTO PALERMO – CATANIA TRATTA LERCARA DIRAMAZIONE – CALTANISSETTA (LOTTO 3A) Viadotto IV01					
	RELAZIONE DI CALCOLO IMPALCATO CAP	COMMESSA RS3T	LOTTO 30	CODIFICA D09CL	DOCUMENTO IV0100002	REV. B

6.5 Azioni variabili (Q)

6.5.1 Carico mobile stradale (Q1,1 – Q1,2)

In accordo con la normativa vigente le azioni variabili da traffico, comprensive degli effetti dinamici, sono definite dallo schema di carico 1 ovvero lo schema costituito da carichi concentrati su due assi in tandem, applicati su impronte di pneumatico di forma quadrata e lato 0.40m, e da carichi uniformemente distribuiti. Si considera un solo carico tandem (non segmentabile) per corsia disposto in asse alla stessa;

6.5.2 Entità dei carichi mobili – Schema di carico 1

In accordo con la normativa vigente i carichi mobili associati allo schema di carico in esame sono:

- **Corsia 1** ⇒ colonna di carico costituita da un carico tandem “ $2 \times Q_{1k}$ ” da **600 kN** totali su due assi aventi le caratteristiche indicate nella figura sottostante e da uno o più tratti di carico superficiale uniformemente distribuito “ $q_{1,k}$ ” da **9.0 kPa** disposti, ai fini del calcolo delle strutture principali, in asse alla corsia nel modo più sfavorevole;
- **Corsia 2** ⇒ colonna di carico costituita da un carico tandem “ $2 \times Q_{2k}$ ” da **400 kN** totali su due assi aventi le caratteristiche indicate nella figura sottostante e da uno o più tratti di carico superficiale uniformemente distribuito “ $q_{2,k}$ ” da **2.5 kPa** disposti, ai fini del calcolo delle strutture principali, in asse alla corsia nel modo più sfavorevole;
- **Corsia 3** ⇒ colonna di carico costituita da un carico tandem “ $2 \times Q_{3k}$ ” da **200 kN** totali su due assi aventi le caratteristiche indicate nella figura sottostante e da uno o più tratti di carico superficiale uniformemente distribuito “ $q_{3,k}$ ” da **2.5 kPa** disposti, ai fini del calcolo delle strutture principali, in asse alla corsia nel modo più sfavorevole;
- **Corsia 4** ⇒ area rimanente della carreggiata caricata solo con uno o più tratti di carico superficiale uniformemente distribuito “ $q_{4,k}$ ” da **2.5 kPa** disposto, ai fini del calcolo delle strutture principali, in asse all’area caricata nel modo più sfavorevole.

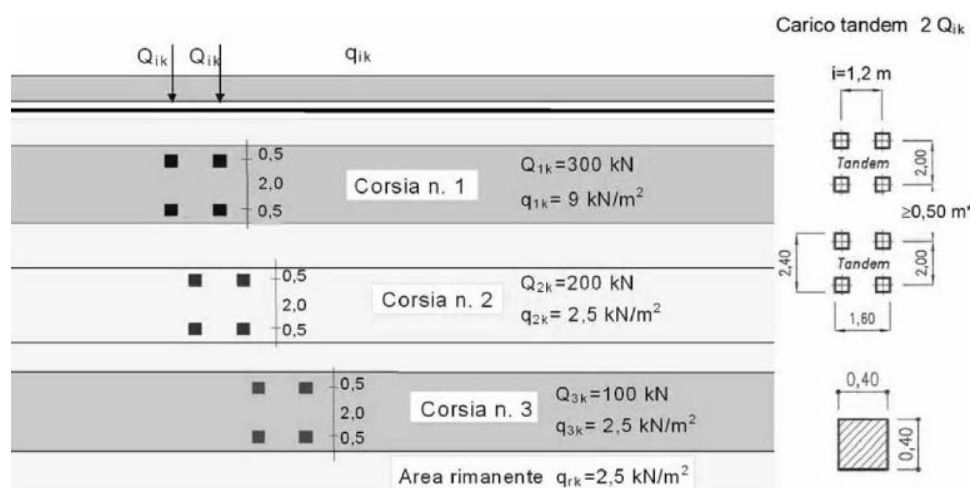


Figura 6 – Corsie: Corsia n°1, corsia n°2 e corsia n°3– Colonne di carico

Esclusivamente per le verifiche locali, si utilizza lo Schema 2, costituito da un singolo asse applicato su specifiche impronte di pneumatico di forma rettangolare, di larghezza 0,60 m e di altezza 0,35 m. Nel caso sia più gravoso, si considera il peso di una singola ruota da 200 kN.

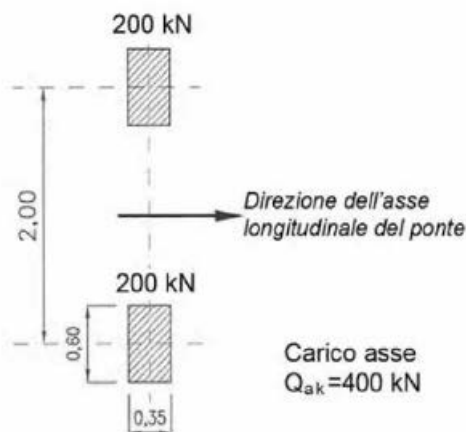


Figura 7: Schema di carico 2 per verifiche locali

6.5.3 Disposizione trasversale dei carichi mobili

Il numero massimo delle colonne di carichi mobili considerato nel calcolo del ponte è quello massimo compatibile con la larghezza della carreggiata w secondo le indicazioni della tabella 5.1.I del DM 2018 di seguito riportata.

Tab. 5.1.I - Numero e larghezza delle corsie

Larghezza della superficie carrabile " w "	Numero di corsie convenzionali	Larghezza di una corsia convenzionale [m]	Larghezza della zona rimanente [m]
$w < 5,40$ m	$n_1 = 1$	3,00	$(w - 3,00)$
$5,4 \leq w < 6,0$ m	$n_1 = 2$	$w/2$	0
$6,0 \text{ m} \leq w$	$n_1 = \text{Int}(w/3)$	3,00	$w - (3,00 \times n_1)$

La larghezza della carreggiata è pari a 9 metri, la larghezza di una corsia convenzionale è pari a 3.0 m pertanto il numero massimo delle corsie convenzionali è pari a 3.

Si riporta di seguito la disposizione più gravosa per la trave più sollecitata (indicata con una freccia rossa)

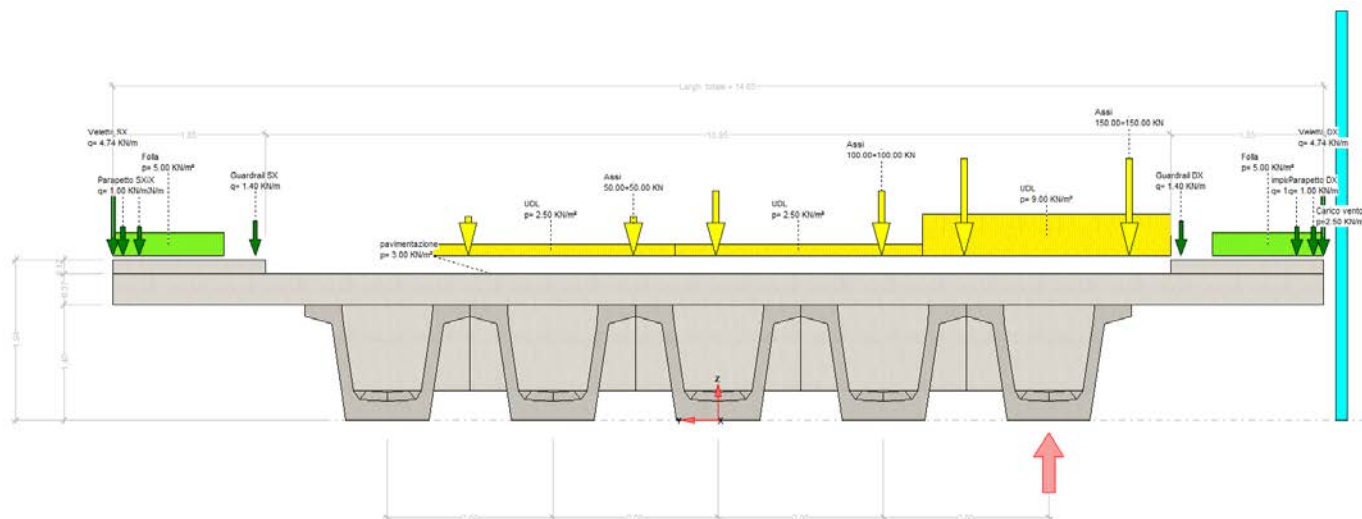


Figura 8 – carichi agenti

6.5.4 Disposizione longitudinale dei carichi mobili

Per il calcolo delle sollecitazioni massime sull'impalcato si considerano i carichi accidentali viaggianti secondo il criterio delle linee d'influenza.

6.5.5 Carichi sui marciapiedi (Q1)

I marciapiedi non aperti al pubblico sono utilizzati solo dal personale autorizzato. I carichi accidentali sono schematizzati da un carico uniformemente ripartito del valore di 5 kN/m² con valore di combinazione pari a 2.5 kN/m² (§ 5.1.3.3.3 NTC18).

6.5.6 Forza centrifuga (Q3)

Non si considera la forza centrifuga poiché l'impalcato è in rettilo.

6.5.7 Frenatura (Q4)


In accordo al DM2018 (p.to 5.1.3.5) la forza di frenatura o accelerazione per i ponti di prima categoria è assumere pari a:

$$180 \text{ kN} \leq F_{\text{fren}} = 0.6 \times (2 \times Q_{1k}) + 0.1 \times (q_{1k} \times w_1 \times L) \cong 0.6 \times 2 \times 300 + 0.1 \times (9 \times 3 \times 25) = 427.5 \text{ kN} < 900 \text{ kN}$$

con

$$Q_{1k} = 300 \text{ kN};$$

$$w_1 = 3.0 \text{ m};$$

	DIRETTRICE FERROVIARIA MESSINA – CATANIA – PALERMO NUOVO COLLEGAMENTO PALERMO – CATANIA TRATTA LERCARA DIRAMAZIONE – CALTANISSETTA (LOTTO 3A) Viadotto IV01					
	RELAZIONE DI CALCOLO IMPALCATO CAP	COMMESSA RS3T	LOTTO 30	CODIFICA D09CL	DOCUMENTO IV0100002	REV. B

$$q_{1k} = 9.0 \text{ kN/m}^2;$$

$$L = 25.0 \text{ m.}$$

Tale forza applicata in asse all'impalcato e ad estradosso pavimentazione, genera sollecitazioni assolutamente trascurabili sull'impalcato; per tale ragione è considerata solo per il dimensionamento dei dispositivi di appoggio.

6.5.8 *Urto del veicolo in svio sulla barriera sicurvia (Q6)*

Sulla base delle prescrizioni normative (§ 5.1.3.10 e § 3.6.3.3.2 – NTC18), l'urto di un veicolo stradale sulle barriere sicurvia è stato modellato come un sistema di forze orizzontale applicate in corrispondenza delle barriere ad un'altezza pari alla minore tra:

$$h_1 = \text{altezza della barriera (pari a 1.5 m)} - 0.10 \text{ m} = 1.40 \text{ m};$$

$$h_2 = 1.0 \text{ m};$$

quindi $h = 1.0 \text{ m}$. La forza orizzontale è pari a 100 kN.

6.5.9 *Azioni parassite dei vincoli (Q7)*

Le azioni parassite dei vincoli sono stimate come forze orizzontali pari allo 3% delle reazioni dovute ai carichi verticali. Non essendo dimensionanti ai fini dell'impalcato le stesse sono calcolate nelle relazioni delle sottostrutture.

6.6 *Azioni climatiche*

6.6.1 *Variazione termica uniforme (ε3)*

La variazione termica uniforme è valutata secondo il § 5.2.2.5.2 delle NTC18. Si prevede una variazione termica pari a $\pm 15 \text{ }^\circ\text{C}$. Per l'escursione giunti e appoggi si incrementa la variazione termica del 50%.

6.6.2 *Variazione termica differenziale (ε3)*

È stata considerata un gradiente di temperatura tra intradosso ed estradosso dell'impalcato pari a $\pm 5^\circ\text{C}$

Tale valore è assegnato direttamente al software ai fini del calcolo.

6.6.3 *Vento (Q5)*

A vantaggio di sicurezza si assume comunque una pressione da vento pari a **2.5 kN/mq**

Il caso di ponte carico, per cui l'altezza della superficie di impatto del vento è pari all'altezza dell'impalcato più tre metri, è evidentemente il più gravoso per gli effetti sulle travi che per le reazioni agli appoggi.

7 VERIFICA DEL TRAVERSO DI CAMPATA

Le sollecitazioni agenti sono desunte dal paragrafo “Sollecitazioni sul traverso di campata” e di seguito sintetizzate

SLU

$$M_{\max} = 417 \text{ KNm}$$

$$M_{\min} = -1575 \text{ KNm}$$

SLE – Rare

$$M_{\max} = -58 \text{ KNm}$$

$$M_{\min} = -1132 \text{ KNm}$$

SLE – Frequenti

$$M_{\max} = -225 \text{ KNm}$$

$$M_{\min} = -926 \text{ KNm}$$

SLE – Quasi permanenti

$$M_{\max} = -224 \text{ KNm}$$

$$M_{\min} = -584 \text{ KNm}$$

Si verifica la sezione composta a T trasverso+soletta collaborante.

Si dispongono 4 Ø 24 barre di widadag per asola mentre in soletta sono presenti 1+1 Ø 12/20

CARATTERISTICHE DI RESISTENZA DEI MATERIALI IMPIEGATI

CALCESTRUZZO -	Classe:	C45/55	
	Resis. compr. di progetto fcd:	255.00	daN/cm ²
	Def.unit. max resistenza ec2:	0.0020	
	Def.unit. ultima ecu:	0.0035	
	Diagramma tensione-deformaz.:	Parabola-Rettangolo	
	Modulo Elastico Normale Ec:	362830	daN/cm ²
	Resis. media a trazione fctm:	45.50	daN/cm ²
	Coeff. Omogen. S.L.E.:	15.00	
	Sc limite S.L.E. comb. Rare:	270.00	daN/cm ²
	Sc limite S.L.E. comb. Frequenti:	270.00	daN/cm ²
	Ap.Fessure limite S.L.E. comb. Frequenti:	0.400	mm
	Sc limite S.L.E. comb. Q.Permanenti:	202.50	daN/cm ²
	Ap.Fess.limite S.L.E. comb. Q.Perm.:	0.300	mm
ACCIAIO -	Tipo:	B450C	
	Resist. caratt. snervam. fyk:	4500.0	daN/cm ²
	Resist. caratt. rottura ftk:	4500.0	daN/cm ²
	Resist. snerv. di progetto fyd:	3913.0	daN/cm ²
	Resist. ultima di progetto ftd:	3913.0	daN/cm ²

RELAZIONE DI CALCOLO IMPALCATO CAP

COMMESSA	LOTTO	CODIFICA	DOCUMENTO	REV.	FOGLIO
RS3T	30	D09CL	IV0100002	B	28 di 99

Deform. ultima di progetto Epu:	0.068	
Modulo Elastico Ef	2000000	daN/cm ²
Diagramma tensione-deformaz.:	Bilineare finito	
Coeff. Aderenza istantaneo $\beta_1 \cdot \beta_2$:	1.00	
Coeff. Aderenza differito $\beta_1 \cdot \beta_2$:	0.50	
Sf limite S.L.E. Comb. Rare:	3600.0	daN/cm ²

CARATTERISTICHE DOMINIO CONGLOMERATO

Forma del Dominio: Poligonale
Classe Conglomerato: C45/55

N°vertice:	X [cm]	Y [cm]
1	-145.0	0.0
2	-145.0	25.0
3	-20.0	25.0
4	-20.0	165.0
5	20.0	165.0
6	20.0	25.0
7	145.0	25.0
8	145.0	0.0

DATI BARRE ISOLATE

N°Barra	X [cm]	Y [cm]	DiamØ[mm]
1	-141.0	4.0	12
2	-141.0	21.0	12
3	141.0	21.0	12
4	141.0	4.0	12
5	-15.0	52.0	24
6	15.0	52.0	24
7	15.0	135.0	24
8	-15.0	135.0	24

DATI GENERAZIONI LINEARI DI BARRE

N°Gen. Numero assegnato alla singola generazione lineare di barre
N°Barra Ini. Numero della barra iniziale cui si riferisce la generazione
N°Barra Fin. Numero della barra finale cui si riferisce la generazione
N°Barre Numero di barre generate equidistanti cui si riferisce la generazione
Ø Diametro in mm delle barre della generazione

N°Gen.	N°Barra Ini.	N°Barra Fin.	N°Barre	Ø
1	1	4	12	12
2	2	3	12	12
3	5	6	2	24
4	7	8	2	24

CALCOLO DI RESISTENZA - SFORZI PER OGNI COMBINAZIONE ASSEGNATA

N Sforzo normale in daN applicato nel Baric. (+ se di compressione)
Mx Momento flettente [daNm] intorno all'asse x princ. d'inerzia
con verso positivo se tale da comprimere il lembo sup. della sez.
My Momento flettente [daNm] intorno all'asse y princ. d'inerzia
con verso positivo se tale da comprimere il lembo destro della sez.

RELAZIONE DI CALCOLO IMPALCATO CAP

COMMESSA	LOTTO	CODIFICA	DOCUMENTO	REV.	FOGLIO
RS3T	30	D09CL	IV0100002	B	29 di 99

Vy Componente del Taglio [daN] parallela all'asse princ.d'inerzia y
Vx Componente del Taglio [daN] parallela all'asse princ.d'inerzia x

N°Comb.	N	Mx	My	Vy	Vx
1	0	157500	0	0	0
2	0	-41700	0	0	0

COMB. RARE (S.L.E.) - SFORZI PER OGNI COMBINAZIONE ASSEGNATA

N Sforzo normale in daN applicato nel Baricentro (+ se di compressione)
Mx Momento flettente [daNm] intorno all'asse x princ. d'inerzia (tra parentesi Mom.Fessurazione)
con verso positivo se tale da comprimere il lembo superiore della sezione
My Momento flettente [daNm] intorno all'asse y princ. d'inerzia (tra parentesi Mom.Fessurazione)
con verso positivo se tale da comprimere il lembo destro della sezione

N°Comb.	N	Mx	My
1	0	5800	0
2	0	113200	0

COMB. FREQUENTI (S.L.E.) - SFORZI PER OGNI COMBINAZIONE ASSEGNATA

N Sforzo normale in daN applicato nel Baricentro (+ se di compressione)
Mx Momento flettente [daNm] intorno all'asse x princ. d'inerzia (tra parentesi Mom.Fessurazione)
con verso positivo se tale da comprimere il lembo superiore della sezione
My Momento flettente [daNm] intorno all'asse y princ. d'inerzia (tra parentesi Mom.Fessurazione)
con verso positivo se tale da comprimere il lembo destro della sezione

N°Comb.	N	Mx	My
1	0	22500 (313114)	0 (0)
2	0	92600 (313114)	0 (0)

COMB. QUASI PERMANENTI (S.L.E.) - SFORZI PER OGNI COMBINAZIONE ASSEGNATA

N Sforzo normale in daN applicato nel Baricentro (+ se di compressione)
Mx Momento flettente [daNm] intorno all'asse x princ. d'inerzia (tra parentesi Mom.Fessurazione)
con verso positivo se tale da comprimere il lembo superiore della sezione
My Momento flettente [daNm] intorno all'asse y princ. d'inerzia (tra parentesi Mom.Fessurazione)
con verso positivo se tale da comprimere il lembo destro della sezione

N°Comb.	N	Mx	My
1	0	58400 (313114)	0 (0)

RISULTATI DEL CALCOLO

Sezione verificata

VERIFICHE DI RESISTENZA IN PRESSO-TENSO FLESSIONE ALLO STATO LIMITE ULTIMO

Ver S = combinazione verificata / N = combin. non verificata
N Sn Sforzo normale assegnato [daN] nel baricentro sezione cls. (positivo se di compressione)
Mx Sn Componente momento assegnato [daNm] riferito all'asse x princ. d'inerzia
My Sn Componente momento assegnato [daNm] riferito all'asse y princ. d'inerzia
N Res Sforzo normale resistente [daN] baricentrico (positivo se di compress.)
Mx Res Momento flettente resistente [daNm] riferito all'asse x princ. d'inerzia
My Res Momento flettente resistente [daNm] riferito all'asse y princ. d'inerzia
Mis.Sic. Misura sicurezza = rapporto vettoriale tra (N r,Mx Res,My Res) e (N,Mx,My)

RELAZIONE DI CALCOLO IMPALCATO CAP

COMMESSA	LOTTO	CODIFICA	DOCUMENTO	REV.	FOGLIO
RS3T	30	D09CL	IV0100002	B	30 di 99

As Tesa Verifica positiva se tale rapporto risulta ≥ 1.000
Area armature trave [cm²] in zona tesa. [Tra parentesi l'area minima ex (4.1.15)NTC]

N°Comb	Ver	N	Mx	My	N Res	Mx Res	My Res	Mis.Sic.	As Tesa
1	S	0	157500	0	0	251743	0	1.60	67.9
2	S	0	-41700	0	0	-142305	0	3.41	52.0

METODO AGLI STATI LIMITE ULTIMI - DEFORMAZIONI UNITARIE ALLO STATO ULTIMO

ec max Deform. unit. massima del conglomerato a compressione
x/d Rapporto di duttilità [§ 4.1.2.1.2.1 NTC] deve essere < 0.45
Xc max Ascissa in cm della fibra corrisp. a ec max (sistema rif. X,Y,O sez.)
Yc max Ordinata in cm della fibra corrisp. a ec max (sistema rif. X,Y,O sez.)
es min Deform. unit. minima nell'acciaio (negativa se di trazione)
Xs min Ascissa in cm della barra corrisp. a es min (sistema rif. X,Y,O sez.)
Ys min Ordinata in cm della barra corrisp. a es min (sistema rif. X,Y,O sez.)
es max Deform. unit. massima nell'acciaio (positiva se di compress.)
Xs max Ascissa in cm della barra corrisp. a es max (sistema rif. X,Y,O sez.)
Ys max Ordinata in cm della barra corrisp. a es max (sistema rif. X,Y,O sez.)

N°Comb	ec max	x/d	Xc max	Yc max	es min	Xs min	Ys min	es max	Xs max	Ys max
1	0.00350	0.161	-20.0	165.0	-0.00054	15.0	135.0	-0.01820	-141.0	4.0
2	0.00208	0.030	-145.0	0.0	0.00002	-141.0	4.0	-0.06750	15.0	135.0

POSIZIONE ASSE NEUTRO PER OGNI COMB. DI RESISTENZA

a, b, c Coeff. a, b, c nell'eq. dell'asse neutro $aX+bY+c=0$ nel rif. X,Y,O gen.
x/d Rapp. di duttilità (travi e solette)[§ 4.1.2.1.2.1 NTC]: deve essere < 0.45
C.Rid. Coeff. di riduz. momenti per sola flessione in travi continue

N°Comb	a	b	c	x/d	C.Rid.
1	0.000000000	0.000134792	-0.018740674	0.161	0.700
2	0.000000000	-0.000515401	0.002079155	0.030	0.700

COMBINAZIONI RARE IN ESERCIZIO - MASSIME TENSIONI NORMALI ED APERTURA FESSURE (NTC/EC2)

Ver S = comb. verificata/ N = comb. non verificata
Sc max Massima tensione (positiva se di compressione) nel conglomerato [daN/cm²]
Xc max, Yc max Ascissa, Ordinata [cm] del punto corrisp. a Sc max (sistema rif. X,Y,O)
Sf min Minima tensione (negativa se di trazione) nell'acciaio [daN/cm²]
Xs min, Ys min Ascissa, Ordinata [cm] della barra corrisp. a Sf min (sistema rif. X,Y,O)
Ac eff. Area di calcestruzzo [cm²] in zona tesa considerata aderente alle barre
As eff. Area barre [cm²] in zona tesa considerate efficaci per l'apertura delle fessure

N°Comb	Ver	Sc max	Xc max	Yc max	Sf min	Xs min	Ys min	Ac eff.	As eff.
1	S	3.9	20.0	165.0	-119	-141.0	4.0	4851	31.7
2	S	77.0	-20.0	165.0	-2331	-141.0	4.0	4851	31.7

COMBINAZIONI FREQUENTI IN ESERCIZIO - MASSIME TENSIONI NORMALI ED APERTURA FESSURE (NTC/EC2)

N°Comb	Ver	Sc max	Xc max	Yc max	Sf min	Xs min	Ys min	Ac eff.	As eff.
1	S	15.3	20.0	165.0	-463	-119.3	4.0	4851	31.7
2	S	63.0	20.0	165.0	-1906	-141.0	4.0	4851	31.7

COMBINAZIONI FREQUENTI IN ESERCIZIO - APERTURA FESSURE [§ 7.3.4 EC2]

RELAZIONE DI CALCOLO IMPALCATO CAP

COMMESSA	LOTTO	CODIFICA	DOCUMENTO	REV.	FOGLIO
RS3T	30	D09CL	IV0100002	B	31 di 99

La sezione viene assunta sempre fessurata anche nel caso in cui la trazione minima del calcestruzzo sia inferiore a f_{ctm}

Ver.	Esito della verifica
e1	Massima deformazione unitaria di trazione nel calcestruzzo (trazione -) valutata in sezione fessurata
e2	Minima deformazione unitaria di trazione nel calcestruzzo (trazione -) valutata in sezione fessurata
k1	= 0.8 per barre ad aderenza migliorata [eq.(7.11)EC2]
kt	= 0.4 per comb. quasi permanenti / = 0.6 per comb.frequenti [cfr. eq.(7.9)EC2]
k2	= 0.5 per flessione; $=(e1 + e2)/(2 \cdot e1)$ per trazione eccentrica [eq.(7.13)EC2]
k3	= 3.400 Coeff. in eq.(7.11) come da annessi nazionali
k4	= 0.425 Coeff. in eq.(7.11) come da annessi nazionali
Ø	Diametro [mm] equivalente delle barre tese comprese nell'area efficace $A_{c\ eff}$ [eq.(7.11)EC2]
Cf	Copriferro [mm] netto calcolato con riferimento alla barra più tesa
e sm - e cm	Differenza tra le deformazioni medie di acciaio e calcestruzzo [(7.8)EC2 e (C4.1.7)NTC] Tra parentesi: valore minimo = $0.6 S_{max} / E_s$ [(7.9)EC2 e (C4.1.8)NTC]
sr max	Massima distanza tra le fessure [mm]
wk	Apertura fessure in mm calcolata = $sr\ max \cdot (e_sm - e_cm)$ [(7.8)EC2 e (C4.1.7)NTC]. Valore limite tra parentesi
Mx fess.	Componente momento di prima fessurazione intorno all'asse X [daNm]
My fess.	Componente momento di prima fessurazione intorno all'asse Y [daNm]

Comb.	Ver	e1	e2	k2	Ø	Cf	e sm - e cm	sr max	wk	Mx fess	My fess
1	S	-0.00024	0	0.500	12.0	34	0.00014 (0.00014)	428	0.059 (0.40)	313114	0
2	S	-0.00099	0	0.500	12.0	34	0.00057 (0.00057)	428	0.245 (0.40)	313114	0

COMBINAZIONI QUASI PERMANENTI IN ESERCIZIO - MASSIME TENSIONI NORMALI ED APERTURA FESSURE (NTC/EC2)

N°Comb	Ver	Sc max	Xc max	Yc max	Sf min	Xs min	Ys min	Ac eff.	As eff.
1	S	39.7	-20.0	165.0	-1202	-119.3	4.0	4851	31.7

COMBINAZIONI QUASI PERMANENTI IN ESERCIZIO - APERTURA FESSURE [§ 7.3.4 EC2]

Comb.	Ver	e1	e2	k2	Ø	Cf	e sm - e cm	sr max	wk	Mx fess	My fess
1	S	-0.00062	0	0.500	12.0	34	0.00036 (0.00036)	428	0.154 (0.30)	313114	0

8 VERIFICA DEL TRAVERSO DI TESTATA

Il trasverso di testata è dimensionato per il sollevamento dell'impalcato.

L'ipotesi è di utilizzare n 4 martinetti nella posizione indicata.

Le azioni agenti sono desunte dalle reazioni di cui al paragrafo "Reazioni massime agli appoggi/carichi di 1° e 2° fase).

Per la valutazione delle sollecitazioni in tale fase si è realizzato un modello di calcolo monodimensionale in cui il trasverso risulta appoggiato in corrispondenza dei martinetti e sollecitato da azioni concentrate rappresentanti i carichi trasmessi dalle travi.

Le sollecitazioni ottenute sono moltiplicate per il fattore 1.35.

Trave	peso carichi 1° e 2° fase
1	876.1
2	594.68
3	584.14
4	594.67
5	876.1

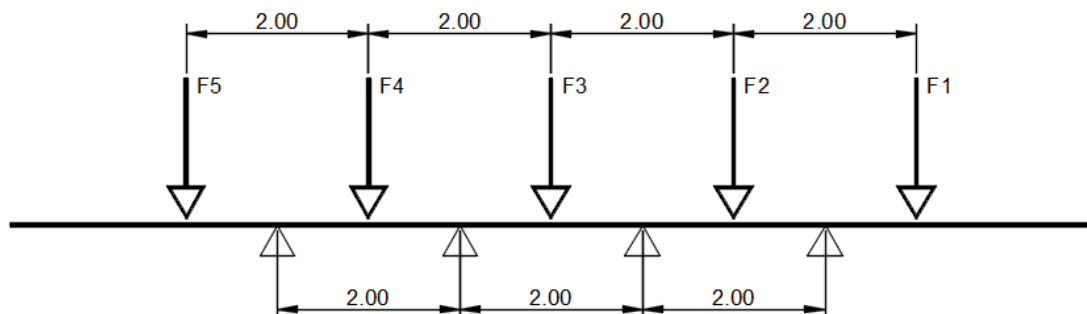


Figura 9 - Schema per il sollevamento

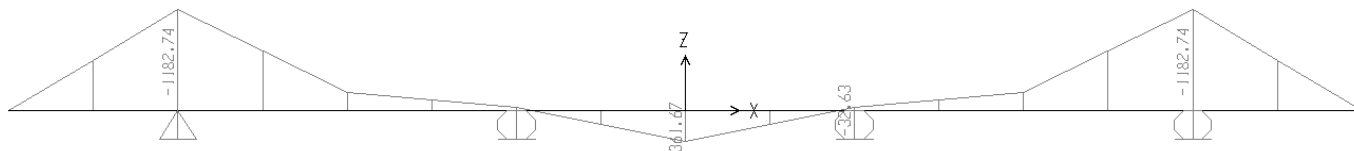


Figura 10 - Momento flettente SLU

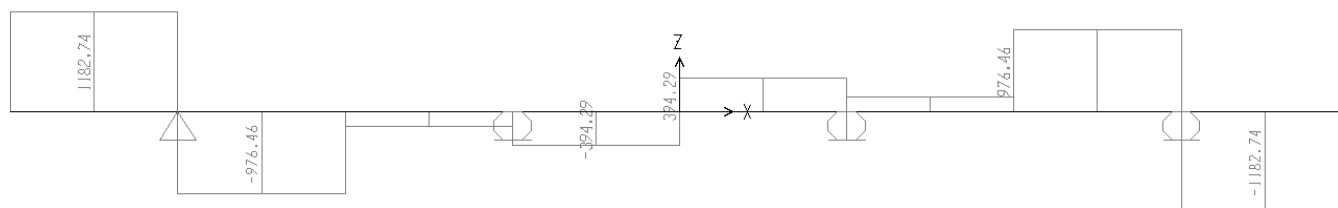


Figura 11 - Taglio SLU

RELAZIONE DI CALCOLO IMPALCATO CAP

COMMESSA	LOTTO	CODIFICA	DOCUMENTO	REV.	FOGLIO
RS3T	30	D09CL	IV0100002	B	33 di 99

Si dispongono 4Ø24 barre diwidag per asola mentre in soletta sono presenti 1+1Ø12/20

CARATTERISTICHE DI RESISTENZA DEI MATERIALI IMPIEGATI

CALCESTRUZZO -	Classe:	C45/55	
	Resis. compr. di progetto fcd:	255.00	daN/cm ²
	Resis. compr. ridotta fcd':	127.50	daN/cm ²
	Def.unit. max resistenza ec2:	0.0020	
	Def.unit. ultima ecu:	0.0035	
	Diagramma tensione-deformaz.:	Parabola-Rettangolo	
	Modulo Elastico Normale Ec:	362830	daN/cm ²
Resis. media a trazione fctm:	37.90	daN/cm ²	
ACCIAIO -	Tipo:	B450C	
	Resist. caratt. snervam. fyk:	4500.0	daN/cm ²
	Resist. caratt. rottura ftk:	4500.0	daN/cm ²
	Resist. snerv. di progetto fyd:	3913.0	daN/cm ²
	Resist. ultima di progetto ftd:	3913.0	daN/cm ²
	Deform. ultima di progetto Epu:	0.068	
	Modulo Elastico Ef	2000000	daN/cm ²
Diagramma tensione-deformaz.:	Bilineare finito		

CARATTERISTICHE DOMINIO CONGLOMERATO

Forma del Dominio: Poligonale
Classe Conglomerato: C45/55

N°vertice:	X [cm]	Y [cm]
1	-20.0	-92.5
2	-20.0	47.5
3	-75.0	47.5
4	-75.0	72.5
5	75.0	72.5
6	75.0	47.5
7	20.0	47.5
8	20.0	-92.5

DATI BARRE ISOLATE

N°Barra	X [cm]	Y [cm]	DiamØ[mm]
1	-15.0	-65.5	24
2	15.0	-65.5	24
3	-15.0	16.5	24
4	15.0	16.5	24
5	-70.0	52.5	12
6	70.0	52.5	12
7	-70.0	67.5	12
8	70.0	67.5	12

DATI GENERAZIONI LINEARI DI BARRE

N°Gen. Numero assegnato alla singola generazione lineare di barre
N°Barra Ini. Numero della barra iniziale cui si riferisce la generazione
N°Barra Fin. Numero della barra finale cui si riferisce la generazione
N°Barre Numero di barre generate equidistanti cui si riferisce la generazione
Ø Diametro in mm delle barre della generazione

N°Gen. N°Barra Ini. N°Barra Fin. N°Barre Ø

RELAZIONE DI CALCOLO IMPALCATO CAP

COMMESSA	LOTTO	CODIFICA	DOCUMENTO	REV.	FOGLIO
RS3T	30	D09CL	IV0100002	B	34 di 99

1	1	2	2	24
2	3	4	2	24
3	5	6	5	12
4	7	8	5	12

CALCOLO DI RESISTENZA - SFORZI PER OGNI COMBINAZIONE ASSEGNATA

N	Sforzo normale in daN applicato nel Baric. (+ se di compressione)
Mx	Momento flettente [daNm] intorno all'asse X di riferimento delle coordinate con verso positivo se tale da comprimere il lembo sup. della sez.
Vy	Componente del Taglio [daN] parallela all'asse Y di riferimento delle coordinate

N°Comb.	N	Mx	Vy
1	0	-118300	0
2	0	10	118300
3	0	36200	0

RISULTATI DEL CALCOLO

Sezione verificata

VERIFICHE DI RESISTENZA IN PRESSO-TENSO FLESSIONE ALLO STATO LIMITE ULTIMO

Ver	S = combinazione verificata / N = combin. non verificata
N	Sforzo normale assegnato [daN] nel baricentro sezione cls. (positivo se di compressione)
Mx	Componente momento flettente assegnato [daNm] intorno all'asse X di riferimento delle coordinate
Mis.Sic.	Misura sicurezza = rapporto vettoriale tra (N r,Mx Res,My Res) e (N,Mx,My) Verifica positiva se tale rapporto risulta >=1.000
As Tesa	Area armature trave [cm²] in zona tesa. [Tra parentesi l'area minima ex (4.1.15)NTC]

N°Comb	Ver	N	Mx	N Res	Mx Res	Mis.Sic.	As Tesa
1	S	0	-118300	0	-167249	1.41	52.0
2	S	0	10	0	139458	999.00	44.1
3	S	0	36200	0	139458	3.85	44.1

METODO AGLI STATI LIMITE ULTIMI - DEFORMAZIONI UNITARIE ALLO STATO ULTIMO

ec max	Deform. unit. massima del conglomerato a compressione
x/d	Rapporto di duttilità [§ 4.1.2.1.2.1 NTC] deve essere < 0.45
Xc max	Ascissa in cm della fibra corrisp. a ec max (sistema rif. X,Y,O sez.)
Yc max	Ordinata in cm della fibra corrisp. a ec max (sistema rif. X,Y,O sez.)
es min	Deform. unit. minima nell'acciaio (negativa se di trazione)
Xs min	Ascissa in cm della barra corrisp. a es min (sistema rif. X,Y,O sez.)
Ys min	Ordinata in cm della barra corrisp. a es min (sistema rif. X,Y,O sez.)
es max	Deform. unit. massima nell'acciaio (positiva se di compress.)
Xs max	Ascissa in cm della barra corrisp. a es max (sistema rif. X,Y,O sez.)
Ys max	Ordinata in cm della barra corrisp. a es max (sistema rif. X,Y,O sez.)

N°Comb	ec max	x/d	Xc max	Yc max	es min	Xs min	Ys min	es max	Xs max	Ys max
1	0.00350	0.130	-20.0	-92.5	-0.00106	-15.0	-65.5	-0.02352	70.0	67.5
2	0.00290	0.041	-75.0	72.5	0.00035	-70.0	67.5	-0.06750	-15.0	-65.5
3	0.00290	0.041	-75.0	72.5	0.00035	-70.0	67.5	-0.06750	-15.0	-65.5

POSIZIONE ASSE NEUTRO PER OGNI COMB. DI RESISTENZA

a, b, c	Coeff. a, b, c nell'eq. dell'asse neutro $aX+bY+c=0$ nel rif. X,Y,O gen.
x/d	Rapp. di duttilità (travi e solette)[§ 4.1.2.1.2.1 NTC]: deve essere < 0.45
C.Rid.	Coeff. di riduz. momenti per sola flessione in travi continue

RELAZIONE DI CALCOLO IMPALCATO CAP

COMMESSA	LOTTO	CODIFICA	DOCUMENTO	REV.	FOGLIO
RS3T	30	D09CL	IV0100002	B	35 di 99

N°Comb	a	b	c	x/d	C.Rid.
1	0.000000000	-0.000168884	-0.012121746	0.130	0.700
2	0.000000000	0.000510120	-0.034087140	0.041	0.700
3	0.000000000	0.000510120	-0.034087140	0.041	0.700

VERIFICHE A TAGLIO

Ver	S = comb. verificata a taglio / N = comb. non verificata
Ved	Taglio di progetto [daN] = V_y ortogonale all'asse neutro
Vcd	Taglio compressione resistente [daN] lato conglomerato [formula (4.1.28)NTC]
Vwd	Taglio resistente [daN] assorbito dalle staffe
Dmed	Altezza utile media pesata [cm] valutata lungo strisce ortog. all'asse neutro. Vengono prese nella media le strisce con almeno un estremo compresso. I pesi della media sono costituiti dalle stesse lunghezze delle strisce.
bw	Larghezza media resistente a taglio [cm] misurate parallel. all'asse neutro E' data dal rapporto tra l'area delle sopradette strisce resistenti e Dmed.
Ctg	Cotangente dell'angolo di inclinazione dei puntoni di conglomerato
Acw	Coefficiente maggiorativo della resistenza a taglio per compressione
Ast	Area staffe+legature strettam. necessarie a taglio per metro di pil.[cm ² /m]
A.Eff	Area staffe+legature efficaci nella direzione del taglio di combinaz.[cm ² /m] Tra parentesi è indicata la quota dell'area relativa alle sole legature. L'area della legatura è ridotta col fattore L/d_max con L=lungh.legat.proiettata sulla direz. del taglio e d_max= massima altezza utile nella direz.del taglio.

N°Comb	Ver	Ved	Vcd	Vwd	Dmed	bw	Ctg	Acw	Ast	A.Eff
1	S	0	316710	47712	138.0	40.0	1.000	1.000	0.0	9.8(0.0)
2	S	118300	218421	119281	138.0	40.0	2.500	1.000	9.7	9.8(0.0)
3	S	0	316710	47712	138.0	40.0	1.000	1.000	0.0	9.8(0.0)

	DIRETTRICE FERROVIARIA MESSINA – CATANIA – PALERMO NUOVO COLLEGAMENTO PALERMO – CATANIA TRATTA LERCARA DIRAMAZIONE – CALTANISSETTA (LOTTO 3A) Viadotto IV01					
	RELAZIONE DI CALCOLO IMPALCATO CAP	COMMESSA RS3T	LOTTO 30	CODIFICA D09CL	DOCUMENTO IV0100002	REV. B

9 SOLETTA

L'analisi delle sollecitazioni flettenti e taglianti nella direzione trasversale della soletta è stata sviluppata considerando una striscia di soletta di larghezza unitaria.

Si dispone armatura trasversale costituita da $\varnothing 12/20$ in zona tesa ed in zona compressa.

9.1 Campo intermedio

La soletta è interamente posizionata sul martello superiore delle travi, tuttavia per un calcolo degli effetti locali nel campo intermedio si considera uno schema semplificato di trave semi incastrata.

La verifica è condotta con riferimento alle sollecitazioni riportate al paragrafo “Sollecitazioni sulla soletta” e di seguito riportate.

Combinazioni SLU

$M_{max} = 20,65 \text{ KNm}$

$M_{min} = -18,82 \text{ KNm}$

Combinazioni SLE

Rare

$M_{max} = 15,24$

$M_{min} = -13,90$

Frequenti

$M_{max} = 11,98$

$M_{min} = -10,79$

Quasi Permanenti

$M_{max} = 2,20$

$M_{min} = -1,47$

CARATTERISTICHE DI RESISTENZA DEI MATERIALI IMPIEGATI

CALCESTRUZZO -	Classe:	C32/40	
	Resistenza compress. di progetto fcd:	181.30	daN/cm ²
	Deform. unitaria max resistenza ec2:	0.0020	
	Deformazione unitaria ultima ecu:	0.0035	
	Diagramma tensioni-deformaz.:	Parabola-Rettangolo	
	Modulo Elastico Normale Ec:	333460	daN/cm ²
	Resis. media a trazione fctm:	30.20	daN/cm ²
	Coeff.Omogen. S.L.E.:	15.00	
	Sc limite S.L.E. comb. Rare:	192.00	daN/cm ²
	Sc limite S.L.E. comb. Frequenti:	192.00	daN/cm ²

RELAZIONE DI CALCOLO IMPALCATO CAP

COMMESSA	LOTTO	CODIFICA	DOCUMENTO	REV.	FOGLIO
RS3T	30	D09CL	IV0100002	B	37 di 99

Ap.Fessure limite S.L.E. comb. Frequenti:	0.400	mm
Sc limite S.L.E. comb. Q.Permanenti:	144.00	daN/cm ²
Ap.Fess.limite S.L.E. comb. Q.Perm.:	0.300	mm

ACCIAIO -	Tipo:	B450C
	Resist. caratt. a snervamento fyk:	4500.0 daN/cm ²
	Resist. caratt. a rottura ftk:	4500.0 daN/cm ²
	Resist. a snerv. di progetto fyd:	3913.0 daN/cm ²
	Resist. ultima di progetto ftd:	3913.0 daN/cm ²
	Deform. ultima di progetto Epu:	0.068
	Modulo Elastico Ef:	2000000 daN/cm ²
	Diagramma tensioni-deformaz.:	Bilineare finito
	Coeff. Aderenza istant. B1*B2:	1.00
	Coeff. Aderenza differito B1*B2:	0.50
	Comb.Rare - Sf Limite:	3600.0 daN/cm ²

CARATTERISTICHE GEOMETRICHE ED ARMATURE SEZIONE

Base:	100.0	cm
Altezza:	26.0	cm
Barre inferiori:	5Ø12	(5.7 cm ²)
Barre superiori:	5Ø12	(5.7 cm ²)
Coprif.Inf.(dal baric. barre):	5.0	cm
Coprif.Sup.(dal baric. barre):	7.0	cm
Coprif.Lat. (dal baric.barre):	4.0	cm

CALCOLO DI RESISTENZA - SFORZI PER OGNI COMBINAZIONE ASSEGNATA

N	Sforzo normale [daN] applicato nel baricentro (posit. se di compress.)
Mx	Momento flettente [daNm] intorno all'asse x baric. della sezione con verso positivo se tale da comprimere il lembo sup. della sezione
Vy	Taglio [daN] in direzione parallela all'asse y baric. della sezione
MT	Momento torcente [daN m]

N°Comb.	N	Mx	Vy	MT
1	0	2065	0	0

COMB. RARE (S.L.E.) - SFORZI PER OGNI COMBINAZIONE ASSEGNATA

N	Sforzo normale [daN] applicato nel baricentro (positivo se di compress.)
Mx	Coppia [daNm] applicata all'asse x baricentrico (tra parentesi il Momento di fessurazione) con verso positivo se tale da comprimere il lembo superiore della sezione

N°Comb.	N	Mx
1	0	1524

COMB. FREQUENTI (S.L.E.) - SFORZI PER OGNI COMBINAZIONE ASSEGNATA

N	Sforzo normale [daN] applicato nel baricentro (positivo se di compress.)
Mx	Coppia [daNm] applicata all'asse x baricentrico (tra parentesi il Momento di fessurazione) con verso positivo se tale da comprimere il lembo superiore della sezione

N°Comb.	N	Mx
1	0	1198 (3616)

COMB. QUASI PERMANENTI (S.L.E.) - SFORZI PER OGNI COMBINAZIONE ASSEGNATA

N	Sforzo normale [daN] applicato nel baricentro (positivo se di compress.)
Mx	Coppia [daNm] applicata all'asse x baricentrico (tra parentesi il Momento di fessurazione)

RELAZIONE DI CALCOLO IMPALCATO CAP

COMMESSA	LOTTO	CODIFICA	DOCUMENTO	REV.	FOGLIO
RS3T	30	D09CL	IV0100002	B	38 di 99

con verso positivo se tale da comprimere il lembo superiore della sezione

N°Comb.	N	Mx
1	0	220 (3616)

RISULTATI DEL CALCOLO

Sezione verificata

VERIFICHE DI RESISTENZA IN PRESSO-TENSO FLESSIONE ALLO STATO LIMITE ULTIMO

Ver	S = combinazione verificata / N = combin. non verificata
N	Sforzo normale [daN] applicato nel Baricentro (positivo se di compressione)
Mx	Momento flettente assegnato [daNm] riferito all'asse x baricentrico
N Ult	Sforzo normale ultimo [daN] nella sezione (positivo se di compress.)
Mx rd	Momento flettente ultimo [daNm] riferito all'asse x baricentrico
Mis.Sic.	Misura sicurezza = rapporto vettoriale tra (N rd, Mx rd) e (N, Mx) Verifica positiva se tale rapporto risulta ≥ 1.000
Yn	Ordinata [cm] dell'asse neutro alla massima resistenza nel sistema di rif. X,Y,O sez.
x/d	Rapp. di duttilità (travi e solette)[§ 4.1.1.1 NTC]: deve essere < 0.45
C.Rid.	Coeff. di riduz. momenti in travi continue [formula (4.1.1)NTC]
As Tesa	Area armature long. trave [cm ²] in zona tesa. (tra parentesi l'area minima di normativa)

N°Comb	Ver	N	Mx	N rd	Mx rd	Mis.Sic.	Yn	x/d	C.Rid.	As Tesa
1	S	0	2065	-7	5637	2.730	23.0	0.14	0.70	11.3

DEFORMAZIONI UNITARIE ALLO STATO LIMITE ULTIMO

ec max	Deform. unit. massima del conglomerato a compressione
Yc max	Ordinata in cm della fibra corrisp. a ec max (sistema rif. X,Y,O sez.)
es min	Deform. unit. minima nell'acciaio (negativa se di trazione)
Ys min	Ordinata in cm della barra corrisp. a es min (sistema rif. X,Y,O sez.)
es max	Deform. unit. massima nell'acciaio (positiva se di compressione)
Ys max	Ordinata in cm della barra corrisp. a es max (sistema rif. X,Y,O sez.)

N°Comb	ec max	Yc max	es min	Ys min	es max	Ys max
1	0.00350	26.0	-0.00467	19.0	-0.02100	5.0

COMBINAZIONI RARE IN ESERCIZIO - VERIFICA MASSIME TENSIONI NORMALI

Ver	S = combinazione verificata / N = combin. non verificata
Sc max	Massima tensione di compress.(+) nel conglom. in fase fessurata [(daN/cm ²)]
Yc max	Ordinata in cm della fibra corrisp. a Sc max (sistema rif. X,Y,O)
Sc min	Minima tensione di compress.(+) nel conglom. in fase fessurata [(daN/cm ²)]
Yc min	Ordinata in cm della fibra corrisp. a Sc min (sistema rif. X,Y,O)
Sf min	Minima tensione di trazione (-) nell'acciaio [(daN/cm ²)]
Ys min	Ordinata in cm della barra corrisp. a Sf min (sistema rif. X,Y,O)
Dw Eff.	Spessore di conglomerato [cm] in zona tesa considerata aderente alle barre
Ac eff.	Area di congl. [cm ²] in zona tesa aderente alle barre (verifica fess.)
As eff.	Area Barre tese di acciaio [cm ²] ricadente nell'area efficace(verifica fess.)
D barre	Distanza in cm tra le barre tese efficaci. (D barre = 0 indica spaziatura superiore a $5(c+\emptyset/2)$ e nel calcolo di fess. si usa la (C4.1.11)NTC/(7.14)EC2)

N°Comb	Ver	Sc max	Yc max	Sc min	Yc min	Sf min	Ys min	Dw Eff.	Ac Eff.	As Eff.	D barre
1	S	31.5	26.0	0.0	20.6	-1366	19.0	6.9	687	5.7	22.5

COMBINAZIONI RARE IN ESERCIZIO - VERIFICA APERTURA FESSURE (NTC/EC2)

Ver	Esito verifica
e1	Minima deformazione unitaria (trazione: segno -) nel calcestruzzo in sez. fessurata

RELAZIONE DI CALCOLO IMPALCATO CAP

COMMESSA	LOTTO	CODIFICA	DOCUMENTO	REV.	FOGLIO
RS3T	30	D09CL	IV0100002	B	39 di 99

e2	Massima deformazione unitaria (compress.: segno +) nel calcestruzzo in sez. fessurata
K2	= 0.5 per flessione; $=(e1 + e2)/(2 \cdot e2)$ in trazione eccentrica per la (7.13)EC2 e la (C4.1.11)NTC
Kt	fattore di durata del carico di cui alla (7.9) dell'EC2
e sm	Deformazione media acciaio tra le fessure al netto di quella del cls. Tra parentesi il valore minimo = 0.6 Ss/Es
srm	Distanza massima in mm tra le fessure
wk	Apertura delle fessure in mm fornito dalla (7.8)EC2 e dalla (C4.1.7)NTC. Tra parentesi è indicato il valore limite.
M fess.	Momento di prima fessurazione [daNm]

N°Comb	Ver	e1	e2	K2	Kt	e sm	srm	wk	M Fess.
1	S	-0.00090	0.00024	0.50	0.60	0.000410 (0.000410)	397	0.163 (990.00)	3616

COMBINAZIONI FREQUENTI IN ESERCIZIO - VERIFICA MASSIME TENSIONI NORMALI

N°Comb	Ver	Sc max	Yc max	Sc min	Yc min	Sf min	Ys min	Dw Eff.	Ac Eff.	As Eff.	D barre
1	S	24.8	26.0	0.0	20.6	-1074	19.0	6.9	687	5.7	22.5

COMBINAZIONI FREQUENTI IN ESERCIZIO - VERIFICA APERTURA FESSURE (NTC/EC2)

N°Comb	Ver	e1	e2	K2	Kt	e sm	srm	wk	M Fess.
1	S	-0.00071	0.00019	0.50	0.60	0.000322 (0.000322)	397	0.128 (0.40)	3616

COMBINAZIONI QUASI PERMANENTI IN ESERCIZIO - VERIFICA MASSIME TENSIONI NORMALI

N°Comb	Ver	Sc max	Yc max	Sc min	Yc min	Sf min	Ys min	Dw Eff.	Ac Eff.	As Eff.	D barre
1	S	4.6	26.0	0.0	20.6	-197	19.0	6.9	687	5.7	22.5

COMBINAZIONI QUASI PERMANENTI IN ESERCIZIO - VERIFICA APERTURA FESSURE (NTC/EC2)

N°Comb	Ver	e1	e2	K2	Kt	e sm	srm	wk	M Fess.
1	S	-0.00013	0.00003	0.50	0.40	0.000059 (0.000059)	397	0.023 (0.30)	3616

9.2 Sbalzo

Per la verifica sullo sbalzo laterale si considerano lo schema di trave incastrata in corrispondenza dell'asse dell'ala superiore della trave di bordo.

Luce $L=2.32$ m

Permanenti:

- Peso proprio $25 \times 0.4 \times 1.0 = 10.0$ KN/m
- Recinzione e veletta $1.00 + 5.74 = 6.74$ KN

Accidentali

- Folla $5.0 \times 1.0 = 5.0$ KN/m

In ragione della geometria dell'impalcato si può assumere che l'urto del veicolo in svio non interessi lo sbalzo laterale.

RELAZIONE DI CALCOLO IMPALCATO CAP

COMMESSA	LOTTO	CODIFICA	DOCUMENTO	REV.	FOGLIO
RS3T	30	D09CL	IV0100002	B	40 di 99

A favore di sicurezza si considerano i carichi puntuali applicati all'estremità dello sbalzo e la folla distribuita su tutta la luce.

SLU

$$M = 1.35 * (-6.74 * 2.32 - 10.0 * 2.32 * 2.32 / 2) + 1.5 * (-5.0 * 2.32 * 2.32 / 2) = -77.6 \text{ kNm}$$

$$T = 1.35 * (6.74 + 10.0 * 2.32) + 1.5 * 5.0 * 2.32 = 57.8 \text{ kN}$$

SLE

$$M = (-6.74 * 2.32 - 10.0 * 2.32 * 2.32 / 2) + (-5.0 * 2.32 * 2.32 / 2) = -56.0 \text{ kNm}$$

Si dispone armatura trasversale costituita da $\varnothing 16/10$ in zona tesa e da $\varnothing 12/20$ in zona compressa.

CARATTERISTICHE DI RESISTENZA DEI MATERIALI IMPIEGATI

CALCESTRUZZO -	Classe:	C32/40	
	Resistenza compress. di progetto fcd:	181.30	daN/cm ²
	Deform. unitaria max resistenza ec2:	0.0020	
	Deformazione unitaria ultima ecu:	0.0035	
	Diagramma tensioni-deformaz.:	Parabola-Rettangolo	
	Modulo Elastico Normale Ec:	333460	daN/cm ²
	Resis. media a trazione fctm:	30.20	daN/cm ²
	Coeff.Omogen. S.L.E.:	15.00	
	Sc limite S.L.E. comb. Rare:	192.00	daN/cm ²
	Sc limite S.L.E. comb. Frequenti:	192.00	daN/cm ²
	Ap.Fessure limite S.L.E. comb. Frequenti:	0.400	mm
	Sc limite S.L.E. comb. Q.Permanenti:	144.00	daN/cm ²
Ap.Fess.limite S.L.E. comb. Q.Perm.:	0.300	mm	

ACCIAIO -	Tipo:	B450C	
	Resist. caratt. a snervamento fyk:	4500.0	daN/cm ²
	Resist. caratt. a rottura ftk:	4500.0	daN/cm ²
	Resist. a snerv. di progetto fyd:	3913.0	daN/cm ²
	Resist. ultima di progetto ftd:	3913.0	daN/cm ²
	Deform. ultima di progetto Epu:	0.068	
	Modulo Elastico Ef:	2000000	daN/cm ²
	Diagramma tensioni-deformaz.:	Bilineare finito	
	Coeff. Aderenza istant. $\beta 1 * \beta 2$:	1.00	
	Coeff. Aderenza differito $\beta 1 * \beta 2$:	0.50	
	Comb.Rare - Sf Limite:	3600.0	daN/cm ²

CARATTERISTICHE GEOMETRICHE ED ARMATURE SEZIONE

Base:	100.0	cm
Altezza:	26.0	cm
Barre inferiori:	5 $\varnothing 12$	(5.7 cm ²)
Barre superiori:	10 $\varnothing 16$	(20.1 cm ²)
Coprif.Inf.(dal baric. barre):	5.0	cm
Coprif.Sup.(dal baric. barre):	6.0	cm
Coprif.Lat. (dal baric.barre):	4.0	cm

CALCOLO DI RESISTENZA - SFORZI PER OGNI COMBINAZIONE ASSEGNATA

RELAZIONE DI CALCOLO IMPALCATO CAP

COMMESSA	LOTTO	CODIFICA	DOCUMENTO	REV.	FOGLIO
RS3T	30	D09CL	IV0100002	B	41 di 99

N Sforzo normale [daN] applicato nel baricentro (posit. se di compress.)
Mx Momento flettente [daNm] intorno all'asse x baric. della sezione
con verso positivo se tale da comprimere il lembo sup. della sezione
Vy Taglio [daN] in direzione parallela all'asse y baric. della sezione
MT Momento torcente [daN m]

N°Comb.	N	Mx	Vy	MT
1	0	-7760	0	0
2	0	1	5780	0

COMB. RARE (S.L.E.) - SFORZI PER OGNI COMBINAZIONE ASSEGNATA

N Sforzo normale [daN] applicato nel baricentro (positivo se di compress.)
Mx Coppia [daNm] applicata all'asse x baricentrico (tra parentesi il Momento di fessurazione)
con verso positivo se tale da comprimere il lembo superiore della sezione

N°Comb.	N	Mx
1	0	-5600

COMB. FREQUENTI (S.L.E.) - SFORZI PER OGNI COMBINAZIONE ASSEGNATA

N Sforzo normale [daN] applicato nel baricentro (positivo se di compress.)
Mx Coppia [daNm] applicata all'asse x baricentrico (tra parentesi il Momento di fessurazione)
con verso positivo se tale da comprimere il lembo superiore della sezione

N°Comb.	N	Mx
1	0	-5600 (-4004)

COMB. QUASI PERMANENTI (S.L.E.) - SFORZI PER OGNI COMBINAZIONE ASSEGNATA

N Sforzo normale [daN] applicato nel baricentro (positivo se di compress.)
Mx Coppia [daNm] applicata all'asse x baricentrico (tra parentesi il Momento di fessurazione)
con verso positivo se tale da comprimere il lembo superiore della sezione

N°Comb.	N	Mx
1	0	-5600 (-4004)

RISULTATI DEL CALCOLO

Sezione verificata

VERIFICHE DI RESISTENZA IN PRESSO-TENSO FLESSIONE ALLO STATO LIMITE ULTIMO

Ver S = combinazione verificata / N = combin. non verificata
N Sforzo normale [daN] applicato nel Baricentro (positivo se di compressione)
Mx Momento flettente assegnato [daNm] riferito all'asse x baricentrico
N Ult Sforzo normale ultimo [daN] nella sezione (positivo se di compress.)
Mx rd Momento flettente ultimo [daNm] riferito all'asse x baricentrico
Mis.Sic. Misura sicurezza = rapporto vettoriale tra (N rd, Mx rd) e (N, Mx)
Verifica positiva se tale rapporto risulta ≥ 1.000
Yn Ordinata [cm] dell'asse neutro alla massima resistenza nel sistema di rif. X, Y, O sez.
x/d Rapp. di duttilità (travi e solette) § 4.1.1.1 NTC; deve essere < 0.45
C.Rid. Coeff. di riduz. momenti in travi continue [formula (4.1.1) NTC]
As Tesa Area armature long. trave [cm²] in zona tesa. (tra parentesi l'area minima di normativa)

N°Comb	Ver	N	Mx	N rd	Mx rd	Mis.Sic.	Yn	x/d	C.Rid.	As Tesa
1	S	0	-7760	23	-13972	1.801	5.3	0.26	0.77	20.1

RELAZIONE DI CALCOLO IMPALCATO CAP

COMMESSA	LOTTO	CODIFICA	DOCUMENTO	REV.	FOGLIO
RS3T	30	D09CL	IV0100002	B	42 di 99

2 S 0 1 -24 6061 6060.573 21.4 0.22 0.71 25.8

DEFORMAZIONI UNITARIE ALLO STATO LIMITE ULTIMO

ec max	Deform. unit. massima del conglomerato a compressione
Yc max	Ordinata in cm della fibra corrisp. a ec max (sistema rif. X,Y,O sez.)
es min	Deform. unit. minima nell'acciaio (negativa se di trazione)
Ys min	Ordinata in cm della barra corrisp. a es min (sistema rif. X,Y,O sez.)
es max	Deform. unit. massima nell'acciaio (positiva se di compressione)
Ys max	Ordinata in cm della barra corrisp. a es max (sistema rif. X,Y,O sez.)

N°Comb	ec max	Yc max	es min	Ys min	es max	Ys max
1	0.00350	0.0	0.00017	5.0	-0.00983	20.0
2	0.00350	26.0	-0.00111	20.0	-0.01265	5.0

VERIFICHE A TAGLIO SENZA ARMATURE TRASVERSALI (§ 4.1.2.1.3.1 NTC)

Ver	S = comb.verificata a taglio/ N = comb. non verificata
Ved	Taglio agente [daN] uguale al taglio Vy di comb. (sollecit. retta)
Vwct	Taglio trazione resistente [daN] in assenza di staffe [formula (4.1.23)NTC]
d	Altezza utile sezione [cm]
bw	Larghezza minima sezione [cm]
Ro	Rapporto geometrico di armatura longitudinale [<0.02]
Scp	Tensione media di compressione nella sezione [daN/cm ²]

N°Comb	Ver	Ved	Vwct	d	bw	Ro	Scp
1	S	0	15266	20.0	100.0	0.0101	0.0
2	S	5780	16922	21.0	100.0	0.0123	0.0

COMBINAZIONI RARE IN ESERCIZIO - VERIFICA MASSIME TENSIONI NORMALI

Ver	S = combinazione verificata / N = combin. non verificata
Sc max	Massima tensione di compress.(+) nel conglom. in fase fessurata [(daN/cm ²)]
Yc max	Ordinata in cm della fibra corrisp. a Sc max (sistema rif. X,Y,O)
Sc min	Minima tensione di compress.(+) nel conglom. in fase fessurata [(daN/cm ²)]
Yc min	Ordinata in cm della fibra corrisp. a Sc min (sistema rif. X,Y,O)
Sf min	Minima tensione di trazione (-) nell'acciaio [daN/cm ²]
Ys min	Ordinata in cm della barra corrisp. a Sf min (sistema rif. X,Y,O)
Dw Eff.	Spessore di conglomerato [cm] in zona tesa considerata aderente alle barre
Ac eff.	Area di congl. [cm ²] in zona tesa aderente alle barre (verifica fess.)
As eff.	Area Barre tese di acciaio [cm ²] ricadente nell'area efficace(verifica fess.)
D barre	Distanza in cm tra le barre tese efficaci. (D barre = 0 indica spaziatura superiore a $5(c+\emptyset/2)$ e nel calcolo di fess. si usa la (C4.1.11)NTC/(7.14)EC2)

N°Comb	Ver	Sc max	Yc max	Sc min	Yc min	Sf min	Ys min	Dw Eff.	Ac Eff.	As Eff.	D barre
1	S	74.4	0.0	0.0	8.1	-1627	5.0	6.0	595	20.1	10.0

COMBINAZIONI RARE IN ESERCIZIO - VERIFICA APERTURA FESSURE (NTC/EC2)

Ver	Esito verifica
e1	Minima deformazione unitaria (trazione: segno -) nel calcestruzzo in sez. fessurata
e2	Massima deformazione unitaria (compress.: segno +) nel calcestruzzo in sez. fessurata
K2	= 0.5 per flessione: $=(e1 + e2)/(2 \cdot e2)$ in trazione eccentrica per la (7.13)EC2 e la (C4.1.11)NTC
Kt	fattore di durata del carico di cui alla (7.9) dell'EC2
e sm	Deformazione media acciaio tra le fessure al netto di quella del cls. Tra parentesi il valore minimo = 0.6 Ss/Es
srm	Distanza massima in mm tra le fessure
wk	Apertura delle fessure in mm fornito dalla (7.8)EC2 e dalla (C4.1.7)NTC. Tra parentesi è indicato il valore limite.
M fess.	Momento di prima fessurazione [daNm]

N°Comb	Ver	e1	e2	K2	Kt	e sm	srm	wk	M Fess.
--------	-----	----	----	----	----	------	-----	----	---------

RELAZIONE DI CALCOLO IMPALCATO CAP

COMMESSA	LOTTO	CODIFICA	DOCUMENTO	REV.	FOGLIO
RS3T	30	D09CL	IV0100002	B	43 di 99

1 S -0.00123 0.00056 0.50 0.60 0.000491 (0.000488) 257 0.126 (990.00) -4004

COMBINAZIONI FREQUENTI IN ESERCIZIO - VERIFICA MASSIME TENSIONI NORMALI

N°Comb	Ver	Sc max	Yc max	Sc min	Yc min	Sf min	Ys min	Dw Eff.	Ac Eff.	As Eff.	D barre
1	S	74.4	0.0	0.0	8.1	-1627	5.0	6.0	595	20.1	10.0

COMBINAZIONI FREQUENTI IN ESERCIZIO - VERIFICA APERTURA FESSURE (NTC/EC2)

N°Comb	Ver	e1	e2	K2	Kt	e sm	srm	wk	M Fess.
1	S	-0.00123	0.00056	0.50	0.60	0.000491 (0.000488)	257	0.126 (0.40)	-4004

COMBINAZIONI QUASI PERMANENTI IN ESERCIZIO - VERIFICA MASSIME TENSIONI NORMALI

N°Comb	Ver	Sc max	Yc max	Sc min	Yc min	Sf min	Ys min	Dw Eff.	Ac Eff.	As Eff.	D barre
1	S	74.4	0.0	0.0	8.1	-1627	5.0	6.0	595	20.1	10.0

COMBINAZIONI QUASI PERMANENTI IN ESERCIZIO - VERIFICA APERTURA FESSURE (NTC/EC2)

N°Comb	Ver	e1	e2	K2	Kt	e sm	srm	wk	M Fess.
1	S	-0.00123	0.00056	0.50	0.40	0.000598 (0.000488)	257	0.154 (0.30)	-4004

10 GIUNTO DI DILATAZIONE

In riferimento ad un $\Delta t_{unif} = \pm 30$ °C e ad un coefficiente di dilatazione termica $\alpha t = 10 \cdot 10^{-6}$ °C⁻¹, per una lunghezza dell'impalcato di 25.00 m risulta un movimento del giunto pari a:

$$\delta = 10 \cdot 10^{-6} \cdot (\pm 30) \cdot 25.00 = \pm 0.0075 \text{ m} \Rightarrow \text{si adotta } 5 \text{ cm}$$



DIRETTRICE FERROVIARIA MESSINA – CATANIA – PALERMO
NUOVO COLLEGAMENTO PALERMO – CATANIA
TRATTA LERCARA DIRAMAZIONE – CALTANISSETTA (LOTTO 3A)
Viadotto IV01

RELAZIONE DI CALCOLO IMPALCATO CAP

COMMESSA	LOTTO	CODIFICA	DOCUMENTO	REV.	FOGLIO
RS3T	30	D09CL	IV0100002	B	45 di 99

ALLEGATO 1: TABULATO DI VERIFICA TRAVI E TRASVERSI

	DIRETTRICE FERROVIARIA MESSINA – CATANIA – PALERMO NUOVO COLLEGAMENTO PALERMO – CATANIA TRATTA LERCARA DIRAMAZIONE – CALTANISSETTA (LOTTO 3A) Viadotto IV01					
	RELAZIONE DI CALCOLO IMPALCATO CAP	COMMESSA RS3T	LOTTO 30	CODIFICA D09CL	DOCUMENTO IV0100002	REV. B

11 CALCOLO DELLE SOLLECITAZIONI

Si riporta di seguito input/output del software ENG8 commercializzato dalla SIGMA c – vers. 3.1 – specificatamente dedicato al calcolo di impalcato con travi in c.a.p e soletta collaborante.

11.1 UNITA' DI MISURA E CONVENZIONI DI SEGNO

Ove non sia diversamente specificato, le grandezze contenute nella presente relazione sono espresse nelle seguenti unità di misura:

lunghezza : m

forza : KN

I diametri delle barre di armatura lenta sono sempre espressi in millimetri, i diametri dei trefoli di precompressione sono invece espressi in pollici (=25.4 mm).

I carichi agenti sull'impalcato sono, come è naturale assumere, positivi se diretti verso il basso.

Le tensioni sono positive se di trazione, sia per quanto riguarda il calcestruzzo che l'acciaio.

11.2 METODO ED IPOTESI DI CALCOLO

L'impalcato viene realizzato con travi in semplice appoggio collaboranti tra loro grazie all'azione della soletta.

Esso si presenta quindi come una lastra appoggiata sui lati opposti e che presenta una forte ortotropia.

Per la ricerca delle sollecitazioni nei vari elementi componenti l'impalcato si ricorre al metodo di Massonnet che permette, mediante l'ausilio di opportuni coefficienti, di risolvere la ripartizione dei carichi e conoscere le sollecitazioni.


Questo metodo fu proposto da Guyon nel 1946 per un grigliato di travi prive di rigidità torsionale, ripreso da Massonnet nel 1950 per tener conto della torsione, infine esteso da Bares; questi ultimi Autori hanno sistemato in modo definitivo la materia in un libro ("Les calculs des grillages de pontes ed dalles orthotropes selon la Method Guyon - Massonnet - Bares", Dunod, Parigi, 1966) che fornisce un gran numero di tabelle direttamente utilizzabili dal progettista e che ne ha agevolato una larga diffusione.

Nel grigliato ortotropo il procedimento di Massonnet trae origine dallo studio di un graticcio appoggiato in corrispondenza degli estremi delle travi principali longitudinali e libero sugli altri estremi; graticcio che si suppone equivalente ad una piastra ortotropica.

Se si osserva un graticcio di travi si constata che si tratta di una struttura a travi bidirezionali a direzioni per lo più ortogonali.

Il comportamento dell'impalcato dipende essenzialmente dalle rigidità flessionali e torsionali dei due ordini di travi e dalla loro reciproca influenza.

Si può, pertanto, pensare di assimilare l'impalcato ad una piastra ortotropica nella quale la caratterizzazione di comportamento nelle due direzioni sia data dalle rigidità flessionali e torsionali anziché dai legami costitutivi dei materiali.

	DIRETTRICE FERROVIARIA MESSINA – CATANIA – PALERMO NUOVO COLLEGAMENTO PALERMO – CATANIA TRATTA LERCARA DIRAMAZIONE – CALTANISSETTA (LOTTO 3A) Viadotto IV01					
	RELAZIONE DI CALCOLO IMPALCATO CAP	COMMESSA RS3T	LOTTO 30	CODIFICA D09CL	DOCUMENTO IV0100002	REV. B

Il metodo di Massonnet considera l'impalcato reale come una lastra rettangolare di larghezza teorica

$$2 \cdot B = n \cdot i$$

$n = n.\text{travi}$, $i = \text{interasse travi}$

e lunghezza pari alla luce di calcolo; tiene conto della differente deformabilità della lastra in senso longitudinale e in senso trasversale.

Si considera una condizione di carico

$$p(x;e) = P_m \text{ sen } (\square x/l)$$

variabile con legge sinusoidale ed agente parallelamente all'asse x con eccentricità e ; per tale carico la deformata ha una legge $w(x,y;e)$ che si ottiene integrando l'equazione di Huber. Esprimendo in serie di Levy, la deformata assume la forma

$$w(x,y;e) = w(1/2,y;e) \text{ sen } (\square x/l)$$

considerando una condizione di carico avente la stessa legge di variazione e lo stesso P_m ma distribuito su tutta la larghezza dell'impalcato

$$p(x;e) = (P_m/2b) \text{ sen } (\square x/l)$$

si avrà una deformata cilindrica che può assumere la forma

$$w(x) = w(1/2) \text{ sen } (\square x/l)$$

Si può, quindi, definire per una trave di ordinata y e carico di eccentricità e , il coefficiente di ripartizione trasversale (adimensionale)

$$K(y;e) = w(x,y;e) / w(x) = w(1/2,y;e) / w(1/2)$$

Si ha, pertanto, per il carico unitario di eccentricità e , il rapporto fra il carico su una trave di ordinata y e il carico medio $1/n$ dove n è il numero delle travi.

Il valore di $K(y;e)$ è stato calcolato dal Massonnet e tabellato in base ai parametri dai quali dipende e precisamente

- dal rapporto y/b rappresentante la posizione della trave longitudinale presa in considerazione (e lungo la quale y ha sempre lo stesso valore);
- dal rapporto e/b che rappresenta la posizione del carico
- dal rapporto di rigidezza torsionale (compreso tra 0 e 1)
- dal rapporto adimensionale di rigidezza flessionale

Si assume che l'azione orizzontale del vento produca non generi sollecitazioni flessionali sulle travi ma venga trasferita agli appoggi in termini di azioni orizzontali e incremento/decremento azioni verticali.

Gli effetti di ritiro, ritiro differenziale e variazione termica differenziale sono valutati per singola trave nel capitolo successivo

12 DATI IMPALCATO

Tipo di impalcato: travi prefabbricate più soletta collaborante

12.1 Dati geometrici

Luce di calcolo	22.40
Larghezza cordolo sinistro	1.85
Larghezza carreggiata	10.95
Larghezza cordolo destro	1.85
Larghezza fuori tutto impalcato	14.65
Numero travi	5
Tipo trave	h140 - 1200
Interasse travi	2.00

Larghezza travi	2.00
Lunghezza retrotrave	0.50
Lunghezza ringrosso	1.80
Lunghezza svasatura	0.50
Eccentricità travi-soletta	0.00
Spessore medio soletta	0.37
Spessore minimo soletta	0.26
Luce di calcolo soletta	1.20
Larghezza marciapiede sinistro	1.35
Dist. marciapiede sinistro	0.50
Larghezza marciapiede destro	1.35
Dist. marciapiede destro	0.50
Spessore medio cordoli	0.17

12.2 Traversi in campata

Numero traversi	2
Altezza sezione traversi	1.25
Spessore sezione traversi	0.30
n.	X
1	7.60
2	14.80

12.3 Traversi in testata

Altezza sezione traversi	1.25
Spessore sezione traversi	0.30
n.	X
1	0.00
2	22.40

12.4 Trave prefabbricata h140 - I200

Per la descrizione geometrica delle sezioni della trave viene utilizzato il sistema di riferimento x,y locale, avente asse x allineato con l'asse Y globale ma di direzione discorde, ed asse y concorde con asse Z globale.

12.4.1 Sezione in campata

Vertice n.	x	y
1	-1.000	1.258
2	-1.000	1.400
3	-0.550	1.400
4	-0.550	1.350
5	-0.535	1.170
6	-0.412	0.354
7	-0.340	0.250
8	0.000	0.230
9	0.340	0.250
10	0.412	0.354
11	0.535	1.170
12	0.550	1.350
13	0.550	1.400
14	1.000	1.400
15	1.000	1.258
16	0.676	1.170
17	0.500	0.000
18	-0.500	0.000

Vertice n.	x	y
19	-0.676	1.170
20	-1.000	1.258
21	0.000	0.000

Altezza della sezione	1.40
Spessore complessivo anime	0.28
Area sezione di calcestruzzo	0.70
Ordinata y baricentro	0.65
Ascissa x baricentro	0.00
J baricentro	0.17
Coefficiente torsionale	0.00

12.4.2 Sezione in testata

Vertice n.	x	y
1	-1.000	1.258
2	-1.000	1.400
3	-0.450	1.400
4	-0.450	1.350
5	-0.436	1.187
6	-0.326	0.459
7	-0.255	0.355
8	0.000	0.340
9	0.255	0.355
10	0.326	0.459
11	0.436	1.187
12	0.450	1.350
13	0.450	1.400
14	1.000	1.400
15	1.000	1.258
16	0.676	1.170
17	0.500	0.000
18	-0.500	0.000
19	-0.676	1.170
20	-1.000	1.258
21	0.000	0.000

Altezza della sezione	1.40
Spessore complessivo anime	0.56
Area sezione di calcestruzzo	1.00
Ordinata y baricentro	0.67
Ascissa x baricentro	0.00
J baricentro	0.21
Coefficiente torsionale	0.00

12.5 Geometria getto in opera

La descrizione geometrica delle sezioni del getto in opera viene data nel sistema di riferimento X,Y,Z globale dell'impalcato

12.5.1 Sezione in campata

Vertice n.	Y	Z
1	7.325	1.400
2	7.325	1.770
3	0.000	1.770
4	-7.325	1.770
5	-7.325	1.400

X iniziale	1.80
X finale	20.60
Lunghezza in direz. X	18.80
Altezza della sezione	0.37
Area sezione	5.42
Z baricentro	1.58
J baricentrico	0.06

12.5.2 Sezione in testata

Vertice n.	Y	Z
1	7.325	1.400
2	7.325	1.770
3	0.000	1.770
4	-7.325	1.770
5	-7.325	1.400

Lunghezza in direz. X (2 testate)	3.60
Altezza della sezione	0.37
Area sezione	5.42
Z baricentro	1.58
J baricentrico	0.06

12.6 Parametri dei materiali

Ritiro differenziale trave - soletta	0.00003
Coeff. omogen. E cls soletta / E cls trave	0.92
E trave/soletta (calcolo frecce)	3.502945E7
Peso specifico trave prefabbricata	25.0000
Peso specifico calcestruzzo getto in opera	25.0000

13 RIPARTIZIONE TRASVERSALE DEI CARICHI

13.1 Parametri di Massonnet

Eccentricità trave verificata (n.1)	Y	-4.00
Luce di calcolo travi principali	L	22.40
Interasse traversi	L1	7.47
Semilarghezza teorica impalcato	B	5.00
Interasse travi	B1	2.00

Trave:

$A_p = 1.70$ (area sezione cls trave+soletta)

$D_p = 1.20$ (quota baricentro)

$J_p = 0.54$ (momento d'inerzia flessionale)

$C_p = 0.00$ (coefficiente di torsione)

Traverso:

$A_e = 1.45$ (area sezione traverso/soletta)

$D_e = 1.23$ (quota baricentro da base sezione)

$J_e = 0.24$ (momento d'inerzia flessionale)

$C_e = 0.00$ (coefficiente di torsione)

Larghezza soletta collaborante con il traverso = 2.90

Coeff. omogen. E cls soletta / E cls trave = 0.92

Teta = 0.387

Radice alfa = 0.000

13.2 Coefficienti

Si calcolano i coefficienti d'influenza della 1^a trave che ha una eccentricita' $Y = 4$ [m] e che risulta essere la piu' sollecitata:

Y=	5.00	3.75	2.50	1.25	0.00	-1.25	-2.50	-3.75	-5.00
K_0	-1.268	-0.741	-0.209	0.339	0.915	1.528	2.181	2.861	3.545
K_1	0.594	0.664	0.744	0.841	0.958	1.094	1.244	1.397	1.536
K_α	-1.268	-0.741	-0.209	0.339	0.915	1.528	2.181	2.861	3.545

Vengono riportati di seguito i coefficienti μ_α relativi alla sezione $Y = 0.00$ del traverso, ed alla prima armonica.

Y=	5.00	3.75	2.50	1.25	0.00	-1.25	-2.50	-3.75	-5.00
μ_α	-0.232	-0.117	-0.002	0.116	0.239	0.116	-0.002	-0.117	-0.232

14 ANALISI DEI CARICHI

14.1 Valori caratteristici delle azioni permanenti

14.1.1 Fase 1

Pesi gravanti sulla trave singola:

Lunghezza trave in asse	23.40	[m]
Peso trave (sezione filante)	17.48	[KN/m]
Peso trave (sezione ringrossata)	24.98	[KN/m]
Peso totale trave prefabbricata	439.83	[KN]
Peso soletta gravante sulla trave	40.01	[KN/m]
Peso trasverso in testata	10.80	[KN]
Peso trasverso in campata	12.87	[KN]

14.1.2 Fase 2

14.1.2.1 Pavimentazione

Peso pavimentazione (3.00 [KN/m²]) gravante sulla trave: 6.66 [KN/m]

La larghezza della carreggiata viene suddivisa in 20 intervalli uguali e per ciascuno di essi si determina il valore del coefficiente K_{α} di Massonnet in corrispondenza del proprio baricentro. Si procede poi alla somma di tali effetti in modo da ottenere la porzione del carico pavimentazione agente sulla trave considerata

14.1.2.2 Peso dei cordoli

I cordoli in calcestruzzo non hanno funzione strutturale.

Il loro peso viene applicato al modello di calcolo come carico lineare uniforme distribuito su tutta la luce e posizionato in sezione trasversale con data eccentricità.

	peso lineare [KN/m]	Ecc. Y	peso totale [KN]
cordolo sinistro	7.86	6.40	176.12
cordolo destro	7.86	-6.40	176.12

Peso totale cordoli = 352.24

14.1.2.3 Carichi lineari di 2a fase sull'impalcato (extra2)

A questi carichi viene applicato il metodo di Massonnet calcolandone il relativo coefficiente di ripartizione trasversale per la trave in esame.

n.	Descrizione	[KN/m]	Ecc. Y	X'i	Rif.X'i	X'f	Rif.X'f
1	impianti DX	1.00	-7.00	-1.10	Appoggio iniziale	-1.10	Appoggio finale
2	impianti SX	1.00	7.00	-1.10	Appoggio iniziale	-1.10	Appoggio finale
3	Veletta DX	4.74	-7.32	-1.10	Appoggio iniziale	-1.10	Appoggio finale
4	Veletta SX	4.74	7.32	-1.10	Appoggio iniziale	-1.10	Appoggio finale
5	Parapetto DX	1.00	-7.20	-1.10	Appoggio iniziale	-1.10	Appoggio finale
6	Parapetto SX	1.00	7.20	-1.10	Appoggio iniziale	-1.10	Appoggio finale
7	Guardrail DX	1.40	-5.60	-1.10	Appoggio iniziale	-1.10	Appoggio finale
8	Guardrail SX	1.40	5.60	-1.10	Appoggio iniziale	-1.10	Appoggio finale

14.2 Valori caratteristici delle azioni variabili

Il numero delle colonne di carichi mobili da considerare nel calcolo dei ponti è quello massimo compatibile con la larghezza della carreggiata, comprese le eventuali banchine di rispetto e per sosta di emergenza, nonché gli eventuali

marciapiedi non protetti e di altezza inferiore a 20 cm, tenuto conto che la larghezza di ingombro convenzionale è stabilita per ciascuna colonna in 3.00 m. In ogni caso il numero delle colonne non deve essere inferiore a 2, a meno che la larghezza della sede stradale sia inferiore a 5,40 m.

La disposizione dei carichi ed il numero delle colonne sulla carreggiata saranno volta per volta quelli che determinano le condizioni più sfavorevoli di sollecitazione per la struttura, membratura o sezione considerata.

Categoria ponte : *Stradale 1a categoria*

Numero assi per corsia: 2

corsia	Nome	carico asse Q	p	α_Q	α_q
1	Corsia 1	300.00	9.00	1.00	1.00
2	Corsia 2	200.00	2.50	1.00	1.00
3	Corsia 3	100.00	2.50	1.00	1.00

Carico folla sui marciapiedi= 5.00 [KN/m²]

15 COEFFICIENTI DI COMBINAZIONE

15.1 Stati Limite Ultimi

	$\gamma_{sup.}$	$\gamma_{inf.}$
Coeff. sicurezza carichi permanenti strutturali	1.35	1.00
Coeff. sicurezza carichi permanenti non strutturali	1.50	0.00
Coeff. sicurezza carichi traffico	1.35	0.00
Coeff. sicurezza carichi vento	1.50	0.00

15.2 Stati Limite di Esercizio

Carico	ψ_0	ψ_1	ψ_2
LM1/UDL	0.40	0.40	0.00
LM1/TS	0.75	0.75	0.00
forze orizzontali	0.00	0.00	0.00
carico pedonale	0.00	0.00	0.00
LM4 folla	0.00	0.75	0.00
LM3	0.00	0.00	0.00
asse singolo LM2	0.00	0.75	0.00
vento	0.60	0.20	0.00
termico	0.60	0.60	0.50

16 APPLICAZIONE DEL METODO DI MASSONNET

16.1 peso cordoli

Descrizione	[KN/m]	Ecc. Y	K Massonnet	μ Massonnet
cordolo sinistro	7.86	6.40	-1.857	-0.360
cordolo destro	7.86	-6.40	4.307	-0.360

16.2 Lineari per trave

Vengono considerati concentrati in direzione y e uniformemente distribuiti in direzione x.

n.	Descrizione	[KN/m]	Ecc. Y	K Massonnet	μ Massonnet
1	impianti DX	1.00	-7.00	4.628	-0.414
2	impianti SX	1.00	7.00	-2.107	-0.414
3	Veletta DX	4.74	-7.32	4.796	-0.443
4	Veletta SX	4.74	7.32	-2.239	-0.443
5	Parapetto DX	1.00	-7.20	4.733	-0.432
6	Parapetto SX	1.00	7.20	-2.190	-0.432
7	Guardrail DX	1.40	-5.60	3.873	-0.286
8	Guardrail SX	1.40	5.60	-1.521	-0.286

16.3 Carichi mobili per massimo effetto sulla trave 1

Descrizione	$Q \cdot \alpha$ [KN]	$q \cdot \alpha$ [KN/m]	Ecc. Y	Larghezza	K_a
Corsia 1	300.00	27.00	-3.97	3.00	2.985
Corsia 2	200.00	7.50	-0.97	3.00	1.390

Descrizione	q [KN/m]	Ecc. Y	Larghezza	K_a
Folla marc. dx	6.75	-6.65	1.35	4.442

Coefficiente di incremento dinamico = 1.0

Le colonne di carico vengono posizionate in direzione x in modo da generare la massima sollecitazione nella specifica sezione di verifica.

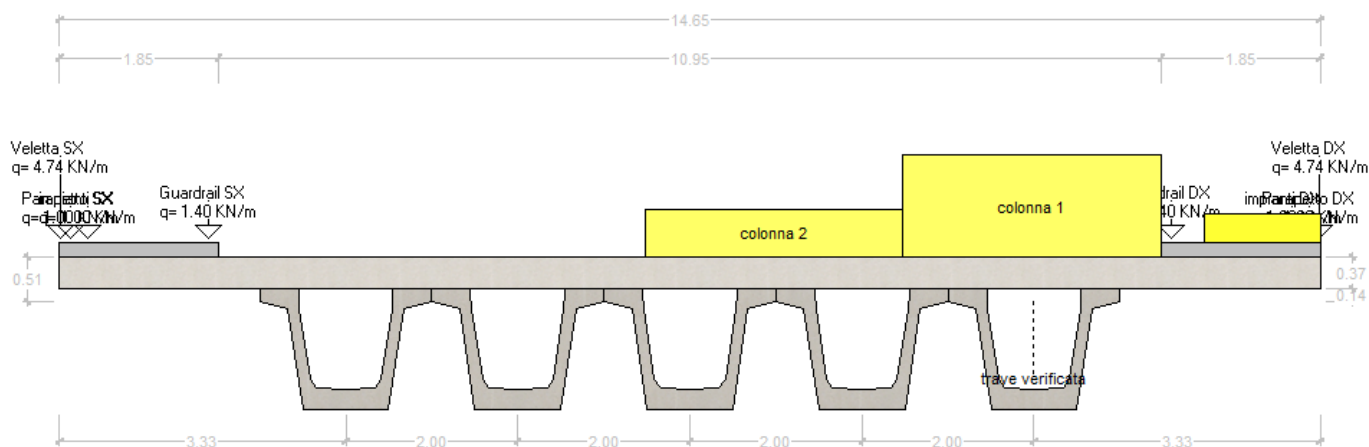


Figura 12 - Disposizione per calcolo trave di bordo

16.4 Carichi mobili per calcolo M max su trasverso

Per la ricerca del massimo momento flettente (che tende le fibre inferiori) si dispongono i carichi in vari modi sia in senso longitudinale che trasversale. Viene qui riportata la configurazione più sfavorevole per la sezione Y=0 in asse travi.

Descrizione	$Q \cdot \alpha$ [KN]	$q \cdot \alpha$ [KN/m]	Ecc. Y	Larghezza	μ
Corsia 1	300.00	27.00	0.00	3.00	0.239

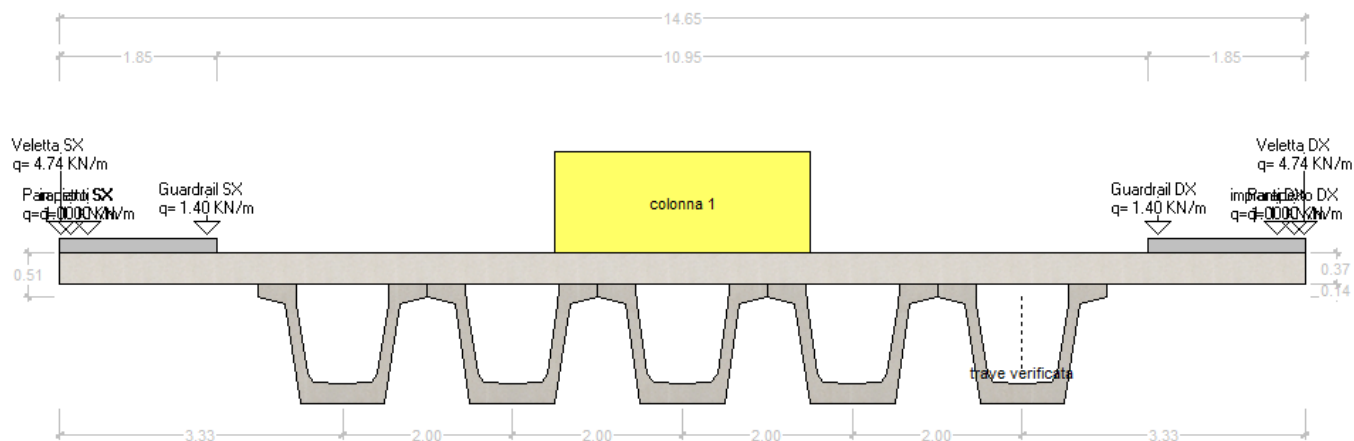


Figura 13 - Disposizione per calcolo M max su trasverso

16.5 Carichi mobili per calcolo M min su trasverso

Per la ricerca del minimo momento flettente (che tende le fibre superiori) si dispongono i carichi in vari modi sia in senso longitudinale che trasversale. Viene qui riportata la configurazione più sfavorevole per la sezione Y=0 in asse travi.

Descrizione	$Q \cdot \alpha$ [KN]	$q \cdot \alpha$ [KN/m]	Ecc. Y	Larghezza	μ
Corsia 1	300.00	27.00	3.98	3.00	-0.138
Corsia 2	200.00	7.50	-3.97	3.00	-0.138

Descrizione	q [KN/m]	Ecc. Y	Larghezza	μ
Folla SX	6.75	6.65	1.35	-0.382
Folla DX	6.75	-6.65	1.35	-0.382

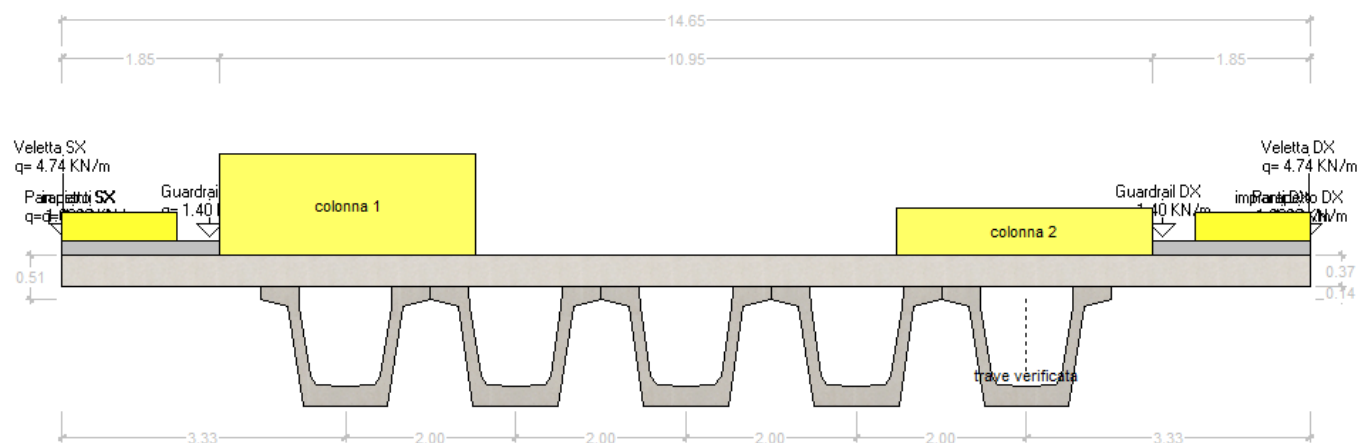


Figura 14 - Disposizione per calcolo M min su trasverso

17 SOLLECITAZIONI SULLA TRAVE 1

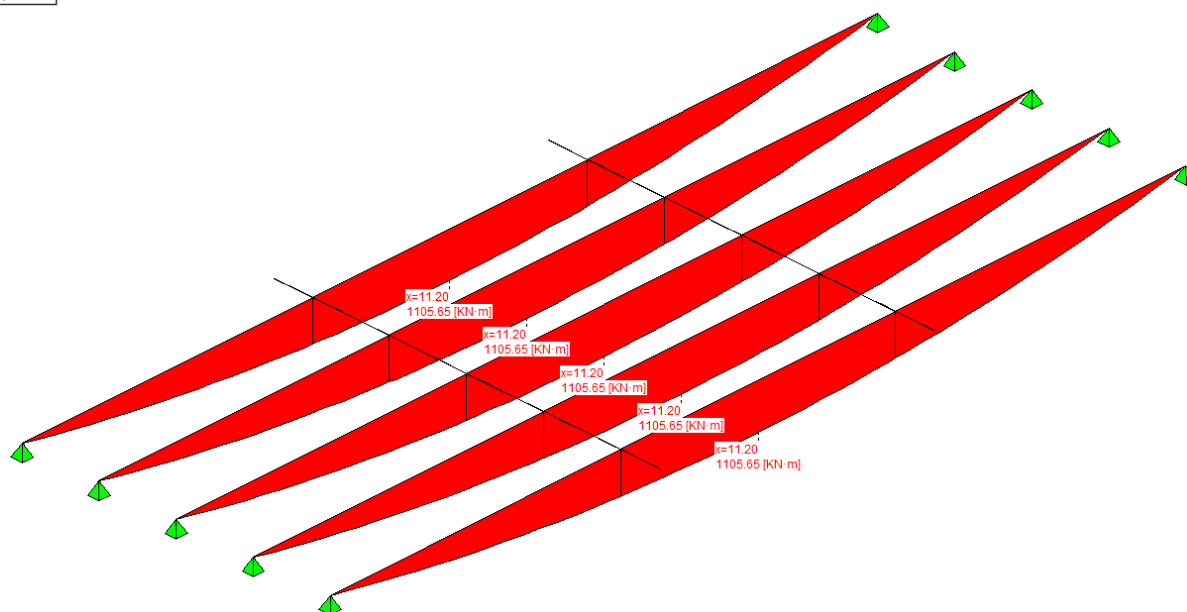
17.1 Valori caratteristici sollecitazioni

17.1.1 Al taglio trefoli ed in opera

Sez.X	Descrizione	peso trave		peso soletta+traversi	
		M	V	M	V
0.00	appoggio	0.00	207.43	0.00	460.94
1.00		194.54	182.46	440.30	420.93
2.00		365.32	160.85	840.89	380.93
3.00		517.40	143.37	1201.76	340.92
4.00		652.13	125.88	1522.93	300.92
5.00		769.51	108.40	1804.38	260.91
6.00		869.08	90.92	2045.07	220.90
7.00		951.06	73.43	2245.53	180.90
8.00		1015.68	55.95	2401.13	128.02
9.00		1062.95	38.46	2509.29	88.01
10.00		1092.87	20.98	2577.74	48.01
11.00		1105.26	3.50	2606.09	8.00
11.20	mezzeria	1105.65	0.00	2607.00	0.00
12.00		1099.72	-13.99	2593.42	-32.00
13.00		1076.88	-31.47	2541.17	-72.01
14.00		1036.69	-48.95	2449.20	-112.02
15.00		979.27	-66.44	2315.24	-161.03
16.00		904.24	-83.92	2130.69	-204.90
17.00		811.30	-101.41	1905.15	-244.91
18.00		701.00	-118.89	1639.90	-284.91
19.00		573.35	-136.37	1334.93	-324.92
20.00		428.34	-153.86	990.25	-364.93
21.00		265.61	-173.92	605.86	-404.93
22.00		80.69	-197.44	180.72	-444.94
22.40	appoggio	0.00	-207.43	0.00	-460.94

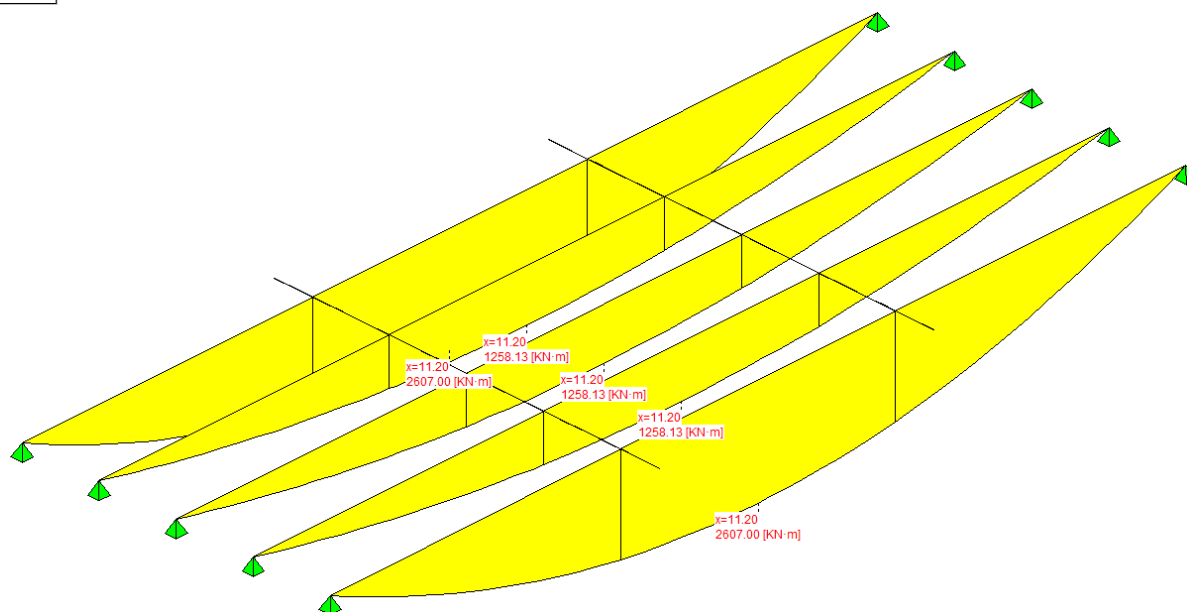
- peso trave
- peso soletta+traversi
- fase 1 - lineari per trave
- peso cordoli
- permanenti portati
- Traffico: tandem TS
- Traffico: distribuito UDL
- Traffico: folla sui marciapiedi
- Traffico: folla in carreggiata
- Traffico: gruppo 1

- Trave 1
- Trave 2
- Trave 3
- Trave 4
- Trave 5
- Traverso 1
- Traverso 2
- Appoggi



- peso trave
- peso soletta+traversi
- fase 1 - linear per trave
- peso cordoli
- permanenti portati
- Traffico: tandem TS
- Traffico: distribuito UDL
- Traffico: folia sui marciapiedi
- Traffico: folia in carreggiata
- Traffico: gruppo 1

- Trave 1
- Trave 2
- Trave 3
- Trave 4
- Trave 5
- Traverso 1
- Traverso 2
- Appoggi

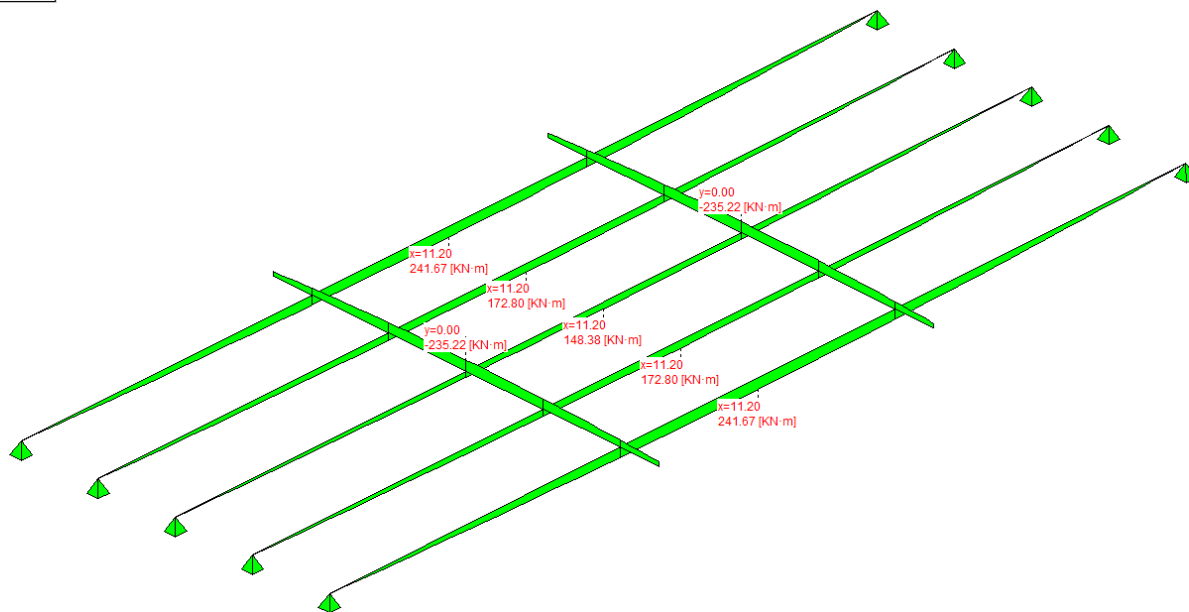


17.1.2 Seconda fase - carichi permanenti

Sez.X	Descrizione	peso cordoli		
		M	V	T
0.00	appoggio	0.00	43.16	0.00
1.00		41.17	39.30	0.00
2.00		78.51	35.45	0.00
3.00		112.03	31.60	0.00
4.00		141.72	27.74	0.00
5.00		167.59	23.89	0.00
6.00		189.53	20.04	0.00
7.00		207.60	16.18	0.00
8.00		221.84	12.33	0.00
9.00		232.26	8.48	0.00
10.00		238.85	4.62	0.00
11.00		241.58	0.77	0.00
11.20	mezzeria	241.67	0.00	0.00
12.00		240.36	-3.08	0.00
13.00		235.33	-6.94	0.00
14.00		226.47	-10.79	0.00
15.00		213.82	-14.64	0.00
16.00		197.28	-18.50	0.00
17.00		176.80	-22.35	0.00
18.00		152.49	-26.20	0.00
19.00		124.36	-30.05	0.00
20.00		92.40	-33.91	0.00
21.00		56.62	-37.76	0.00
22.00		16.91	-41.61	0.00
22.40	appoggio	0.00	-43.16	0.00

- peso trave
- peso soletta+traversi
- fase 1 - lineari per trave
- peso cordoli
- permanenti portati
- Traffico: tandem TS
- Traffico: distribuito UDL
- Traffico: folia sui marciapiedi
- Traffico: folia in carreggiata
- Traffico: gruppo 1

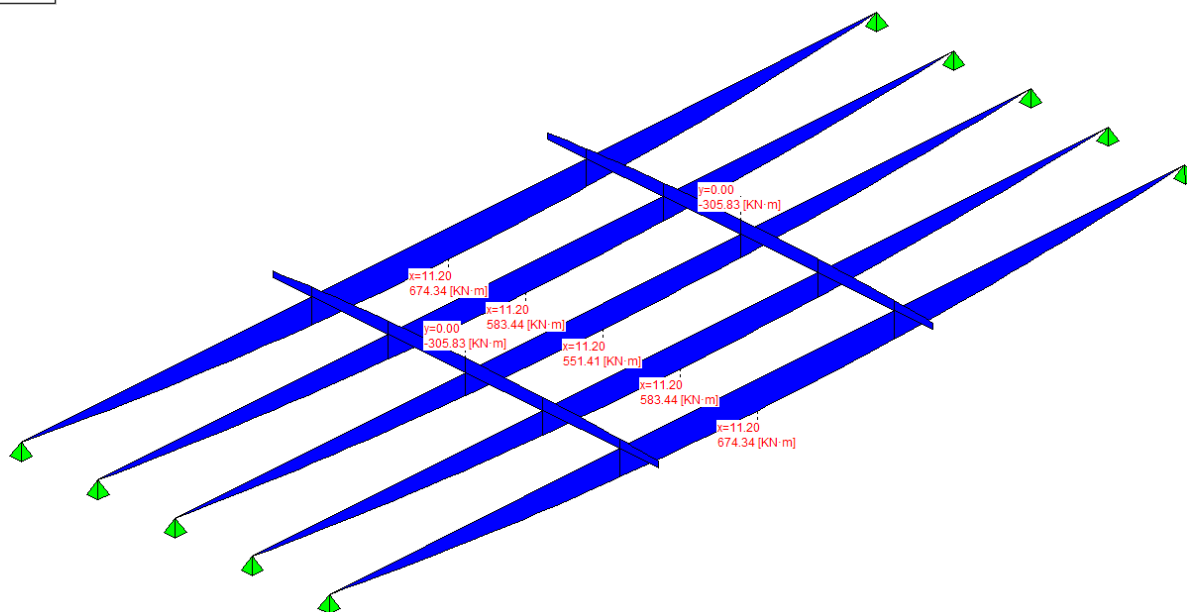
- Trave 1
- Trave 2
- Trave 3
- Trave 4
- Trave 5
- Traverso 1
- Traverso 2
- Appoggi



Sez.X	Descrizione	permanenti portati		
		M	V	T
0.00	appoggio	0.00	120.42	0.00
1.00		114.87	109.67	0.00
2.00		219.07	98.91	0.00
3.00		312.59	88.16	0.00
4.00		395.45	77.41	0.00
5.00		467.63	66.66	0.00
6.00		528.85	55.91	0.00
7.00		579.27	45.16	0.00
8.00		619.01	34.40	0.00
9.00		648.08	23.65	0.00
10.00		666.47	12.90	0.00
11.00		674.09	2.15	0.00
11.20	mezzeria	674.34	0.00	0.00
12.00		670.68	-8.60	0.00
13.00		656.64	-19.35	0.00
14.00		631.93	-30.10	0.00
15.00		596.62	-40.86	0.00
16.00		550.48	-51.61	0.00
17.00		493.32	-62.36	0.00
18.00		425.50	-73.11	0.00
19.00		347.00	-83.86	0.00
20.00		257.83	-94.61	0.00
21.00		157.98	-105.36	0.00
22.00		47.18	-116.12	0.00
22.40	appoggio	0.00	-120.42	0.00

- peso trave
- peso soletta+traversi
- fase 1 - lineari per trave
- peso cordoli
- permanenti portati
- Traffico: tandem TS
- Traffico: distribuito UDL
- Traffico: folla sui marciapiedi
- Traffico: folla in carreggiata
- Traffico: gruppo 1

- Trave 1
- Trave 2
- Trave 3
- Trave 4
- Trave 5
- Traverso 1
- Traverso 2
- Appoggi

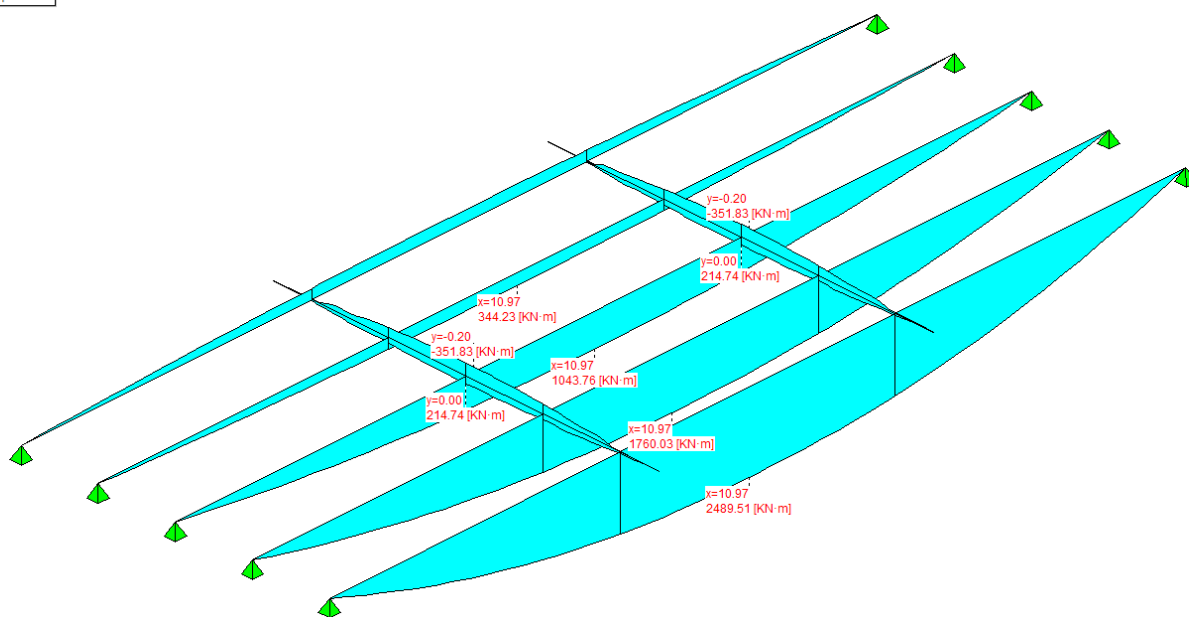


17.1.3 Seconda fase - carichi da traffico

Sez.X	Descrizione	Tandem-TS		
		M	V	T
0.00	appoggio	0.00	456.81	0.00
1.00		435.19	435.86	0.00
2.00		828.78	414.90	0.00
3.00		1180.76	393.95	0.00
4.00		1491.15	372.99	0.00
5.00		1759.93	352.04	0.00
6.00		1986.02	331.08	0.00
7.00		2169.96	310.13	0.00
8.00		2312.29	289.17	0.00
9.00		2413.03	268.22	0.00
10.00		2472.16	247.26	0.00
11.00		2489.29	170.78	0.00
11.20	mezzeria	2487.73	-222.12	0.00
12.00		2483.56	-238.88	0.00
13.00		2441.39	-259.84	0.00
14.00		2357.62	-280.79	0.00
15.00		2232.56	-301.75	0.00
16.00		2065.29	-322.70	0.00
17.00		1855.07	-343.66	0.00
18.00		1603.26	-364.61	0.00
19.00		1309.84	-385.56	0.00
20.00		974.83	-406.52	0.00
21.00		598.21	-427.47	0.00
22.00		178.89	-448.43	0.00
22.40	appoggio	0.00	-456.81	0.00

- peso trave
- peso soletta+traversi
- fase 1 - lineari per trave
- peso cordoli
- permanenti portati
- Traffico: tandem TS
- Traffico: distribuito UDL
- Traffico: folia sui marciapiedi
- Traffico: folia in carreggiata
- Traffico: gruppo 1

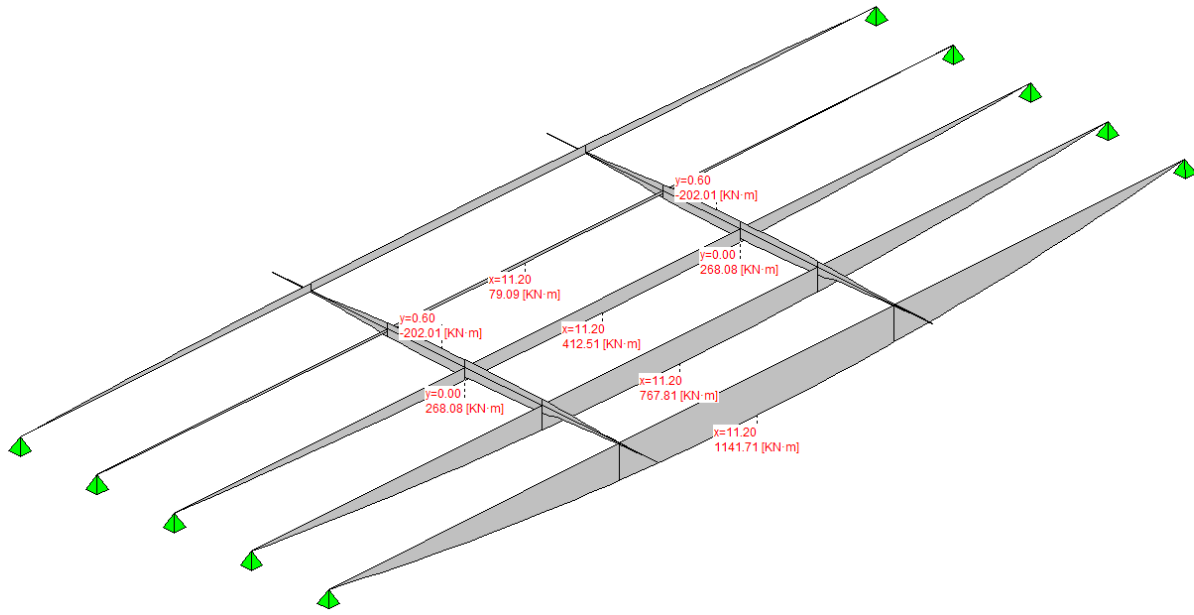
- Trave 1
- Trave 2
- Trave 3
- Trave 4
- Trave 5
- Traverso 2
- Appoggi



Sez.X	Descrizione	Distribuito-UDL		
		M	V	T
0.00	appoggio	0.00	203.88	0.00
1.00		194.49	186.09	0.00
2.00		370.90	169.12	0.00
3.00		529.25	152.94	0.00
4.00		669.52	137.58	0.00
5.00		791.73	123.02	0.00
6.00		895.39	109.29	0.00
7.00		980.75	96.38	0.00
8.00		1048.03	84.28	0.00
9.00		1097.25	72.98	0.00
10.00		1128.39	62.49	0.00
11.00		1141.29	52.14	0.00
11.20	mezzeria	1141.71	45.65	0.00
12.00		1135.53	-58.53	0.00
13.00		1111.75	-68.69	0.00
14.00		1069.91	-79.66	0.00
15.00		1010.13	-91.43	0.00
16.00		932.01	-104.02	0.00
17.00		835.24	-117.44	0.00
18.00		720.40	-131.67	0.00
19.00		587.50	-146.70	0.00
20.00		436.52	-162.55	0.00
21.00		267.48	-179.19	0.00
22.00		79.89	-196.67	0.00
22.40	appoggio	0.00	-203.88	0.00

- peso trave
- peso soletta+traversi
- fase 1 - lineari per trave
- peso cordoli
- permanenti portati
- Traffico: tandem TS
- Traffico: distribuito UDL
- Traffico: folla sui marciapiedi
- Traffico: folla in carreggiata
- Traffico: gruppo 1

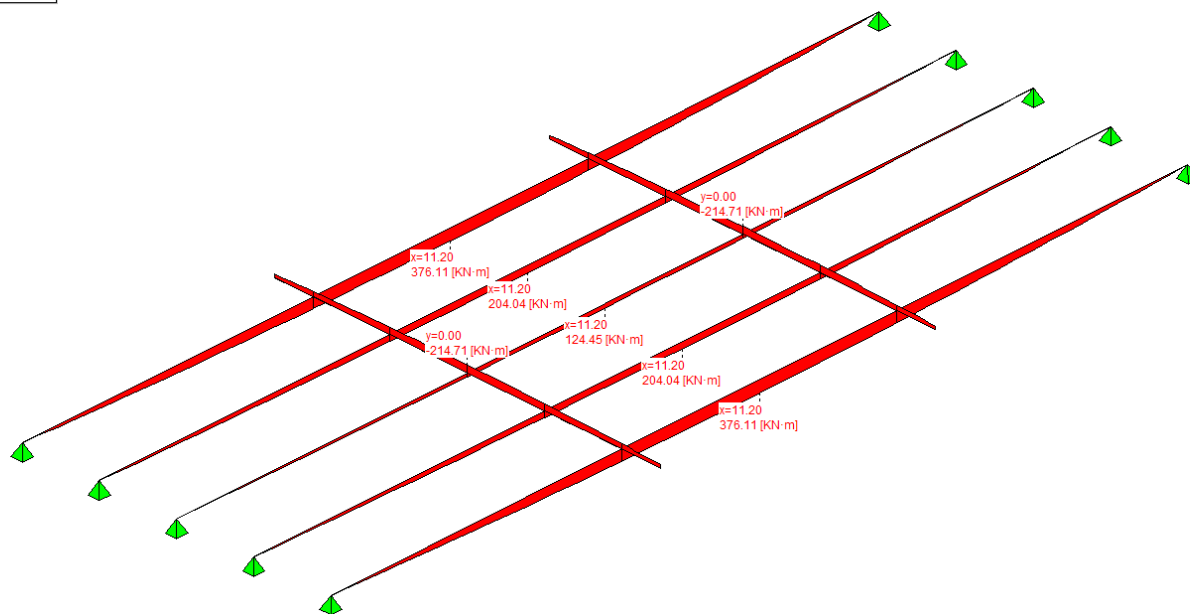
- Trave 1
- Trave 2
- Trave 3
- Trave 4
- Trave 5
- Traverso 1
- Traverso 2
- Appoggi



Sez.X	Descrizione	Folla marciapiedi		
		M	V	T
0.00	appoggio	0.00	67.16	0.00
1.00		64.07	61.17	0.00
2.00		122.18	55.17	0.00
3.00		174.35	49.17	0.00
4.00		220.56	43.18	0.00
5.00		260.81	37.18	0.00
6.00		294.96	31.18	0.00
7.00		323.08	25.19	0.00
8.00		345.25	19.19	0.00
9.00		361.46	13.19	0.00
10.00		371.72	7.20	0.00
11.00		375.97	1.20	0.00
11.20	mezzeria	376.11	0.00	0.00
12.00		374.07	-4.80	0.00
13.00		366.24	-10.79	0.00
14.00		352.45	-16.79	0.00
15.00		332.76	-22.79	0.00
16.00		307.03	-28.78	0.00
17.00		275.15	-34.78	0.00
18.00		237.32	-40.78	0.00
19.00		193.54	-46.77	0.00
20.00		143.80	-52.77	0.00
21.00		88.11	-58.77	0.00
22.00		26.32	-64.76	0.00
22.40	appoggio	0.00	-67.16	0.00

- peso trave
- peso soletta+traversi
- fase 1 - lineari per trave
- peso cordoli
- permanenti portati
- Traffico: tandem TS
- Traffico: distribuito UDL
- Traffico: folla sui marciapiedi
- Traffico: folla in carreggiata
- Traffico: gruppo 1

- Trave 1
- Trave 2
- Trave 3
- Trave 4
- Trave 5
- Traverso 1
- Traverso 2
- Appogg.



Sez.X		gruppo1 (tab. 5.1.IV)		
		M	V	T
0.00	appoggio	0.00	694.27	0.00
1.00		661.71	652.53	0.00
2.00		1260.77	611.60	0.00
3.00		1797.18	571.48	0.00
4.00		2270.95	532.16	0.00
5.00		2682.07	493.65	0.00
6.00		3028.89	455.97	0.00
7.00		3312.24	419.10	0.00
8.00		3532.95	383.04	0.00
9.00		3691.01	347.79	0.00
10.00		3786.42	313.35	0.00
11.00		3818.56	223.52	0.00
11.20	mezzeria	3817.49	-176.46	0.00
12.00		3806.12	-299.81	0.00
13.00		3736.26	-333.92	0.00
14.00		3603.76	-368.85	0.00
15.00		3409.07	-404.57	0.00
16.00		3150.81	-441.11	0.00
17.00		2827.89	-478.49	0.00
18.00		2442.32	-516.67	0.00
19.00		1994.11	-555.65	0.00
20.00		1483.25	-595.45	0.00
21.00		909.74	-636.05	0.00
22.00		271.94	-677.48	0.00
22.40	appoggio	0.00	-694.27	0.00

17.1.4 In fase di sollevamento

Coefficiente di incremento dinamico 0.15

Sez.X	Descrizione	M max	M min
-0.50		0.00	0.00
0.10	aggancio	-3.82	-5.17
0.50		86.55	63.97
1.50		296.14	218.88
2.50		481.18	355.65
3.50		646.10	477.55
4.50		791.06	584.70
5.50		915.93	676.99
6.50		1020.19	754.05
7.50		1104.81	816.60
8.50		1168.83	863.92
9.50		1213.21	896.72
10.50		1237.63	914.77
11.50		1241.44	917.59
12.50		1225.16	905.55
13.50		1188.92	878.77
14.50		1132.72	837.23
15.50		1056.56	780.94
16.50		960.05	709.60
17.50		843.19	623.23
18.50		706.37	522.10
19.50		549.59	406.22
20.50		372.85	275.59
21.50		174.09	128.67
22.30	aggancio	-3.82	-5.17
22.90		0.00	0.00

17.2 Valori di combinazione

17.2.1 Combinazioni SLU

17.2.1.1 Al taglio dei trefoli

$$E_d = E\{ \gamma_{G1,sup} \cdot G_{1,k,1} \}$$

$$E_d = E\{ \gamma_{G1,inf} \cdot G_{1,k,1} \}$$

Sez.X	Descrizione	M	V
0.00	appoggio	0.00	280.03
1.00		262.63	246.32
2.00		493.18	217.15
3.00		698.49	193.54
4.00		880.38	169.94
5.00		1038.84	146.34
6.00		1173.25	122.74
7.00		1283.93	99.13
8.00		1371.17	75.53
9.00		1434.98	51.93
10.00		1475.37	28.32
11.00		1492.09	4.72
11.20	mezzeria	1492.63	0.00
12.00		1484.62	-18.88
13.00		1453.79	-42.49
14.00		1399.53	-66.09
15.00		1322.02	-89.69

Sez.X	Descrizione	M	V
16.00		1220.73	-113.29
17.00		1095.26	-136.90
18.00		946.35	-160.50
19.00		774.02	-184.10
20.00		578.26	-207.71
21.00		358.58	-234.79
22.00		108.93	-266.54
22.40	appoggio	0.00	-280.03

17.2.1.2 In fase di sollevamento

$$E_d = E\{ \gamma_{G1,sup} \cdot G1_{k,1} \cdot \Phi_{din,sup} \}$$

$$E_d = E\{ \gamma_{G1,inf} \cdot G1_{k,1} \cdot \Phi_{din,inf} \}$$

Sez.X	Descrizione	Mmax	Mmin
0.00	appoggio	-2.65	-4.85
1.00		263.04	144.02
2.00		528.16	289.17
3.00		764.28	418.45
4.00		973.45	532.97
5.00		1155.68	632.74
6.00		1310.25	717.37
7.00		1437.53	787.05
8.00		1537.86	841.98
9.00		1611.24	882.16
10.00		1657.69	907.59
11.00		1676.92	918.12
11.20	mezzeria	1677.54	918.46
12.00		1668.32	913.41
13.00		1632.87	894.00
14.00		1570.47	859.84
15.00		1481.33	811.04
16.00		1364.85	747.26
17.00		1220.56	668.26
18.00		1049.32	574.51
19.00		851.14	466.00
20.00		626.01	342.75
21.00		373.37	204.42
22.00		86.68	47.08
22.40	appoggio	-2.65	-4.85

17.2.1.3 Al getto soletta

$$E_d = E\{ \sum \gamma_{G1,sup} \cdot G1_{k,i} + \sum \gamma_{G2,sup} \cdot G2_{k,i} \}$$

$$E_d = E\{ \sum \gamma_{G1,inf} \cdot G1_{k,i} + \sum \gamma_{G2,inf} \cdot G2_{k,i} \}$$

Sez.X	Descrizione	M	V
0.00	appoggio	0.00	902.30
1.00		857.04	814.58
2.00		1628.38	731.40
3.00		2320.87	653.79
4.00		2936.33	576.18
5.00		3474.75	498.57

RELAZIONE DI CALCOLO IMPALCATO CAP

COMMESSA	LOTTO	CODIFICA	DOCUMENTO	REV.	FOGLIO
RS3T	30	D09CL	IV0100002	B	67 di 99

Sez.X	Descrizione	M	V
6.00		3934.10	420.95
7.00		4315.39	343.34
8.00		4612.69	248.36
9.00		4822.53	170.75
10.00		4955.32	93.13
11.00		5010.32	15.52
11.20	mezzeria	5012.09	0.00
12.00		4985.73	-62.09
13.00		4884.36	-139.70
14.00		4705.95	-217.31
15.00		4447.59	-307.09
16.00		4097.16	-389.91
17.00		3667.21	-467.52
18.00		3160.21	-545.13
19.00		2576.18	-622.74
20.00		1915.11	-700.36
21.00		1176.49	-781.45
22.00		352.90	-867.21
22.40	appoggio	0.00	-902.30

17.2.1.4 Seconda fase P/T

$$E_d = E\{ \sum \gamma_{G1,sup} \cdot G1_{k,i} + \sum \gamma_{G2,sup} \cdot G2_{k,i} \}$$

$$E_d = E\{ \sum \gamma_{G1,inf} \cdot G1_{k,i} + \sum \gamma_{G2,inf} \cdot G2_{k,i} \}$$

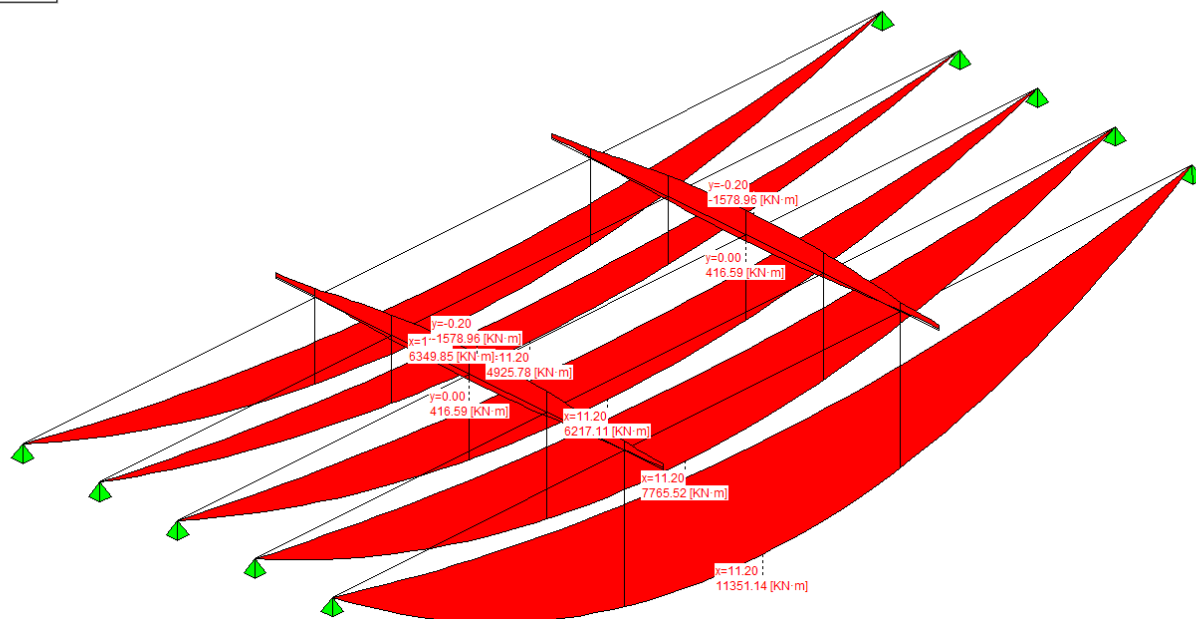
$$E_d = E\{ \sum \gamma_{G1,sup} \cdot G1_{k,i} + \sum \gamma_{G2,sup} \cdot G2_{k,i} + \gamma_{Q,traffico} \cdot Q_{k,gruppo 1} \}$$

$$E_d = E\{ \sum \gamma_{G1,inf} \cdot G1_{k,i} + \sum \gamma_{G2,inf} \cdot G2_{k,i} + \gamma_{Q,traffico} \cdot Q_{k,gruppo 1} \}$$

Sez.X	Descrizione	M	V	T
0.00	appoggio	0.00	2051.25	0.00
1.00		1952.28	1888.28	0.00
2.00		3715.52	1730.94	0.00
3.00		5296.59	1580.27	0.00
4.00		6697.28	1430.68	0.00
5.00		7917.60	1282.18	0.00
6.00		8952.79	1134.79	0.00
7.00		9805.23	988.51	0.00
8.00		10470.35	825.95	0.00
9.00		10944.66	681.85	0.00
10.00		11238.60	538.83	0.00
11.00		11350.38	321.06	0.00
11.20	mezzeria	11351.14	-238.23	0.00
12.00		11303.01	-481.95	0.00
13.00		11082.65	-624.52	0.00
14.00		10681.91	-768.18	0.00
15.00		10098.65	-925.08	0.00
16.00		9318.45	-1076.13	0.00
17.00		8352.08	-1223.10	0.00
18.00		7205.34	-1371.16	0.00
19.00		5878.23	-1520.30	0.00
20.00		4370.73	-1670.54	0.00
21.00		2682.36	-1825.34	0.00
22.00		802.96	-1985.93	0.00
22.40	appoggio	0.00	-2051.25	0.00

- peso trave
- peso soletta+traversi
- fase 1 - lineari per trave
- peso cordoli
- permanenti portati
- Traffico: tandem TS
- Traffico: distribuito UDL
- Traffico: folla sui marciapiedi
- Traffico: folla in carreggiata
- Traffico: gruppo 1

- Trave 1
- Trave 2
- Trave 3
- Trave 4
- Trave 5
- Traverso 1
- Traverso 2
- Appoggi



17.2.2 Combinazioni SLE

17.2.2.1 Al taglio dei trefoli

$$E_d = E\{ G_{1,k,1} \}$$

Sez.X	Descrizione	M	V
0.00	appoggio	0.00	207.43
1.00		194.54	182.46
2.00		365.32	160.85
3.00		517.40	143.37
4.00		652.13	125.88
5.00		769.51	108.40
6.00		869.08	90.92
7.00		951.06	73.43
8.00		1015.68	55.95
9.00		1062.95	38.46
10.00		1092.87	20.98
11.00		1105.26	3.50
11.20	mezzeria	1105.65	0.00
12.00		1099.72	-13.99
13.00		1076.88	-31.47
14.00		1036.69	-48.95
15.00		979.27	-66.44
16.00		904.24	-83.92
17.00		811.30	-101.41
18.00		701.00	-118.89
19.00		573.35	-136.37
20.00		428.34	-153.86
21.00		265.61	-173.92
22.00		80.69	-197.44
22.40	appoggio	0.00	-207.43

17.2.2.2 In fase di sollevamento

$$E_d = E\{ G1_{k,1} \cdot \varphi_{din,sup} \}$$

$$E_d = E\{ G1_{k,1} \cdot \varphi_{din,inf} \}$$

Sez.X	Descrizione	Mmax	Mmin
0.00	appoggio	-2.65	-3.59
1.00		194.85	144.02
2.00		391.23	289.17
3.00		566.13	418.45
4.00		721.07	532.97
5.00		856.06	632.74
6.00		970.56	717.37
7.00		1064.83	787.05
8.00		1139.15	841.98
9.00		1193.51	882.16
10.00		1227.92	907.59
11.00		1242.16	918.12
11.20	mezzeria	1242.62	918.46
12.00		1235.79	913.41
13.00		1209.53	894.00
14.00		1163.31	859.84
15.00		1097.28	811.04
16.00		1011.00	747.26
17.00		904.12	668.26
18.00		777.27	574.51
19.00		630.47	466.00
20.00		463.71	342.75
21.00		276.57	204.42
22.00		64.21	47.08
22.40	appoggio	-2.65	-3.59

17.2.2.3 Al getto soletta

$$E_d = E\{ \sum G1_{k,i} + \sum G2_{k,i} \}$$

Sez.X	Descrizione	M	V
0.00	appoggio	0.00	668.37
1.00		634.84	603.39
2.00		1206.20	541.78
3.00		1719.17	484.29
4.00		2175.06	426.80
5.00		2573.89	369.31
6.00		2914.15	311.82
7.00		3196.58	254.33
8.00		3416.81	183.97
9.00		3572.24	126.48
10.00		3670.61	68.99
11.00		3711.34	11.50
11.20	mezzeria	3712.66	0.00
12.00		3693.14	-45.99
13.00		3618.05	-103.48
14.00		3485.89	-160.97
15.00		3294.51	-227.47



DIRETTRICE FERROVIARIA MESSINA – CATANIA – PALERMO
NUOVO COLLEGAMENTO PALERMO – CATANIA
TRATTA LERCARA DIRAMAZIONE – CALTANISSETTA (LOTTO 3A)
Viadotto IV01

RELAZIONE DI CALCOLO IMPALCATO CAP

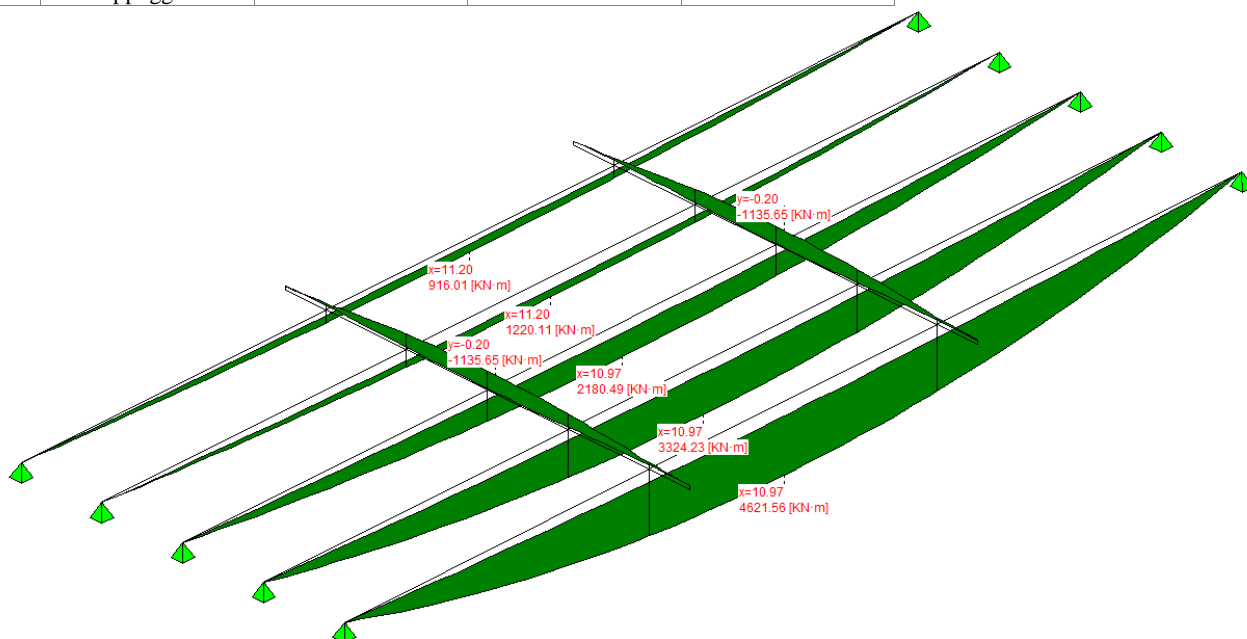
COMMESSA	LOTTO	CODIFICA	DOCUMENTO	REV.	FOGLIO
RS3T	30	D09CL	IV0100002	B	70 di 99

Sez.X	Descrizione	M	V
16.00		3034.93	-288.82
17.00		2716.45	-346.31
18.00		2340.90	-403.80
19.00		1908.28	-461.29
20.00		1418.60	-518.78
21.00		871.48	-578.85
22.00		261.41	-642.38
22.40	appoggio	0.00	-668.37

17.2.2.4 Seconda fase - S.L.E. Rara 2^a fase

$$E_d = E \{ \sum G_{1,k,2}^a \text{ fase} + \sum G_{2,k,2}^a \text{ fase} + Q_{k,\text{gruppo 1}} \}$$

Sez.X	Descrizione	M	V	T
0.00	appoggio	0.00	837.69	0.00
1.00		798.53	783.15	0.00
2.00		1521.69	729.41	0.00
3.00		2169.50	676.48	0.00
4.00		2741.95	624.36	0.00
5.00		3239.04	573.05	0.00
6.00		3658.79	522.56	0.00
7.00		4002.19	472.89	0.00
8.00		4270.23	424.02	0.00
9.00		4462.91	375.97	0.00
10.00		4580.23	328.71	0.00
11.00		4621.45	226.08	0.00
11.20	mezzeria	4620.67	-176.46	0.00
12.00		4604.95	-310.05	0.00
13.00		4518.36	-356.97	0.00
14.00		4356.42	-404.70	0.00
15.00		4119.68	-453.23	0.00
16.00		3806.46	-502.58	0.00
17.00		3415.47	-552.76	0.00
18.00		2949.11	-603.75	0.00
19.00		2407.40	-655.54	0.00
20.00		1790.33	-708.14	0.00
21.00		1097.91	-761.55	0.00
22.00		328.14	-815.78	0.00
22.40	appoggio	0.00	-837.69	0.00

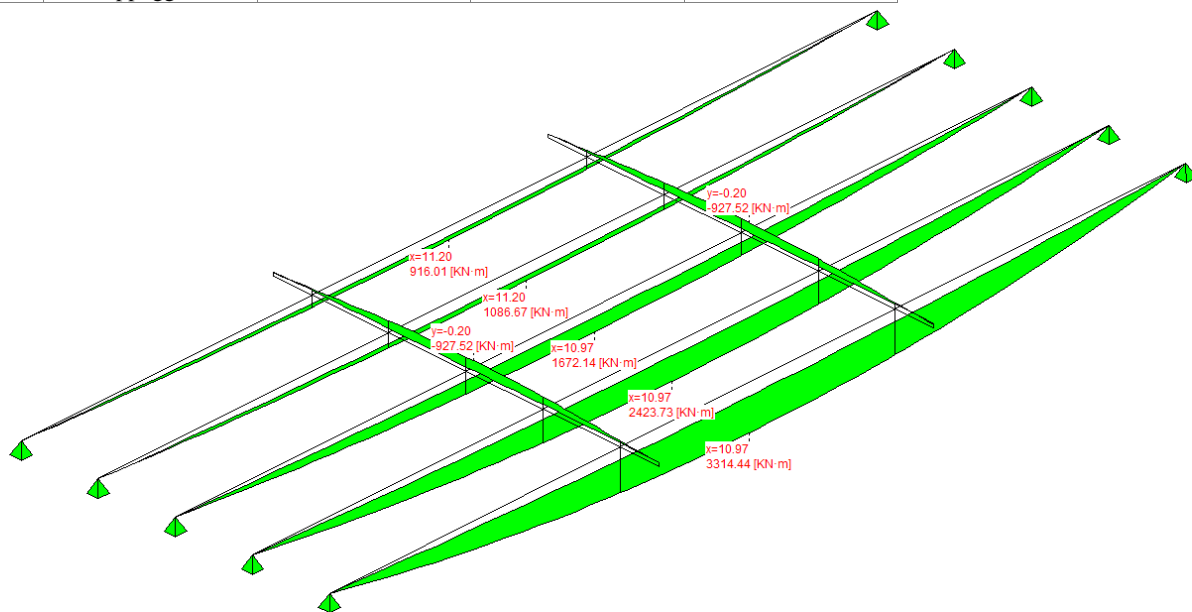


- nessuna combinazione
- S.L.U. Persistenti e transitorie
- S.L.U. Situazioni Accidentali
- S.L.E. Rara 2^a fase
- S.L.E. Frequente 2^a fase
- S.L.E. Quasi permanente 2^a fase
- S.L.U. Sismica

17.2.2.5 Seconda fase - S.L.E. Frequente 2^a fase

$$E_d = E\{ \sum G_{1,k,2}^a \text{ fase} + \sum G_{2,k,2}^a \text{ fase} + \psi_1 \cdot Q_{k,\text{gruppo } 1} \}$$

Sez.X	Descrizione	M	V	T
0.00	appoggio	0.00	601.16	0.00
1.00		573.04	562.53	0.00
2.00		1091.96	524.22	0.00
3.00		1556.76	486.23	0.00
4.00		1967.45	448.57	0.00
5.00		2324.02	411.22	0.00
6.00		2625.05	374.21	0.00
7.00		2871.25	337.53	0.00
8.00		3063.33	301.16	0.00
9.00		3201.30	265.12	0.00
10.00		3285.15	229.41	0.00
11.00		3314.35	152.10	0.00
11.20	mezzeria	3313.71	-148.33	0.00
12.00		3302.74	-215.22	0.00
13.00		3240.96	-250.80	0.00
14.00		3125.07	-286.71	0.00
15.00		2955.46	-322.94	0.00
16.00		2730.93	-359.49	0.00
17.00		2450.55	-396.38	0.00
18.00		2116.06	-433.59	0.00
19.00		1727.44	-471.13	0.00
20.00		1284.71	-508.98	0.00
21.00		787.87	-547.16	0.00
22.00		235.48	-585.67	0.00
22.40	appoggio	0.00	-601.16	0.00

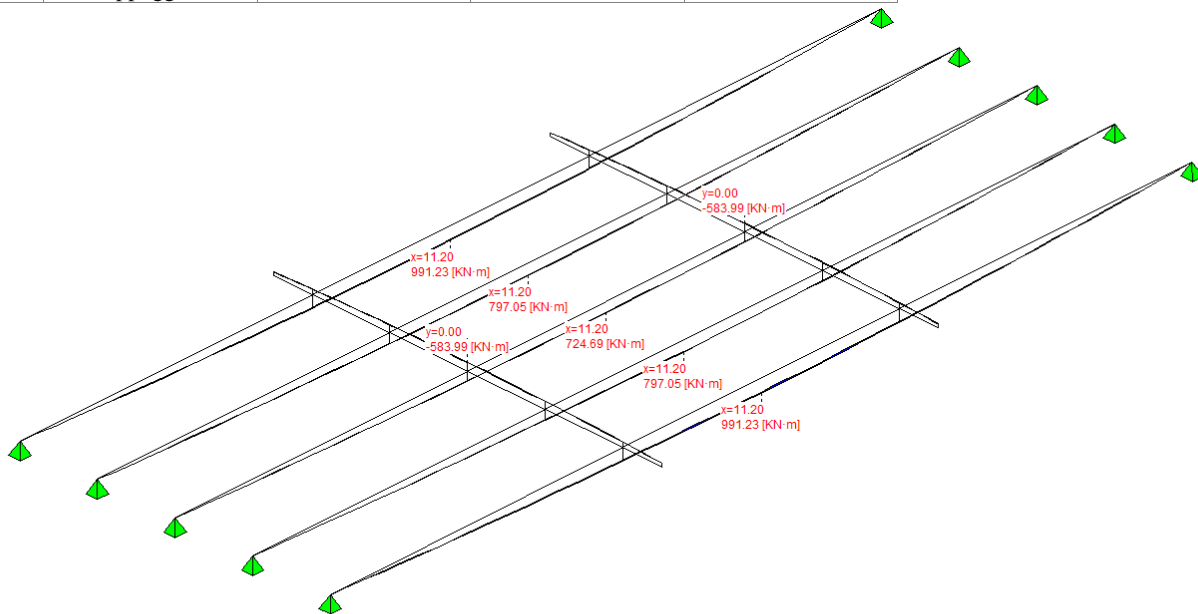


- nessuna combinazione
- S.L.U. Persistenti e transitorie
- S.L.U. Situazioni Accidentali
- S.L.E. Rara 2^a fase
- S.L.E. Frequente 2^a fase
- S.L.E. Quasi permanente 2^a fase
- S.L.U. Sismica

17.2.2.6 Seconda fase - S.L.E. Quasi permanente 2^a fase

$$E_d = E\{ \sum G_{1,k,2}^a \text{ fase} + \sum G_{2,k,2}^a \text{ fase} + \psi_2 \cdot Q_{k,\text{gruppo } 1} \}$$

Sez.X	Descrizione	M	V	T
0.00	appoggio	0.00	177.00	0.00
1.00		168.85	161.20	0.00
2.00		322.01	145.40	0.00
3.00		459.49	129.59	0.00
4.00		581.28	113.79	0.00
5.00		687.38	97.98	0.00
6.00		777.38	82.18	0.00
7.00		851.48	66.38	0.00
8.00		909.90	50.57	0.00
9.00		952.63	34.77	0.00
10.00		979.67	18.96	0.00
11.00		990.87	3.16	0.00
11.20	mezzeria	991.23	0.00	0.00
12.00		985.86	-12.64	0.00
13.00		965.22	-28.45	0.00
14.00		928.89	-44.25	0.00
15.00		876.99	-60.06	0.00
16.00		809.17	-75.86	0.00
17.00		725.15	-91.66	0.00
18.00		625.45	-107.47	0.00
19.00		510.06	-123.27	0.00
20.00		378.99	-139.08	0.00
21.00		232.22	-154.88	0.00
22.00		69.36	-170.68	0.00
22.40	appoggio	0.00	-177.00	0.00



- nessuna combinazione
- S.L.U. Persistenti e transitorie
- S.L.U. Situazioni Accidentali
- S.L.E. Rara 2^a fase
- S.L.E. Frequente 2^a fase
- S.L.E. Quasi permanente 2^a fase
- S.L.U. Sismica

18 SOLLECITAZIONI SUL TRAVERSO IN CAMPATA

Vengono valutati i momenti flettenti massimi e minimi agenti sul traverso in campata per effetto dei carichi permanenti e del transito dei carichi da traffico.

18.1 Valori caratteristici M

18.1.1 Carichi permanenti

Sez.	Descrizione	peso cordoli	Perm Portati
-5.00	estremità dx	-91.58	-133.34
-4.00		-147.92	-201.49
-3.00		-188.20	-249.85
-2.00		-215.00	-281.82
-1.00		-230.27	-299.96
0.00	asse travi	-235.22	-305.83
1.00		-230.27	-299.96
2.00		-215.00	-281.82
3.00		-188.20	-249.85
4.00		-147.92	-201.49
5.00	estremità sx	-91.58	-133.34

18.1.2 Carichi da traffico

Sez.	Descrizione	Tandem-TS	
		Mmax	Mmin
-5.00	estremità dx	0.00	0.00
-4.00		50.40	-17.05
-3.00		138.63	-147.97
-2.00		154.49	-269.64
-1.00		204.01	-336.34
0.00	asse travi	214.74	-350.82
1.00		204.01	-336.34
2.00		154.49	-269.64
3.00		136.18	-147.97
4.00		35.50	-17.05
5.00	estremità sx	0.00	0.00

Sez.	Descrizione	Distribuito-UDL	
		Mmax	Mmin
-5.00	estremità dx	0.00	-0.55
-4.00		32.88	-35.29
-3.00		93.81	-108.17
-2.00		206.21	-165.42
-1.00		253.20	-198.76
0.00	asse travi	268.08	-197.73
1.00		253.20	-198.76
2.00		206.21	-165.42
3.00		94.61	-89.00
4.00		24.20	-25.29
5.00	estremità sx	0.00	0.00

Sez.	Descrizione	Folla Marciapiedi	
		Mmax	Mmin
-5.00	estremità dx	0.00	-103.54
-4.00		0.00	-148.72

Sez.	Descrizione	Folla Marciapiedi	
		Mmax	Mmin
-3.00		0.00	-180.45
-2.00		0.00	-197.70
-1.00		0.00	-210.55
0.00	asse travi	0.00	-214.71
1.00		0.00	-210.55
2.00		0.00	-197.70
3.00		0.00	-175.06
4.00		0.00	-140.84
5.00	estremità sx	0.00	-92.65

Sez.	Descrizione	gruppo 1 (tab.5.1.IV)	
		Mmax	Mmin
-5.00	estremità dx	0.00	-46.33
-4.00		83.28	-112.77
-3.00		232.44	-324.50
-2.00		360.70	-533.90
-1.00		457.21	-640.38
0.00	asse travi	482.83	-655.91
1.00		457.21	-640.38
2.00		360.70	-533.90
3.00		230.79	-324.50
4.00		59.70	-112.77
5.00	estremità sx	0.00	-46.33

18.2 Combinazioni SLU

Nelle combinazioni seguenti vengono sommati effetti globali ed effetti locali.

18.2.1 Persistenti/Transitorie

$$E_d = E\{ \sum \gamma_{G1,sup} \cdot G1_{k,i} + \sum \gamma_{G2,sup} \cdot G2_{k,i} \}$$

$$E_d = E\{ \sum \gamma_{G1,inf} \cdot G1_{k,i} + \sum \gamma_{G2,inf} \cdot G2_{k,i} \}$$

$$E_d = E\{ \sum \gamma_{G1,sup} \cdot G1_{k,i} + \sum \gamma_{G2,sup} \cdot G2_{k,i} + \gamma_{Q,traffico} \cdot Q_{k,gruppo 1} \}$$

$$E_d = E\{ \sum \gamma_{G1,inf} \cdot G1_{k,i} + \sum \gamma_{G2,inf} \cdot G2_{k,i} + \gamma_{Q,traffico} \cdot Q_{k,gruppo 1} \}$$

Sez.	Descrizione	Mmax	Mmin
-5.00	estremità dx	-91.58	-348.66
-4.00		-35.50	-597.13
-3.00		125.60	-996.02
-2.00		271.95	-1353.68
-1.00		386.97	-1540.04
0.00	asse travi	416.59	-1574.81
1.00		386.97	-1540.04
2.00		271.95	-1353.68
3.00		123.37	-996.02
4.00		-67.33	-597.13
5.00	estremità sx	-91.58	-348.66

18.3 Combinazioni SLE

18.3.1 Combinazioni Rare

$$E_d = E\{ \sum G1_{k,2}^a \text{ fase} + \sum G2_{k,2}^a \text{ fase} + Q_{k,gruppo 1} \}$$

Sez.	Descrizione	Mmax	Mmin
-5.00	estremità dx	-224.92	-243.45
-4.00		-266.14	-419.93
-3.00		-205.61	-710.03
-2.00		-136.12	-971.41
-1.00		-73.02	-1107.44
0.00	asse travi	-58.22	-1132.54
1.00		-73.02	-1107.44
2.00		-136.12	-971.41
3.00		-207.26	-710.03
4.00		-289.72	-419.93
5.00	estremità sx	-224.92	-243.45

18.3.2 Combinazioni Frequenti

$$E_d = E\{ \sum G_{1,k,2}^a \text{ fase} + \sum G_{2,k,2}^a \text{ fase} + \psi_1 \cdot Q_{k,\text{gruppo } 1} \}$$

Sez.	Descrizione	Mmax	Mmin
-5.00	estremità dx	-224.92	-243.45
-4.00		-298.47	-400.49
-3.00		-296.55	-619.64
-2.00		-298.47	-804.75
-1.00		-275.94	-904.10
0.00	asse travi	-272.76	-926.20
1.00		-275.94	-904.10
2.00		-298.47	-804.75
3.00		-298.07	-619.64
4.00		-313.11	-400.49
5.00	estremità sx	-224.92	-243.45

18.3.3 Combinazioni Quasi Permanenti

$$E_d = E\{ \sum G_{1,k,2}^a \text{ fase} + \sum G_{2,k,2}^a \text{ fase} + \psi_2 \cdot Q_{k,\text{gruppo } 1} \}$$

Sez.	Descrizione	Mmax	Mmin
-5.00	estremità dx	-224.92	-243.45
-4.00		-349.42	-377.59
-3.00		-438.05	-473.06
-2.00		-496.82	-536.36
-1.00		-530.23	-572.34
0.00	asse travi	-541.05	-583.99
1.00		-530.23	-572.34
2.00		-496.82	-536.36
3.00		-438.05	-473.06
4.00		-349.42	-377.59
5.00	estremità sx	-224.92	-243.45

19 SOLLECITAZIONI SULLA SOLETTA

19.1 Valori caratteristici

Il momento massimo trasversale dato dall'effetto locale dei carichi sulla soletta viene determinato servendosi di uno schema semplificato di trave semi incastrata e prendendo il momento in mezzeria.

	DIRETTRICE FERROVIARIA MESSINA – CATANIA – PALERMO NUOVO COLLEGAMENTO PALERMO – CATANIA TRATTA LERCARA DIRAMAZIONE – CALTANISSETTA (LOTTO 3A) Viadotto IV01					
	RELAZIONE DI CALCOLO IMPALCATO CAP	COMMESSA RS3T	LOTTO 30	CODIFICA D09CL	DOCUMENTO IV0100002	REV. B

I carichi permanenti considerati sono il peso proprio della soletta (G1) e della pavimentazione (G2).

La ricerca del massimo momento flettente generato dai carichi mobili viene condotta considerando il carico LM2 illustrato nella Normativa al punto 5.1.3.3.5.

Tale schema, considerato autonomamente e assunto a riferimento solo per verifiche locali, è costituito da un singolo asse applicato su specifiche impronte di pneumatico (di dimensioni 0.35x0.60 [m]) poste ad un interasse di 2.00 [m]: il carico totale asse è pari a 400.00 [KN]

I carichi concentrati da considerarsi ai fini delle verifiche locali si assumono uniformemente distribuiti sulla superficie della rispettiva impronta. La diffusione attraverso la pavimentazione e lo spessore della soletta si considera avvenire attraverso una diffusione a 45°, fino al piano medio della struttura della soletta sottostante

Il momento minimo dato dall'effetto locale, invece, viene valutato come uno schema statico di trave perfettamente incastrata.

Luce Soletta	1.20
Carico per ruota - schema 2	200.00
Interasse ruote	2.00
Dimensioni impronta ruota LX x BY	0.35x0.60
Larghezza impronta a metà spessore soletta	0.86
Lunghezza influenza	2.00

Momento flettente trasversale [KN·m/m] (positivo tende le fibre inferiori):

	M max	M min
effetto locale permanenti strutturali	1.66	-1.11
effetto locale permanenti non strutturali	0.54	-0.36
effetto locale LM2	13.03	-12.43
M tot. effetto locale	15.24	-13.90

19.2 Combinazioni SLU

19.2.1 Persistenti/Transitorie

$$E_d = E\{ \sum \gamma_{G1,sup} \cdot G1_{k,i} + \sum \gamma_{G2,sup} \cdot G2_{k,i} \}$$

$$E_d = E\{ \sum \gamma_{G1,inf} \cdot G1_{k,i} + \sum \gamma_{G2,inf} \cdot G2_{k,i} \}$$

$$E_d = E\{ \sum \gamma_{G1,sup} \cdot G1_{k,i} + \sum \gamma_{G2,sup} \cdot G2_{k,i} + \gamma_{Q,traffico} \cdot Q_{k,gruppo 1} \}$$

$$E_d = E\{ \sum \gamma_{G1,inf} \cdot G1_{k,i} + \sum \gamma_{G2,inf} \cdot G2_{k,i} + \gamma_{Q,traffico} \cdot Q_{k,gruppo 1} \}$$

$$M \max = 20.65$$

$$M \min = -18.82$$

19.3 Combinazioni SLE

19.3.1 Combinazioni Rare

$$E_d = E\{ \sum G1_{k,2}^a \text{ fase} + \sum G2_{k,2}^a \text{ fase} + Q_{k,gruppo 1} \}$$

$$M \max = 15.24$$

M min = -13.90

19.3.2 Combinazioni Frequenti

$$E_d = E\{ \sum G1_{k,2}^a \text{ fase} + \sum G2_{k,2}^a \text{ fase} + \psi_1 \cdot Q_{k,\text{gruppo 1}} \}$$

M max = 11.98

M min = -10.79

19.3.3 Combinazioni Quasi Permanenti

$$E_d = E\{ \sum G1_{k,2}^a \text{ fase} + \sum G2_{k,2}^a \text{ fase} + \psi_2 \cdot Q_{k,\text{gruppo 1}} \}$$

M max = 2.20

M min = -1.47

20 REAZIONI MASSIME AGLI APPOGGI

20.1 Forze Orizzontali

Azione del vento :		
Altezza barriera	3.00	[m]
Pressione cinetica	2.50	[KN/m ²]
Forza totale sull'impalcato F _{yw}	288.99	[KN]
Azione longitudinale di frenamento q ₃ :		
Forza totale sull'impalcato F _{xq}	420.48	[KN]
Azione centrifuga Q ₄ :		
Raggio di curvatura	0.00	[m]
Forza totale sull'impalcato F _{yq}	0.00	[KN]

20.2 Valori caratteristici reazioni verticali

20.2.1 Carichi di 1a fase

Trave	peso trave	peso soletta+traversi
1	219.92	485.31
2	219.92	233.69
3	219.92	233.68
4	219.92	233.68
5	219.92	485.31

20.2.2 Carichi permanenti di 2a fase

Trave	peso cordoli	permanenti portati+extra2
1	45.08	125.79
2	32.23	108.84
3	27.68	102.86
4	32.23	108.84
5	45.08	125.79

20.2.3 Carichi da traffico

Trave	Tandem-TS	Distribuito-UDL	Folla Marciapiedi
1	456.81	203.88	39.18
2	322.95	137.11	27.38
3	191.52	73.66	23.22
4	63.16	14.12	27.38
5	-61.62	-42.80	39.18

20.3 Combinazioni

20.3.1 Combinazioni SLU P/T

$$E_d = E\{ \sum \gamma_{G1,inf} \cdot G_{1k,i} + \sum \gamma_{G2,inf} \cdot G_{2k,i} \}$$

$$E_d = E\{ \sum \gamma_{G1,sup} \cdot G_{1k,i} + \sum \gamma_{G2,sup} \cdot G_{2k,i} + \gamma_{Q,traffico} \cdot Q_{k,gruppo 1} + \psi_0 \cdot \gamma_w \cdot W_k \}$$

$$E_d = E\{ \sum \gamma_{G1,sup} \cdot G_{1k,i} + \sum \gamma_{G2,sup} \cdot G_{2k,i} + \gamma_w \cdot W_k + \psi_0 \cdot \gamma_{Q,traffico} \cdot Q_{k,gruppo 1} \}$$

RELAZIONE DI CALCOLO IMPALCATO CAP

COMMESSA	LOTTO	CODIFICA	DOCUMENTO	REV.	FOGLIO
RS3T	30	D09CL	IV0100002	B	80 di 99

Trave	Rz max	Rz min
1	2119.98	1201.60
2	1458.70	819.13
3	1177.70	804.02
4	941.95	819.13
5	1126.68	1201.60

Reazione laterale su spalla $R_y = 216.74$

Reazione longitudinale totale $R_x = 567.65$

20.3.2 SLE Rare

$$E_d = E\{ \sum G_{1,k,i} + \sum G_{2,k,i} + Q_{k,gruppo\ 1} + \psi_{0,W} \cdot W_k \}$$

$$E_d = E\{ \sum G_{1,k,i} + \sum G_{2,k,i} + W_k + \psi_0 \cdot Q_{k,gruppo\ 2} \}$$

$$E_d = E\{ \sum G_{1,k,i} + \sum G_{2,k,i} + Q_{k,gruppo\ 2} + \psi_{0,W} \cdot W_k \}$$

Trave	Rz max	Rz min
1	1556.38	876.10
2	1068.42	594.67
3	860.94	584.14
4	685.65	594.67
5	876.10	791.27

Reazione laterale su spalla $R_y = 144.50$

Reazione longitudinale totale $R_x = 420.48$

20.3.3 SLE Frequenti

$$E_d = E\{ \sum G_{1,k,i} + \sum G_{2,k,i} + \psi_1 \cdot Q_{k,gruppo\ 1} + \psi_{2,W} \cdot W_k \}$$

$$E_d = E\{ \sum G_{1,k,i} + \sum G_{2,k,i} + \psi_{1,W} \cdot W_k + \psi_2 \cdot Q_{k,gruppo\ 2} \}$$

$$E_d = E\{ \sum G_{1,k,i} + \sum G_{2,k,i} + \psi_1 \cdot Q_{k,gruppo\ 2} + \psi_{2,W} \cdot W_k \}$$

Trave	Rz max	Rz min
1	1308.09	876.10
2	897.21	594.67
3	761.90	584.14
4	653.17	594.67
5	876.10	820.60

Reazione laterale su spalla $R_y = 28.90$

Reazione longitudinale totale $R_x = 0.00$

20.3.4 SLE Quasi permanenti

$$E_d = E\{ \sum G_{1,k,i} + \sum G_{2,k,i} + \psi_2 \cdot Q_{k,gruppo\ 1} + \psi_{2,W} \cdot W_k \}$$

$$E_d = E\{ \sum G_{1,k,i} + \sum G_{2,k,i} + \psi_2 \cdot Q_{k,gruppo\ 2} + \psi_{2,W} \cdot W_k \}$$

Trave	Rz max	Rz min
1	876.10	876.10
2	594.67	594.67

Trave	Rz max	Rz min
3	584.14	584.14
4	594.67	594.67
5	876.10	876.10

Reazione laterale su spalla $R_y = 0.00$

Reazione longitudinale totale $R_x = 0.00$

20.3.4.1 Carichi da traffico (disposizione per N max su sottostrutture)

Trave	Tandem-TS	Distribuito-UDL	Folla Marciapiedi
1	277.72	87.47	39.65
2	267.86	97.24	27.22
3	247.28	101.92	22.74
4	210.79	97.24	27.22
5	165.93	87.47	39.65

20.4 Combinazioni

20.4.1 Combinazioni SLU P/T

$$E_d = E\{ \sum \gamma_{G1,inf} \cdot G_{1k,i} + \sum \gamma_{G2,inf} \cdot G_{2k,i} \}$$

$$E_d = E\{ \sum \gamma_{G1,sup} \cdot G_{1k,i} + \sum \gamma_{G2,sup} \cdot G_{2k,i} + \gamma_{Q,traffico} \cdot Q_{k,gruppo 1} + \psi_0 \cdot \gamma_w \cdot W_k \}$$

$$E_d = E\{ \sum \gamma_{G1,sup} \cdot G_{1k,i} + \sum \gamma_{G2,sup} \cdot G_{2k,i} + \gamma_w \cdot W_k + \psi_0 \cdot \gamma_{Q,traffico} \cdot Q_{k,gruppo 1} \}$$

Trave	Rz max	Rz min
1	1480.44	960.66
2	1263.90	752.64
3	1225.06	738.28
4	1186.85	752.64
5	1329.52	960.66

Reazione laterale su spalla $R_y = 214.33$

Reazione longitudinale totale $R_x = 567.65$

20.4.2 SLE Rare

$$E_d = E\{ \sum G_{1k,i} + \sum G_{2k,i} + Q_{k,gruppo 1} + \psi_{0,w} \cdot W_k \}$$

$$E_d = E\{ \sum G_{1k,i} + \sum G_{2k,i} + W_k + \psi_0 \cdot Q_{k,gruppo 2} \}$$

$$E_d = E\{ \sum G_{1k,i} + \sum G_{2k,i} + Q_{k,gruppo 2} + \psi_{0,w} \cdot W_k \}$$

Trave	Rz max	Rz min
1	1084.30	699.29
2	925.55	546.84
3	897.37	536.79
4	868.48	546.84
5	972.51	699.29

Reazione laterale su spalla $R_y = 142.89$

Reazione longitudinale totale $R_x = 420.48$

20.4.3 SLE Frequenti

$$E_d = E\{ \sum G_{1,k,i} + \sum G_{2,k,i} + \psi_{1,W} \cdot Q_{k,gruppo\ 1} + \psi_{2,W} \cdot W_k \}$$

$$E_d = E\{ \sum G_{1,k,i} + \sum G_{2,k,i} + \psi_{1,W} \cdot W_k + \psi_{2,W} \cdot Q_{k,gruppo\ 2} \}$$

$$E_d = E\{ \sum G_{1,k,i} + \sum G_{2,k,i} + \psi_{1,W} \cdot Q_{k,gruppo\ 2} + \psi_{2,W} \cdot W_k \}$$

Trave	Rz max	Rz min
1	950.50	699.29
2	792.08	546.84
3	767.57	536.79
4	749.27	546.84
5	866.65	699.29

Reazione laterale su spalla $R_y = 28.58$

Reazione longitudinale totale $R_x = 0.00$

20.4.4 SLE Quasi permanenti


$$E_d = E\{ \sum G_{1,k,i} + \sum G_{2,k,i} + \psi_{2,W} \cdot Q_{k,gruppo\ 1} + \psi_{2,W} \cdot W_k \}$$

$$E_d = E\{ \sum G_{1,k,i} + \sum G_{2,k,i} + \psi_{2,W} \cdot Q_{k,gruppo\ 2} + \psi_{2,W} \cdot W_k \}$$

Trave	Rz max	Rz min
1	699.29	699.29
2	546.84	546.84
3	536.79	536.79
4	546.84	546.84
5	699.29	699.29

Reazione laterale su spalla $R_y = 0.00$

Reazione longitudinale totale $R_x = 0.00$

 ITALFERR GRUPPO FERROVIE DELLO STATO ITALIANE	DIRETTRICE FERROVIARIA MESSINA – CATANIA – PALERMO NUOVO COLLEGAMENTO PALERMO – CATANIA TRATTA LERCARA DIRAMAZIONE – CALTANISSETTA (LOTTO 3A) Viadotto IV01					
	RELAZIONE DI CALCOLO IMPALCATO CAP	COMMESSA RS3T	LOTTO 30	CODIFICA D09CL	DOCUMENTO IV0100002	REV. B

21 VERIFICA TRAVE IN C.A.P.

Ove non sia diversamente specificato, le grandezze contenute nella presente relazione sono espresse nelle seguenti unità di misura:

lunghezza	[cm]
forza	[N]
angolo	[rad]

I diametri delle barre di armatura lenta sono sempre espressi in [mm], i diametri dei trefoli di precompressione sono invece espressi in [inch] (= 25.4 [mm]).

21.1.1 Modello di calcolo

Il codice di calcolo TCAP riceve le combinazioni di carico della struttura dal programma di calcolo delle sollecitazioni ed esegue le verifiche nelle situazioni agli Stati Limite Ultimi e agli Stati Limite di Esercizio inserendo nelle combinazioni l'effetto della precompressione.

Per valutare l'effetto della precompressione nelle varie sezioni viene assunto un modello di calcolo appropriato che riproduce le condizioni iperstatiche della struttura reale.

La struttura è considerata lineare e rettilinea, soggetta a deformazione longitudinale assiale generata dalla precompressione e deformazione trasversale per inflessione nel piano verticale. Essa viene schematizzata come una struttura a telaio piano che discretizza i tratti a sezione (e quindi baricentro) costante con aste orizzontali e i tratti a geometria variabile con aste inclinate.

Le forze di precompressione sono rappresentate da forze longitudinali e da coppie di trasporto delle forze stesse alla quota del baricentro locale.

Per il calcolo dei momenti flettenti resistenti a rottura viene utilizzata la procedura FindLim ed. TCAP/1.0 05/10 - SIGMAcSOFT che tiene conto, oltre al contributo del calcestruzzo, del contributo delle armature lente (stesso stato deformativo del calcestruzzo) e del contributo delle armature di precompressione nello stato deformativo effettivo (pretensione).

21.1.2 Codice di calcolo

La verifica è stata condotta con il codice di calcolo automatico TCAP ed. 8.31 - 12/2012 sviluppato da SIGMAcSOFT - Padova.

Procedura di calcolo tensionale per flessione: PREFLErett vers. TCAP/3.0 09/11 - SIGMAcSOFT

Procedura di calcolo a rottura per flessione: FindLim ed. TCAP/1.0 05/10 - SIGMAcSOFT

Procedura di calcolo a rottura per taglio: VrdCalc ed. TCAP/1.0 06/10 - SIGMAcSOFT

Modello iperstatico: TRSP ed. TCAP/1.0 04/10 - SIGMAcSOFT

21.2 Dati di calcolo

21.2.1 Dati geometrici

21.2.1.1 Schemi statici

L'impalcato viene realizzato con travi prefabbricate in c.a.p. e getto eseguito in opera di traversi e soletta collaborante. Si distinguono due fasi successive di lavoro:

PRIMA FASE: Le travi semplicemente appoggiate agli estremi resistono al peso proprio ed a quello del getto eseguito in opera.

SECONDA FASE: Il sistema misto, travi prefabbricate e soletta gettata in opera, divenuto solidale dopo la maturazione del calcestruzzo, resiste al peso delle sovrastrutture e dei carichi accidentali.

21.2.1.1.1 Prima fase

Nella prima fase i prefabbricati sono soggetti alle seguenti condizioni di vincolo:

In opera al momento del getto di 2a fase:

Sbalzo sinistro = 50.00

Sbalzo destro = 50.00

In fase di sollevamento:

Sbalzo sinistro = 60.00

Sbalzo sinistro = 60.00

21.2.1.1.2 Seconda fase

In seconda fase la struttura è vincolata sugli appoggi definitivi:

appoggio	descrizione	X	luce campata
1	Spalla iniziale	0.00	
2	Spalla finale	2240.00	2240.00

21.2.2 Armature trave prefabbricata

21.2.2.1 Armature di precompressione pretesate

trefoli : 6/10" area = 139.000 [mm²]

acciaio : prec.fpk=1860

tensione di tesatura = 137000.00 [N/cm²]

$A_p = 63.940$ $N_p = 8759780.00$ [N] $Z_{g,p} = 21.33$ [cm]

quota Z	n. trefoli	n. guaine	L guaine
5.50	14		
10.50	14	4	241.00
15.50	14	4	241.00
20.50			
25.50			
31.50			
37.50			
43.50			
60.00			
80.00			
123.00			
129.00			
135.00	4		
N. trefoli=	46	L tot guaine=	1928.00

21.2.3 Armatura lenta

Armatura longitudinale :

pos.	armatura	Y	Z	x iniziale	x finale
T1L1	6Ø16	0.00	129.00	14.00	2226.00
T1L2	6Ø16	0.00	134.00	14.00	2226.00
T1L3	6Ø16	0.00	6.00	14.00	2226.00

Armatura trasversale :

pos.	armatura	X iniziale	X finale	
T1S1	4Ø14/20.00	-100.00	400.00	anima trave
T1S1	(simmetrica)	1840.00	2340.00	
T1S2	4Ø14/20.00	-50.00	2290.00	trave+colleg. con soletta

armatura longit. appoggio :

n. barre	Ø	lunghezza	quota Z
4	16	192	3

21.3 Dati dei materiali

21.3.1 Calcestruzzo travi prefabbricate

Calcestruzzo	C45/55
resistenza caratteristica $R_{ck28,cub}$	5500.00
resistenza al taglio dei trefoli $R_{ckj,cub}$	3850.00
coefficiente sicurezza verifiche a rottura	1.500
modulo elastico	3641611.39
peso specifico	0.0245
ritiro totale	-0.00030
% ritiro prima del taglio trefoli	25.5%
% ritiro taglio trefoli-getto soletta	25.5%
% ritiro da getto soletta a t=inf.	49%
coeff. di viscosità	2.300
% viscosità taglio trefoli-getto soletta	33%
% viscosità da getto soletta a t=inf.	67%

21.3.2 Calcestruzzo getto in opera

Calcestruzzo	C28/35
resistenza caratteristica $R_{ck28,cub}$	3500.00
coefficiente sicurezza verifiche a rottura	1.5
modulo elastico	3258810.78
peso specifico	0.0245
coeff. di omogeneizzazione con cls travi	0.895

21.3.3 Acciaio per armatura lenta

tipo acciaio	B450C
tensione di snervamento f_{yk}	45000.00
coefficiente sicurezza verifiche a rottura	1.15
modulo elastico	21000000.00
coeff. di omogeneizzazione a cls travi	6

21.3.4 Acciaio per armatura da precompressione

tipo acciaio	prec.fpk=1860
tensione di snervamento f_{yk}	167400.00
coefficiente sicurezza verifiche a rottura	1.15
modulo elastico	20600000.00
coeff. di omogeneizzazione a cls travi	6
% rilassam. prima del taglio trefoli	41.4%
% rilassam. taglio trefoli-getto soletta	25.9%
% rilassam. da getto soletta a t=inf.	32.7%

21.4 Sollecitazioni esterne

21.4.1 Combinazioni di 2a fase

SLU Accidentali n. 0

SLU Persistenti/Transitorie n. 1

SLU Sismiche SLV n. 0

SLE Rare n. 1

SLE Frequenti n. 1

SLE Quasi permanenti n. 1

SLE Frequent1 per verifica deformazioni secondo istruzione RFI IFS002A-2.2.3 n. 0

22 RISULTATI DELLE VERIFICHE

22.1 Verifiche in fase transitoria

22.1.1 Verifica in fase di sollevamento

Incremento dinamico = 0.15

Sbalzo sinistro = 60.00

Sbalzo sinistro = 60.00

<nessuna sezione richiesta>

22.1.1.1 Verifiche a rottura per flessione

22.2 Deformazioni dell'impalcato

modulo elastico = 3641611.39

22.2.1 Prima fase

h140 - 1200 :

	accorciamento [cm]	rotaz. testata sinistra [rad]	rotaz. testata destra [rad]	freccia in mezzzeria [cm]
al taglio trefoli	-0.6497	0.00477	-0.00477	2.7834
al getto soletta	-1.0023	0.00292	-0.00292	1.4416
dopo maturazione	-1.0054	0.00293	-0.00293	1.4437

22.2.2 Seconda fase

Spostamenti X in asse appoggi [cm] :

RELAZIONE DI CALCOLO IMPALCATO CAP

COMMESSA	LOTTO	CODIFICA	DOCUMENTO	REV.	FOGLIO
RS3T	30	D09CL	IV0100002	B	87 di 99

	dopo maturazione soletta	postesi e cambio vincoli	t=inf.
Spalla iniziale	0.0000	0.0000	0.0000
Spalla finale	0.0000	0.0000	-0.2207

Rotazioni in asse appoggi [rad] :

	dopo maturazione soletta	postesi e cambio vincoli	t=inf.
Spalla iniziale	0.00000	0.00000	0.00332
Spalla finale	0.00000	0.00000	-0.00332

Frecce in mezzeria [cm] :

campata	X	dopo maturazione soletta	postesi e cambio vincoli	t=inf. comb. rara max	t=inf. comb. rara min
1	1120.00	1.4437	1.4437	2.2624	1.1064

22.3 Verifica sezione X=0.00 - Sezione all'appoggio

22.3.1 Prima fase: sola trave

Sezione di calcolo :

n.	Y	Z
1	-100.00	125.80
2	-100.00	140.00
3	-45.00	140.00
4	-45.00	135.00
5	-43.60	118.70
6	-32.60	45.90
7	-25.50	35.50
8	0.00	34.00
9	25.50	35.50
10	32.60	45.90
11	43.60	118.70
12	45.00	135.00
13	45.00	140.00
14	100.00	140.00
15	100.00	125.80
16	67.60	117.00
17	50.00	0.00
18	-50.00	0.00
19	-67.60	117.00
20	-100.00	125.80

$$A = 9990.050$$

$$J_f = 20854204.0924$$

$$Z_g = 66.52$$

<nessuna armatura di precompressione attiva>

Armature lente longitudinali :

RELAZIONE DI CALCOLO IMPALCATO CAP

COMMESSA	LOTTO	CODIFICA	DOCUMENTO	REV.	FOGLIO
RS3T	30	D09CL	IV0100002	B	88 di 99

n.	Z	area	
1	3.00	8.042	4Ø16 armatura longit. appoggio

Sezione ideale (n=15.000)	A _{id}	J _{r, id}	Z _{g, id}
	10110.690	2.133511E7	65.76

22.3.1.1 Verifica tensionale

Sollecitazioni	M _{esterno}
prima del getto	0.00
dopo getto 2a fase	0.00

Tensioni sul calcestruzzo	σ _{e, max}		σ _{i, max}	
prima del getto	0.00		0.00	
dopo getto 2a fase	0.00		0.00	

Tensioni sugli acciai	σ _{sp}		σ _{long, inf}	
prima del getto	129475.32		0.00	
dopo getto 2a fase	129475.32		0.00	

22.3.1.2 Verifica a rottura per flessione

<sollecitazioni flettenti nulle>

22.3.1.3 Verifica a rottura per taglio

Calcestruzzo:	θ [rad]	b _w	Staffe:	A _{sw}
	0.785	56.00		0.61575

d	K	A _{sl}	ρ _i	σ _{cp}	α _c
137.00	1.382	8.042	0.0010	0.00	1.000

V _{Rd}	V _{Rsd}	V _{Rcd}
294779.30	2970870.00	4465392.00

$$V_{Ed, max} = 902298.35 < 2970870.31$$

22.3.2 Seconda fase: trave + getto in opera

Tensioni sul calcestruzzo dopo 28gg dal getto :

	σ _{e, max}		σ _{i, max}	
trave prefabbricata	0.00		0.00	
getto in opera	0.00		0.00	

22.3.2.1 Verifiche in esercizio

Sezione di calcolo :

n.	Y	Z	
1	-100.00	125.80	
2	-100.00	140.00	

n.	Y	Z	
3	-45.00	140.00	
4	-45.00	135.00	
5	-43.60	118.70	
6	-32.60	45.90	
7	-25.50	35.50	
8	0.00	34.00	
9	25.50	35.50	
10	32.60	45.90	
11	43.60	118.70	
12	45.00	135.00	
13	45.00	140.00	
14	100.00	140.00	
15	100.00	125.80	
16	67.60	117.00	
17	50.00	0.00	
18	-50.00	0.00	
19	-67.60	117.00	fine prefabb.
20	-100.00	125.80	
21	-332.50	177.00	getto in opera
22	100.00	177.00	(m=1.000)
23	100.00	140.00	
24	-332.50	140.00	
25	-332.50	177.00	

$$A = 25992.550$$

$$J_f = 74716894.2759$$

$$Z_g = 123.15$$

<nessuna armatura di precompressione attiva>

Armature lente longitudinali :

n.	Z	area	
1	3.00	8.042	4Ø16 armatura longit. appoggio

Sezione ideale (n=15.000)	A _{id}	J _{f, id}	Z _{g, id}
	26113.190	7.645029E7	122.59

22.3.2.1.1 Verifica tensionale

Cadute di tensione da maturazione soletta a t=inf. :

	%	$\Delta\sigma_{sp}$	$\Delta\sigma_{sp}/\sigma_{spi}$
ritiro cls	48.9%	3019.69	2.2%
rilassamento acciaio	23.4%	2118.74	1.5%
viscosità cls	100.0%	9948.47	7.3%

Tensioni sul cls - h140 - l200 :

	$\sigma_{e, max}$	$\sigma_{e, min}$	$\sigma_{i, max}$	$\sigma_{i, min}$
t=inf.-senza carichi	0.00	0.00	0.00	0.00

	$\sigma_{e,max}$	$\sigma_{e,min}$	$\sigma_{i,max}$	$\sigma_{i,min}$
t=inf.-SLE Rare	0.00	0.00	0.00	0.00
t=inf.-SLE Frequenti	0.00	0.00	0.00	0.00
t=inf.-SLE Quasi Permanenti	0.00	0.00	0.00	0.00

Tensioni sul cls - getto in opera :

	$\sigma_{e,max}$	$\sigma_{e,min}$	$\sigma_{i,max}$	$\sigma_{i,min}$
t=inf.-senza carichi	0.00	0.00	0.00	0.00
t=inf.-SLE Rare	0.00	0.00	0.00	0.00
t=inf.-SLE Frequenti	0.00	0.00	0.00	0.00
t=inf.-SLE Quasi Permanenti	0.00	0.00	0.00	0.00

Tensioni sugli acciai :

	σ_{sp}	$\sigma_{long,inf}$
t=inf.-senza carichi	0.00	0.00
t=inf.-SLE Rare	0.00	0.00
t=inf.-SLE Frequenti	0.00	0.00
t=inf.-SLE Quasi Permanenti	0.00	0.00

22.3.2.1.2 Momenti di rottura per flessione retta

<sollecitazioni flettenti nulle>

22.3.2.1.3 Verifica rottura per taglio

Calcestruzzo:	θ [rad]	b_w	Staffe:	A_{sw}
	0.785	56.00		0.61575

d	K	A_{sl}	ρ_l	σ_{cp}	α_c
174.00	1.339	8.042	0.0008	0.00	1.000

V_{Rd}	V_{Rsd}	V_{Rcd}
357036.00	3773222.00	5671373.00

$$V_{Ed,max} = 2051245.11 < 3773222.15$$

$$\text{Trazione per taglio } (V=2051245.11) = 1025622.56 \text{ [N]}$$

22.3.2.1.4 Verifica rottura per torsione

<sollecitazioni torcenti nulle>

22.3.2.1.5 Verifica a taglio/torsione

$$T_{Ed}/T_{Rd} + V_{Ed}/V_{Rd} = 0.00/0.00 + 2051245.11/3773222.15 = 0.544$$

22.3.2.1.6 Forze di scorrimento tra i getti

max valore di progetto scorrimento interfaccia	7336.82	[N/cm]
min valore di progetto scorrimento interfaccia	0.00	[N/cm]
scorrimento ultimo per coesione ed attrito	±569.62	[N/cm]
staffe di collegamento	0.3079	[cm ² /cm]
scorrimento ultimo per coesione, attrito, staffe	±7798.02	[N/cm]

22.4 Verifica sezione X=1140.00 - Sezione di mezzeria

22.4.1 Prima fase: sola trave

Sezione di calcolo :

n.	Y	Z
1	-100.00	125.80
2	-100.00	140.00
3	-55.00	140.00
4	-55.00	135.00
5	-53.50	117.00
6	-41.20	35.40
7	-34.00	25.00
8	0.00	23.00
9	34.00	25.00
10	41.20	35.40
11	53.50	117.00
12	55.00	135.00
13	55.00	140.00
14	100.00	140.00
15	100.00	125.80
16	67.60	117.00
17	50.00	0.00
18	-50.00	0.00
19	-67.60	117.00
20	-100.00	125.80

$$A = 6993.480$$

$$J_f = 16801517.8558$$

$$Z_g = 64.67$$

Armature di precompressione :

n.	Z	area
1	5.50	19.460
2	10.50	19.460
3	15.50	19.460
4	135.00	5.560

$$A_p = 63.940$$

$$Z_{g,p} = 21.33$$

Armature lente longitudinali :

n.	Z	area	
1	129.00	12.064	6Ø16
2	134.00	12.064	6Ø16
3	6.00	12.064	6Ø16

Sezione ideale (n=6.000)	A_{id}	$J_{f,id}$	$Z_{g,id}$
	7594.267	1.88804E7	63.20

22.4.1.1 Verifica tensionale

Cadute di tensione prima del taglio trefoli :

	%	$\Delta\sigma_{sp}$	$\Delta\sigma_{sp}/\sigma_{spi}$
ritiro cls	25.5%	1575.90	1.2%
rilassamento acciaio	29.8%	2690.00	2.0%

Sollecitazioni	$M_{esterno}$	$N_{precomp.}$	$M_{precomp.}$
t=0 dopo taglio trefoli	110525514.65	-8487018.16	-367896388.85
prima del getto	110525514.65	-7795118.02	-337903809.76
dopo getto 2a fase	371134471.80	-7792650.22	-337796835.31

Tensioni sul calcestruzzo	$\sigma_{e,max}$	$\sigma_{i,max}$
t=0 dopo taglio trefoli	-121.56	-1937.15
prima del getto	-148.30	-1749.07
dopo getto 2a fase	-1208.40	-876.72

Tensioni sugli acciai	σ_{sp}	$\sigma_{long,inf}$	$\sigma_{long,sup}$
t=0 dopo taglio trefoli	122770.58	-11156.06	-1196.23
prima del getto	112881.67	-10082.78	-1301.45
dopo getto 2a fase	116349.54	-5345.62	-7165.10

Cadute di tensione dal taglio trefoli al getto soletta :

	%	$\Delta\sigma_{sp}$	$\Delta\sigma_{sp}/\sigma_{spi}$
ritiro cls	25.5%	1575.90	1.2%
rilassamento acciaio	18.6%	1682.88	1.2%
viscosità cls	43.1%	7562.31	5.5%

Cadute di tensione durante maturazione soletta :

	%	$\Delta\sigma_{sp}$	$\Delta\sigma_{sp}/\sigma_{spi}$
ritiro cls	0.1%	8.51	0.0%
rilassamento acciaio	0.1%	5.97	0.0%
viscosità cls	0.1%	24.11	0.0%

22.4.1.2 Verifica a rottura per flessione

$\Delta\varepsilon$ armature pretese: $\varepsilon_{sp,z=21.33}=0.00592$

fless.	Z asse neutro	Mr	ε_{sup}	$Z_{\varepsilon_{sup}}$	ε_{inf}	$Z_{\varepsilon_{inf}}$
(+)	50.65	9.283995E8	-0.00350	140.00	0.00177	5.50
(-)	30.42	-2.120537E8	0.01000	135.00	-0.00291	0.00

$$M_{d,max} = 501031536.92 < 928399491.59$$

22.4.1.3 Verifica a rottura per taglio

Calcestruzzo:	θ [rad]	b_w	Staffe:	A_{sw}
	0.381	28.40		0.30788

d	K	A_{sl}	ρ_l	σ_{cp}	α_c
135.00	1.385	70.444	0.0184	-1114.63	1.250

V_{Rd}	V_{Rsd}	V_{Rcd}
919930.40	3659368.00	1923737.00

$$V_{Ed,max} = 15522.29 < 1923736.81$$

22.4.2 Seconda fase: trave + getto in opera

Tensioni sul calcestruzzo dopo 28gg dal getto :

	$\sigma_{e,max}$	$\sigma_{i,max}$
trave prefabbricata	-1208.49	-876.05
getto in opera	0.00	0.00

22.4.2.1 Verifiche in esercizio

Sezione di calcolo :

n.	Y	Z	
1	-100.00	125.80	
2	-100.00	140.00	
3	-55.00	140.00	
4	-55.00	135.00	
5	-53.50	117.00	
6	-41.20	35.40	
7	-34.00	25.00	
8	0.00	23.00	
9	34.00	25.00	
10	41.20	35.40	
11	53.50	117.00	
12	55.00	135.00	
13	55.00	140.00	
14	100.00	140.00	
15	100.00	125.80	
16	67.60	117.00	
17	50.00	0.00	
18	-50.00	0.00	
19	-67.60	117.00	fine prefabb.

RELAZIONE DI CALCOLO IMPALCATO CAP

COMMESSA	LOTTO	CODIFICA	DOCUMENTO	REV.	FOGLIO
RS3T	30	D09CL	IV0100002	B	94 di 99

n.	Y	Z	
20	-100.00	125.80	
21	-332.50	177.00	getto in opera
22	100.00	177.00	(m=0.895)
23	100.00	140.00	
24	-332.50	140.00	
25	-332.50	177.00	

$$A = 21313.822$$

$$J_f = 59799918.9077$$

$$Z_g = 127.71$$

Armature di precompressione :

n.	Z	area
1	5.50	19.460
2	10.50	19.460
3	15.50	19.460
4	135.00	5.560

$$A_p = 63.940$$

$$Z_{g,p} = 21.33$$

Armature lente longitudinali :

n.	Z	area	
1	129.00	12.064	6Ø16
2	134.00	12.064	6Ø16
3	6.00	12.064	6Ø16

Sezione ideale (n=6.000)	A_{id}	$J_{f,id}$	$Z_{g,id}$
	21914.610	6.558543E7	125.47

22.4.2.1.1 Verifica tensionale

Cadute di tensione da maturazione soletta a t=inf. :

	%	$\Delta\sigma_{sp}$	$\Delta\sigma_{sp}/\sigma_{spi}$
ritiro cls	48.9%	3019.69	2.2%
rilassamento acciaio	23.4%	2118.74	1.5%
viscosità cls	56.7%	9948.47	7.3%

Tensioni sul cls - h140 - 1200 :

	$\sigma_{e,max}$	$\sigma_{e,min}$	$\sigma_{i,max}$	$\sigma_{i,min}$
t=inf.-senza carichi	-1181.38	-1181.38	-643.39	-643.39
t=inf.-SLE Rare	-1181.38	-1288.60	240.17	-643.39
t=inf.-SLE Frequenti	-1181.38	-1259.65	-9.90	-643.39
t=inf.-SLE Quasi Permanenti	-1181.38	-1208.19	-454.41	-643.39

Tensioni sul cls - getto in opera :

	$\sigma_{e,max}$	$\sigma_{e,min}$	$\sigma_{i,max}$	$\sigma_{i,min}$
t=inf.-senza carichi	-24.35	-24.35	0.00	0.00
t=inf.-SLE Rare	-24.35	-354.62	0.00	-71.68
t=inf.-SLE Frequenti	-24.35	-262.73	0.00	-45.78
t=inf.-SLE Quasi Permanenti	-24.35	-99.38	0.00	0.00

Tensioni sugli acciai :

	σ_{sp}	$\sigma_{long,inf}$	$\sigma_{long,sup}$
t=inf.-senza carichi	0.00	0.00	0.00
t=inf.-SLE Rare	121918.19	6389.70	215.54
t=inf.-SLE Frequenti	120672.80	4961.05	215.54
t=inf.-SLE Quasi Permanenti	118459.01	2421.49	215.54

22.4.2.1.2 Momenti di rottura per flessione retta

presollecitazione nelle armature di precompressione :

	Z cavo risult.	$\Delta \epsilon_{sp}$
Armature pretese	21.33	0.00570

fless.	Z asse neutro	Mr	ϵ_{sup}	Z _g sup	ϵ_{inf}	Z _g inf
(+)	152.55	1.467614E9	-0.00166	177.00	0.01000	5.50
(-)	29.68	-2.136693E8	0.01000	135.00	-0.00282	0.00

$$M_{d,max} = 1135038252.90 < 1467614288.39$$

22.4.2.1.3 Verifica rottura per taglio

Calcestruzzo:	θ [rad]	b_w	Staffe:	A _{sw}
	0.381	28.40		0.30788

d	K	A _{sl}	ρ_l	σ_{cp}	α_c
171.50	1.341	100.131	0.0200	-320.36	1.124

V _{Rd}	V _{Rsd}	V _{Rcd}
587103.60	4648761.00	2197203.00

$$V_{Ed,max} = 380615.68 < 2197202.99$$

$$\text{Trazione per taglio (V=380615.68)} = 475769.60 \text{ [N]}$$

22.4.2.1.4 Verifica rottura per torsione

<sollecitazioni torcenti nulle>

22.4.2.1.5 Verifica a taglio/torsione

$$T_{Ed}/T_{Rd} + V_{Ed}/V_{Rd} = 0.00/0.00 + -380615.68/2197202.99 = 0.173$$

22.4.2.1.6 Forze di scorrimento tra i getti

max valore di progetto scorrimento interfaccia	0.00	[N/cm]
min valore di progetto scorrimento interfaccia	-2365.36	[N/cm]
scorrimento ultimo per coesione ed attrito	±337.78	[N/cm]
staffe di collegamento	0.3079	[cm ² /cm]
scorrimento ultimo per coesione, attrito, staffe	±7566.18	[N/cm]

22.4.3 Diagrammi

22.4.3.1 SLU

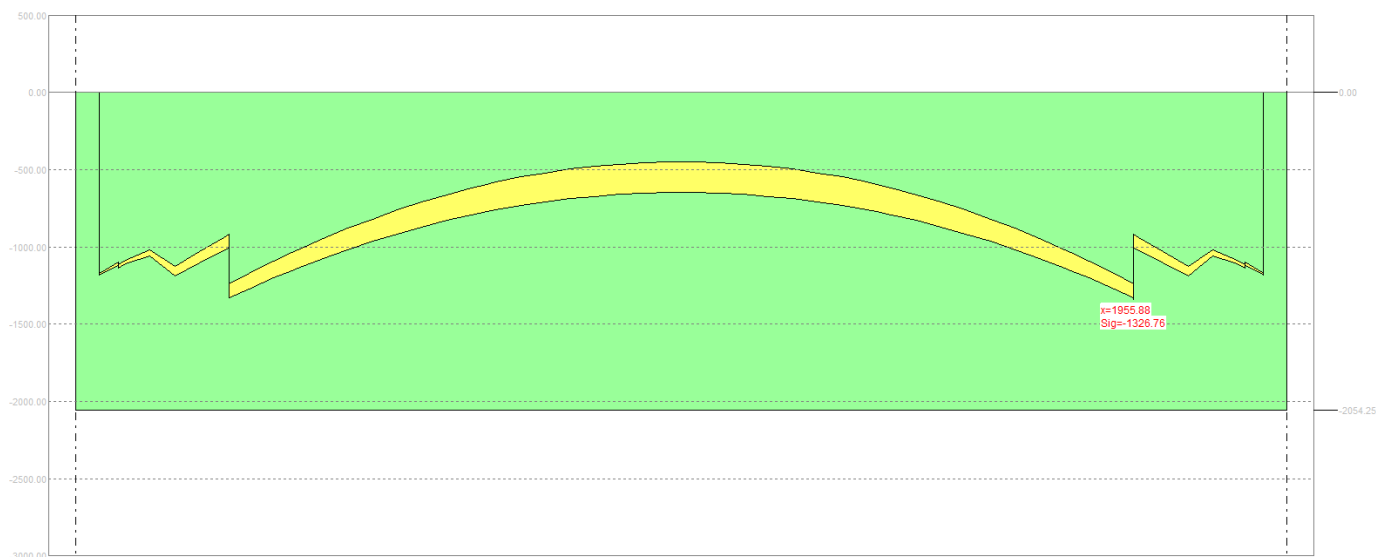


Figura 15 - Momento flettente a t inf.

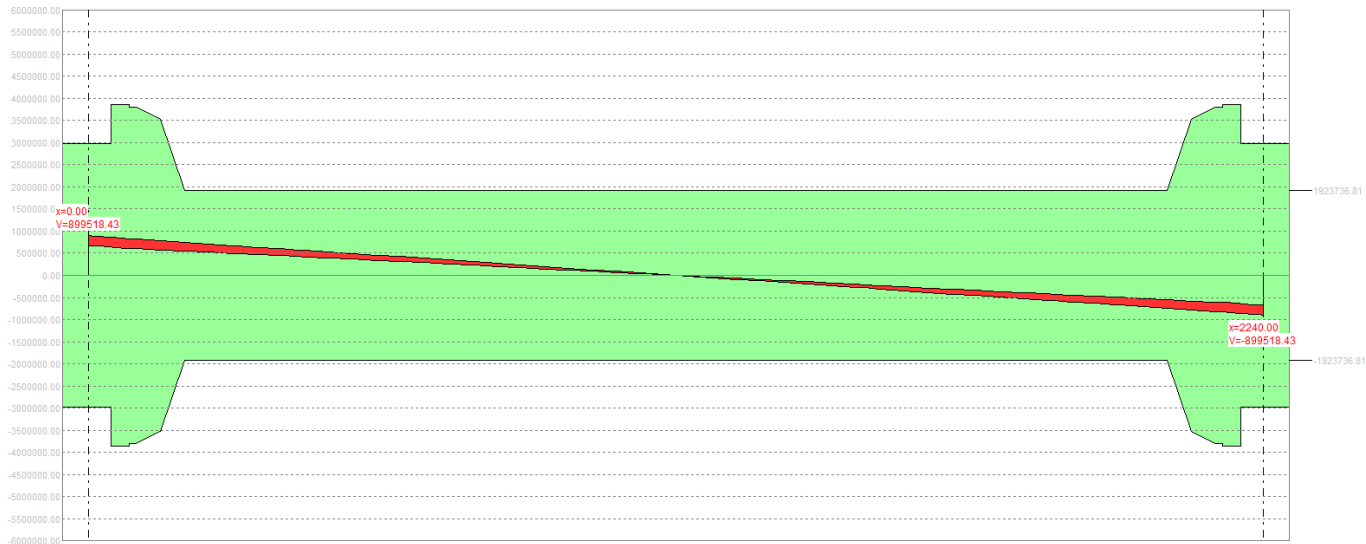


Figura 16 - Taglio a t inf.

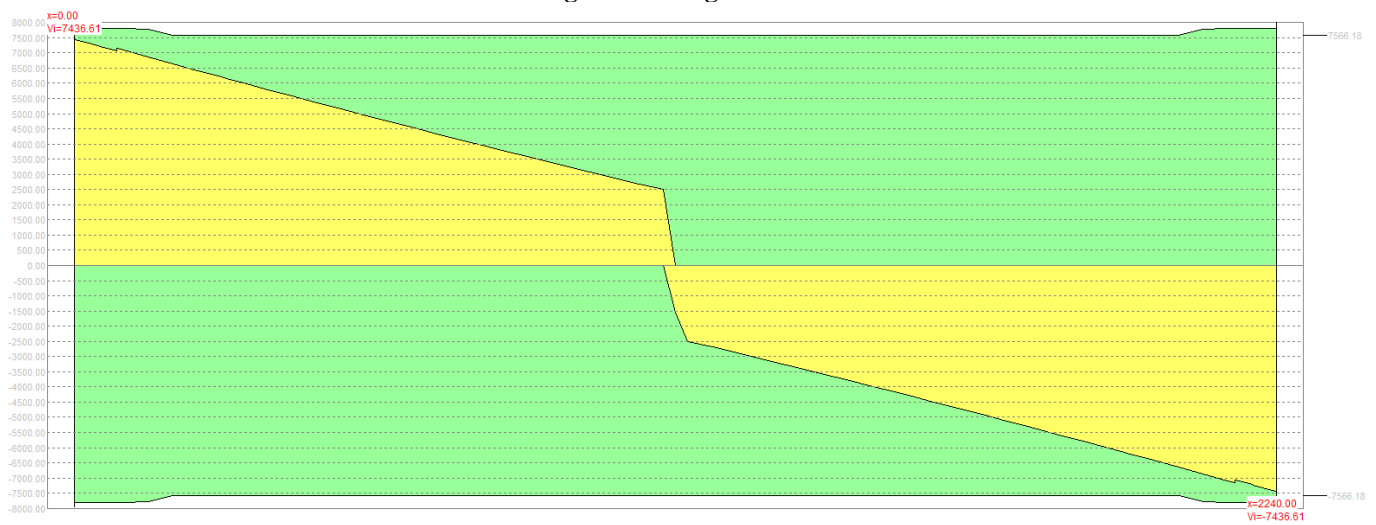


Figura 17 - Scorrimento interfaccia trave-soletta

22.4.3.2 SLE

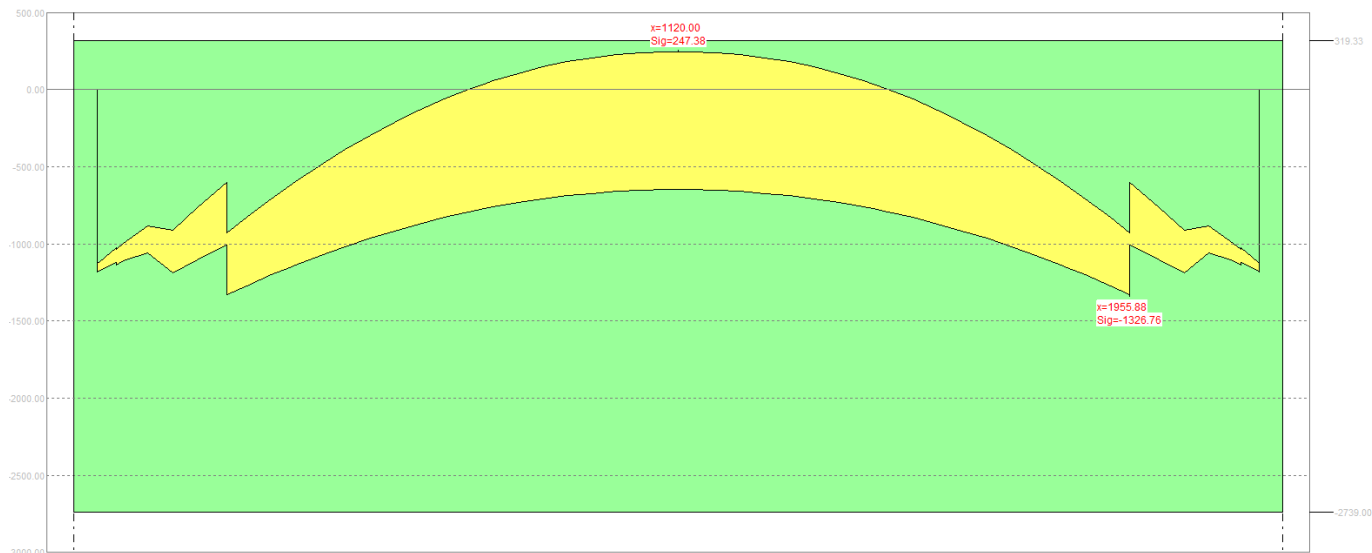


Figura 18 – Tensione calcestruzzo - RARA - t inf.

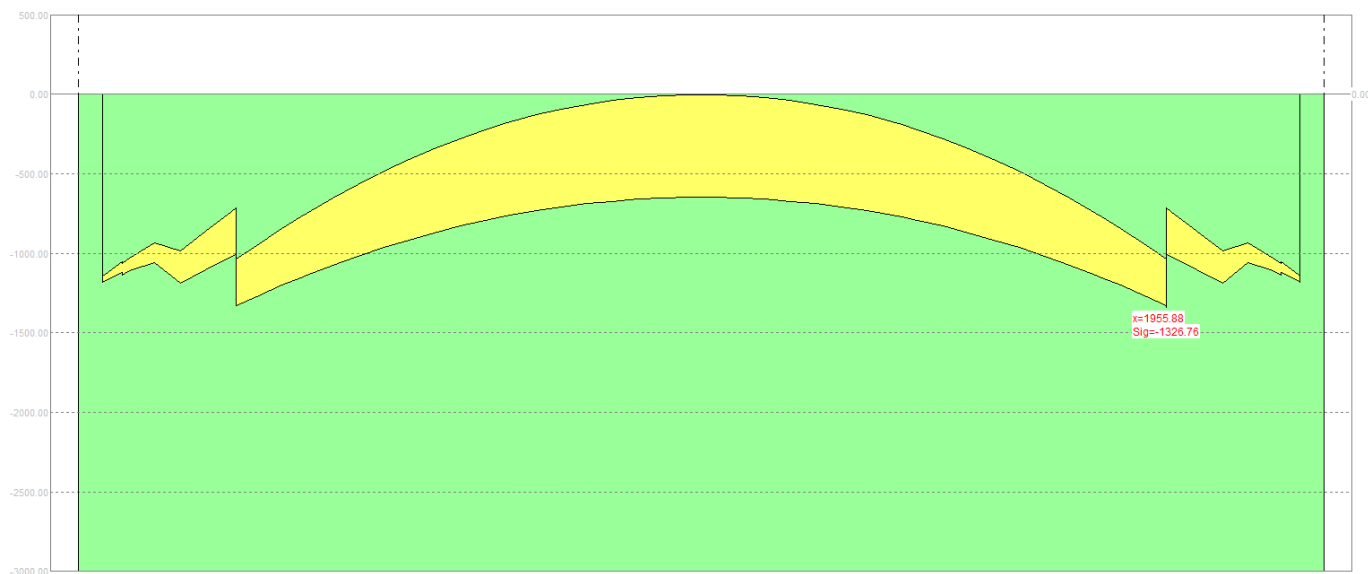


Figura 19 - Momento flettente - FREQUENTE - t inf.

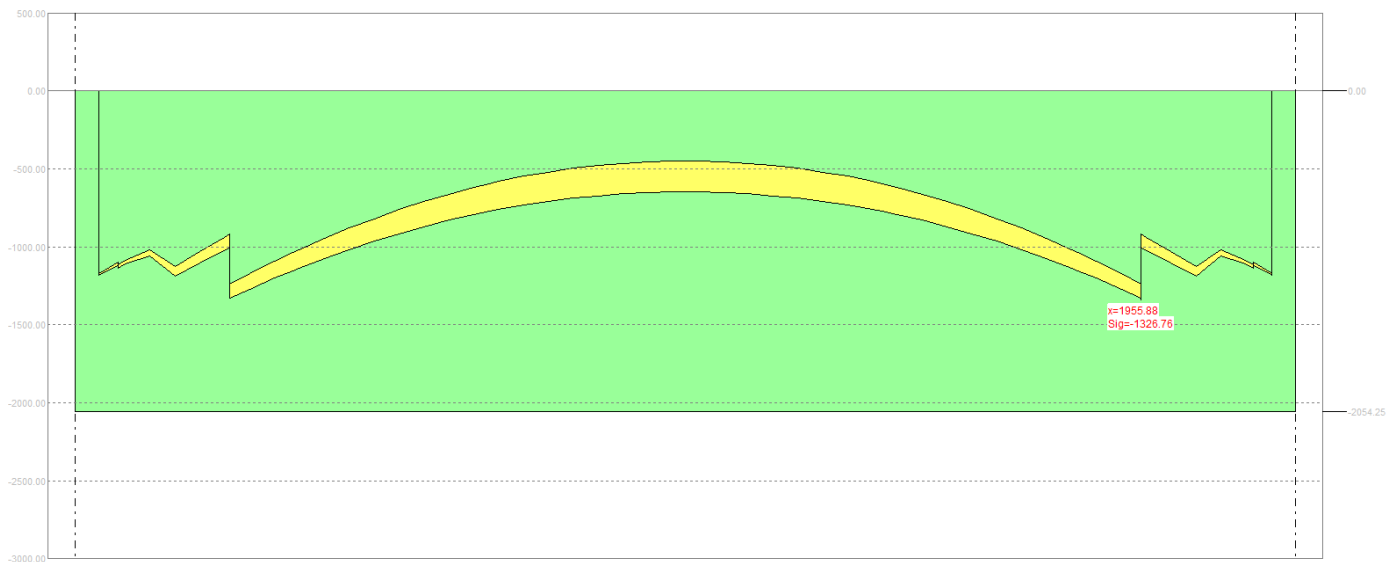


Figura 20 – Momento flettente – QUASI PERMANENTE - t inf.